

Preț 45.000 lei

# ConexClub

ANUL IV / Nr. 47-48

07-08 / 2003

ELECTRONICĂ PRACTICĂ PENTRU TOȚI



PROTECȚIE PENTRU  
INCINTELE ACUSTICE



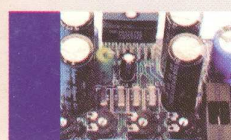
NUMĂRĂTOR CU  
PIC16F84



SWITCH VIDEO  
2...32 CANALE



ÎNCĂRCĂTOR  
ACUMULATOARE



APLICAȚII CU TDA 7375



MĂSURAREA PRACTICĂ  
A IMPEDANȚELOR



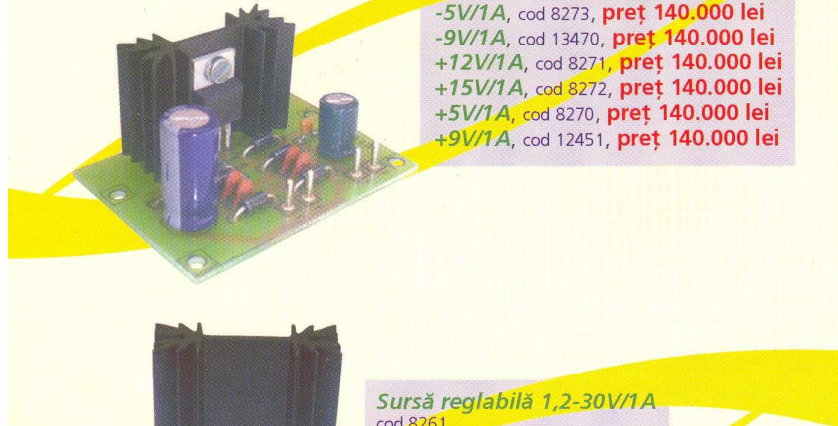
**TERMOMETRU**  
**-50...+150°C**

CU AFISOR LCD ȘI INTERFAȚĂ RS232

# KIT-uri a sambilate

## Sursă de tensiune fixă

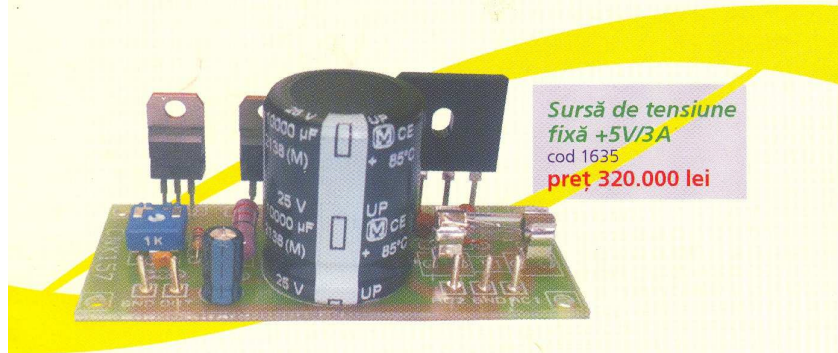
- 12V/1A, cod 8274, preț 140.000 lei
- 15V/1A, cod 8275, preț 140.000 lei
- 5V/1A, cod 8273, preț 140.000 lei
- 9V/1A, cod 13470, preț 140.000 lei
- +12V/1A, cod 8271, preț 140.000 lei
- +15V/1A, cod 8272, preț 140.000 lei
- +5V/1A, cod 8270, preț 140.000 lei
- +9V/1A, cod 12451, preț 140.000 lei



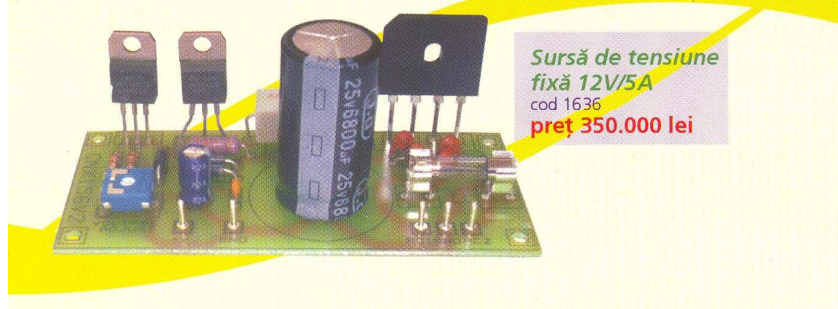
**Sursă reglabilă 1,2-30V/1A**  
cod 8261  
preț 150.000 lei



**Sursă de tensiune fixă +5V/3A**  
cod 1635  
preț 320.000 lei



**Sursă de tensiune fixă 12V/5A**  
cod 1636  
preț 350.000 lei



**Sursă reglabilă 0-30V/3A**  
cod 16931  
preț 740.000 lei



**Sursă în comutare (ridicătoare)**  
**5V/12V, 0,25A**  
cod 13325  
preț 220.000 lei

**Sursă în comutare (ridicătoare)**  
**12V/24V, 0,5A**  
cod 13324  
preț 220.000 lei

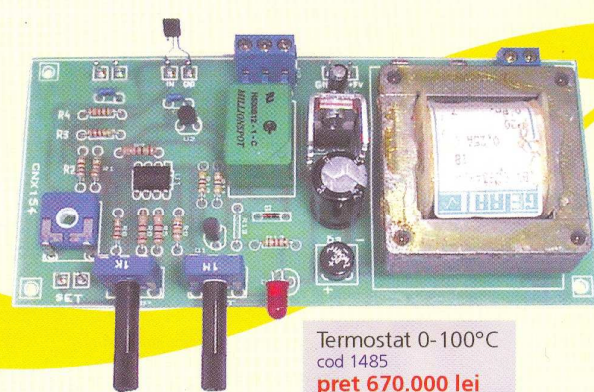


**Sursă în comutare (cu inversarea polarității)**  
**+5V/-12V, 0,15A**  
cod 13330  
preț 220.000 lei



**Sursă în comutare (cotorătoare)**  
**12V/5V, 1A**  
cod 13329  
preț 220.000 lei

**Sursă în comutare (cotorătoare)**  
**24V/12V, 1A**  
cod 13326  
preț 220.000 lei



**Termostat 0-100°C**  
cod 1485  
preț 670.000 lei

# ConexClub

## Protecție pentru incintele acustice

Într-un sistem audio incintele acustice sunt echipamente cu preț de cost mare, iar protecția lor se impune.

4



## Servici GSM (X)

Sunt prezentate defecțiuni de interfață cu utilizatorul (microfon, cască, display, încărcare) la modelul T18.

6



## MEDER electronic - Carte de vizită

MEDER electronic este liderul de piață al componentelor bazate pe efectul Reed.

10



## Măsurarea practică a impedanțelor (I)

Metode uzuale în practică de măsurare a impedanțelor electrice.

12



## Minitemițător FM

Microfoanele fără fir tranzistorizat în banda FM.

17



## Interfață grafică (III)

Rubrica soft prezintă o aplicație cu ajutorul căreia se pot determina specificațiile de execuție a transformatoarelor monofazate de rețea, cu ajutorul PC-ului.

18



## Regulatoare integrate

Considerații teoretice și o aplicație practică despre și cu regulatoare de tensiune fixă.

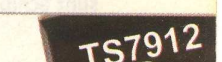
23



## Stabilizatoare de tensiune negativă

Probleme de stabilizare ale regulatoarelor de tensiune negativă la curenți mici de sarcină.

28



## Switch video 2...32 canale

Aplicație ce urmărește comutarea electronică a unor camere video într-un sistem de supraveghere.

33



## Generator de funcții - ICL8038 (I)

Considerații teoretice și aspecte practice ale circuitului integrat specializat ICL8038.

37



## Termometru -50...+150°C

Termometru electronic cu afișaj LCD și display LCD alfanumeric.

41



## Încărcător acumulatoare

Informații și o aplicație a circuitului specializat MC33340.

49



## LM1896/LM2896 - Aplicații

Foile de catalog a circuitelor integrate audio LM1896 (2896).

54



## TDA7375 - Aplicații

Două aplicații: amplificator cu 4 canale, stereo și în punte

57



## HAM RADIO - 2003

Reportaj din Germania, de la târgul anual de la Friedrichshafen, consacrat radioamatorismului.

60



## Sursă dublă de tensiune

Prezentarea unei surse de 0...30V&5V/3A, de la Velleman.

62

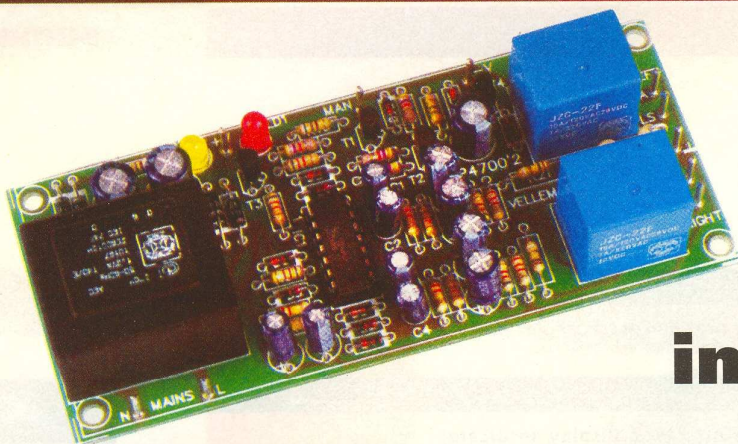


## Numărător cu PIC16F84

Numărător de impulsuri, deosebit de ușor, cu microcontroler de la Microchip.

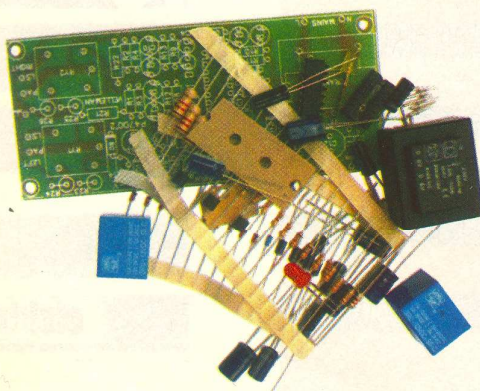
64





**velleman®**  
**K4700**

Într-un sistem audio incintele acustice sunt echipamente cu preț relativ mare. Protejarea acestora se impune, montajele electronice pentru realizarea acestei funcții fiind simple.



## Protectie pentru incintele acustice

**A**plicația propusă este un modul de protecție pentru incintele acustice contra impulsurilor de tensiune ce apar la conectarea alimentării amplificatoarelor sau a componentei ce poate apărea la ieșirea unui amplificator defect.

### Descriere

Impulsurile care apar la comutarea tensiunii de alimentare pot defecta difuzoarele incintelor. Protecția la impulsuri tranzistorii de comutare se face oferind amplificatorului un timp scurt de a ajunge în regim stabil de funcționare, înainte de conectarea fizică a sarcinii (difuzoarele), prin intermediul unui releu.

Componenta continuă la ieșirea unui amplificator se poate suprapune peste semnalul util (muzical) și devine periculoasă pentru bobinajul difuzoarelor, defectându-l prin efect Joule (termic). Rebobinarea unui

difuzor de putere mare implică costuri ridicate. Componenta continuă apare, de exemplu, la strângerea condensatorului electrolitic de mare capacitate de la ieșirea amplificatoarelor cu tranzistoare sau la amplificatoarele în punte defectuoase reglate (etajele nu "lucrează simetric"). Detectarea acestui defect impune din partea modulului de protecție debranșarea sarcinii și semnalizarea unei stări de avarie (eroare).

Cele două funcții prezentate mai sus, respectiv anclansarea temporizată a sarcinii și deconectarea acesteia la apariția unei componente de curent continuu, sunt realizate de montajul în kit realizat de Velleman, pe care îl prezentăm. Funcțiile sunt semnalizate optic, respectiv LED-urile "WAIT" și "ERROR". De asemenea, este prevăzută o a treia funcție, respectiv comutare manuală a sarcinii, de la un întrerupător montat pe panoul frontal al casetei.

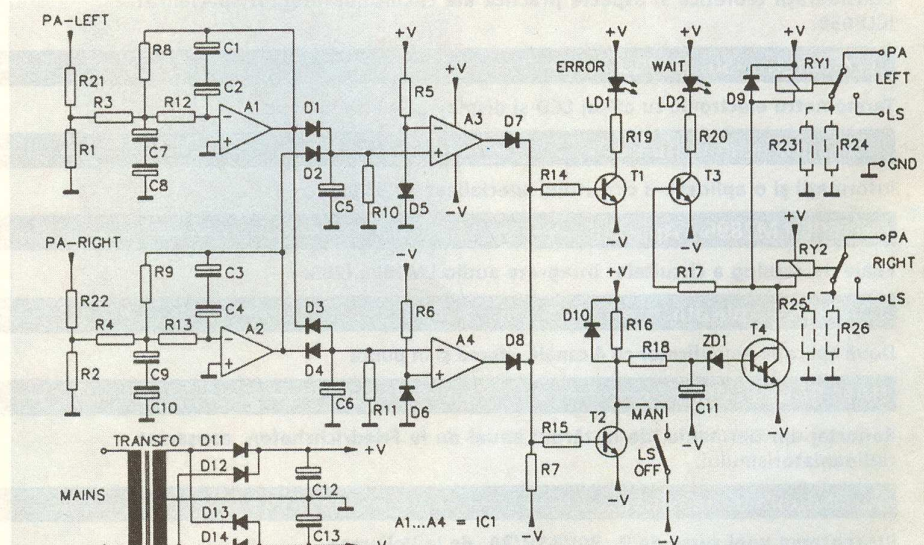
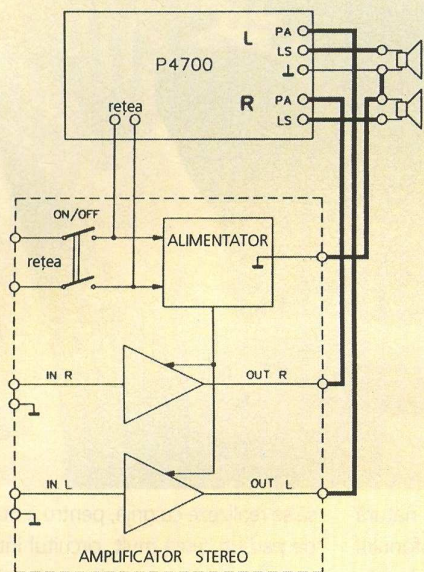


Fig. 1

Schema electrică a modului de protecție pentru incintele acustice



**Fig. 2**

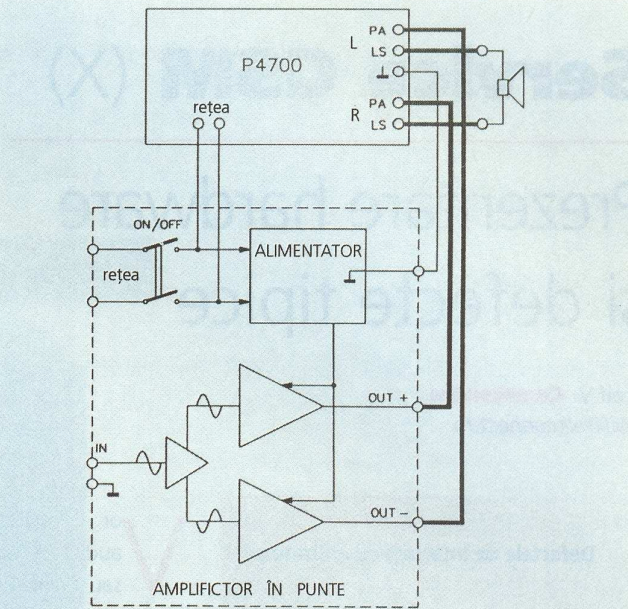
**amplificatorul este în variantă stereo (două canale)**

## Caracteristici tehnice

- Temporizare la anclansare:  $\pm 6s$ , semnalizare optică – LED "WAIT";
  - Protecție la componentă continuă la ieșire:  $\pm 1V$ , semnalizare optică – LED "ERROR";
  - Tensiune maximă de intrare: 200Vvv + DC;
  - Current maxim comutat: 10A.

Recomandat pentru: amplificatoare cu alimentare simetrică sau asimetrică (în acest ultim caz temporizarea se poate mări din cauza condensatorului electrolitic de la ieșirea amplificatorului).

Din punct de vedere al topologiei schemei electrice, montajul are o construcție simetrică, cu 2 canale, fiecare cu ieșire pe câte un releu



**Fig. 3**

când amplificatorul este în varianta puncte

(este realizat în variantă stereo).

Temporizarea și detecția de componentă continuă se realizează cu etaje de amplificatoare operationale.

Operarea manuală se face cu butonul optional LS OFF.

Alimentarea cu tensiune se face direct de la rețea prin intermediul transformatorului care prezintă mediană la ieșire.

În ceea ce privește modul de conectare al montajului (placa P4700) în lanțul audio, în figurile 2 și 3 sunt prezentate sugestiile pentru amplificator stereo și respectiv, amplificator cu ieșire în punte. Acest mod trebuie întocmai respectat.

Valorile componentelor din schema sunt:  
 $D1 \dots D10 = 1N4148$ ,  $ZD1 = DZ6V8$ :

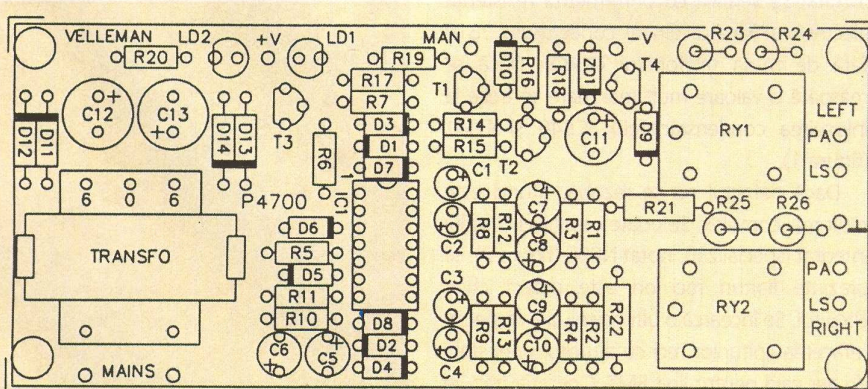
D11...D14 = seria 1N4000; R1...R2 = 3k3;  
 R3...R7 = 8k2; R8...R11 = 330k; R14...R17 =  
 47k; R18 = 47Ω; R19...R20 = 680Ω;  
 R21...R22 = 100k/0,5W; T1...T3 = BC547; T4  
 = BC517; C1...C6 = 1μ; C7...C10 = 100μ;  
 C11 = 220μ; C12...C13 = 470μ; IC1 =  
 LM324.

Dacă amplificatorul este de tip alimentare asimetrică, atunci se montează și  $R_{23} \dots R_{26} = 1k2/1W$  în poziție verticală. Atenție! Acestea nu se vor monta la un amplificator cu alimentare simetrică.

Modul de amplasare al componentelor pe cablajul imprimat este prezentat în figura 4.

Kit-ul este oferit în variantă neasamblată.

Realizat îngrijit montajul va functiona bine.



**Fig. 4**

Amplasarea

#### **componentelor pe cablaj**

# Service GSM (X)

## Prezentare hardware și defecte tipice

Croif V. **Constantin**  
croif@elkconnect.ro

**Defectele de interfață cu utilizatorul sunt cel mai des întâlnite. În numărul anterior s-au prezentat acest tip de defecte la modelul de telefon Ericsson A1018.**

**Se continuă cu analiza defectelor la un alt model din generația mai veche, respectiv T18 sau T10, care sunt similare funcțional (telefoanele din generația nouă mai au până "își stabilesc" defectele tipice).**

Vor fi analizate defectele de natură audio (defectarea căștii, microfonului sau hands-free nefuncțional), ale display-ului sau de încărcare.

Prezentarea debutează cu analiza defectelor generate de blocul audio.

### Recepția semnalului audio lipsește

Din punct de vedere mecanic, casca telefonului Ericsson T18 este montată pe fața frontală a cablajului, legătura cu placă de bază realizându-se la conectorul J810 (figura 1).

Pentru început, se realizează o inspecție vizuală asupra întregii plăci de bază a telefonului, și în special a părții audio, indicate în figura 1, dacă există impurități sau urme de lichide pătrunse în interiorul telefonului. Se recomandă a se începe operația de depanare prin schimbarea feței frontale (carcasa) aparatului; aceasta include și casca. Dacă casca este bună (analizată cu un ohm-metru) se verifică dacă lipiturile conectorului sunt corecte. Rezistența măsurată între bornele conectorului J810 (ale căștii) trebuie să fie de cca.  $14k\Omega$ , iar dacă nu este corectă se verifică condensatorul C842 (figura 1).

Dacă acestă operație nu oferă nici un rezultat se verifică cu ohm-metru rezistența electrică a fiecărui pin al conectorului J810 față de masa telefonului ( $1M\Omega$ ). Dacă se măsoară o valoare mult mai mare se trece la înlocuirea condensatoarelor C840 și C841 (figura 1).

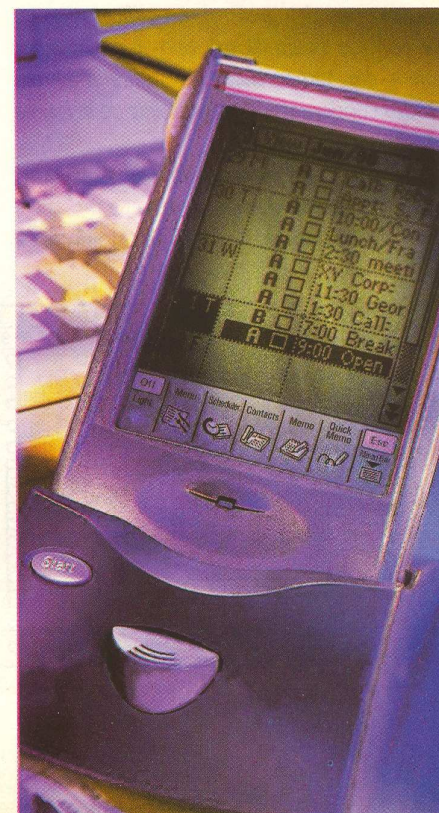
Dacă defectul nu se rezolvă, atunci este mult mai complex. Se poate ca pinii circuitului integrat (specializat), notat N800 (figura 2), să prezinte lipituri reci ori este defect chiar circuitul. Se încearcă o ultimă soluție, respectiv refacerea lipiturilor reci cu ajutorul unei stații de aer cald pentru lipit SMT. Operația trebuie



să se realizeze cu grijă, pentru a nu deplasa de pe paduri, prea mult, circuitul integrat sau a nu-l încălzi excesiv de mult. Operația de înlocuire a unei astfel de componente este destul de dificilă și nu se recomandă a fi realizată fără echipamente de lipire/dezlipire profesionale SMT. Se recomandă, în acest ultim caz, ca aparatul să fie analizat de un service autorizat de producător.

### Transmisia semnalului audio nu se efectuează

Conectorul microfonului se află montat pe placă de bază lângă conectorul de încărcare (figura 2). Majoritatea defectelor care scot microfonul din funcționare sunt de natură mecanică. Se verifică sistemul de conectare - X830 - dacă este oxidat sau prezintă lipituri



**ERICSSON**

reci cu placa de bază, la pad-uri. Un defect des întâlnit este al condensatoarelor C815 și C820. Ele se defectează sau se dezlipesc de pe paduri, deoarece sunt aproape de conectorul microfonului (în urma manevrării dese în operații de service).

Se fac următoarele măsurători (figura 2):

- rezistența electrică la bornele condensatoarelor C850 și C851 ( $>100\text{k}\Omega$ ),
- rezistența R814, R817 (1k $\Omega$ ) și R818 (19k $\Omega$ ).

Se verifică dacă pinii 13...17 ai circuitului N800 prezintă lipituri reci.

Dacă în urma acestor verificări totul este în regulă, se înlocuiesc condensatoarele C818 și C819.

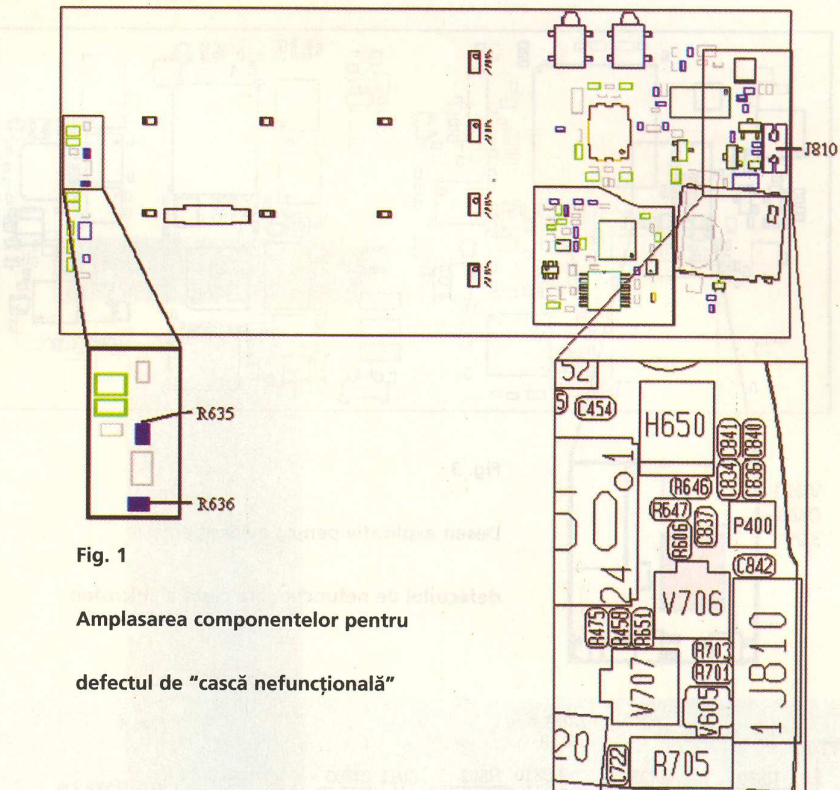
Dacă defectul nu este eliminat, se impun următoarele măsurători la conectorul X830 (figura 2):

- între cei doi pini ai conectorului trebuie să se măsoare cca. 28k $\Omega$ , altfel este defect C815,

- rezistența pinului 1 a lui X830 către masă trebuie să fie cca. 27k $\Omega$ ; pentru o valoare incorectă se urmărește dacă R812 și R814 au 470 $\Omega$  fiecare, altfel este defect cablajul (întrerupere) către microfon,

- rezistența pinului 2 a lui X830 trebuie să fie cca. 470 $\Omega$ , altfel pentru o valoare măsurată mai mică se înlocuiește C820, iar pentru o valoare mai mare R820 (470 $\Omega$ ).

Dacă defectul nu se rezolvă, se recomandă



**Fig. 1**  
Amplasarea componentelor pentru  
defectul de "cască nefuncțională"

și în acest caz ca aparatul să fie văzut de un service autorizat.

### Atât microfonul, cât și casca telefonului, nu funcționează

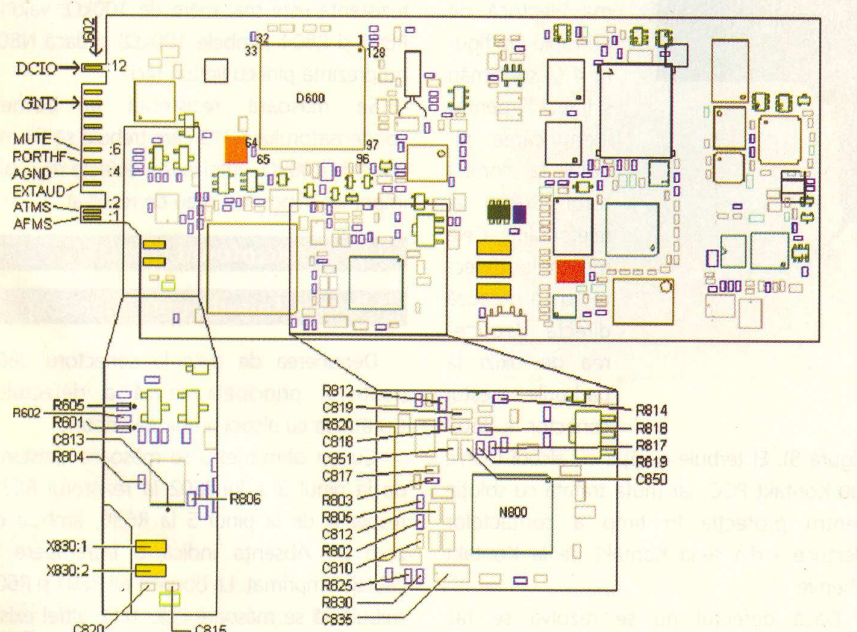
Se verifică dacă partea de placă marcată în

figura 1 nu este foarte murdară (oxizi). Se curăță cu alcool tehnic, cu ajutorul unei periute tari. Se mai verifică, în figura 3, prezența tensiunii VDIG de 3,2V. Dacă este incorectă, se revede capitolul "telefonul nu pornește", prezentat în urmă cu câteva numere ale revistei.

Pe desenul din figura 2 se verifică prezența semnalelor PHFI (la bornele lui R601 și la pinul 70 a lui D600) și EXTAUDI (la bornele lui R605, respectiv pinul 67 a lui D600) - de valori cca. 3,1V. În cazul în care aceste valori de tensiuni (egale aproximativ) sunt mici, dar atenție! numai pe unul din padurile marcate în figura 2, se scoate cu stația de aer cald SMT, unul din rezistoarele respective și se măsoară rezistența la paduri către masă ( $>2\text{M}\Omega$ ). În cazul unei valori mult mai mici există un scurtcircuit în cablaj sau în D600, care trebuie înlocuit. Dacă cele două semnale lipsesc pe ambele terminale ale celor două rezistoare, se măsoară rezistențele lui R635 și R636 (cca. 22k $\Omega$ ), iar dacă sunt defecte se înlocuiesc. Dacă nu se întâmplat nimic, atunci există o întrerupere în cablaj.

Pe padul marcat al acestor două rezistoare se măsoară de fapt tensiunea VDIG (3,2V), astfel:

- dacă lipsește la bornele celor două rezistoare, dar este prezentă la pinul 5 a lui N702, atunci există o întrerupere în cablajul



**Fig. 2**

Amplasarea componentelor pentru defectul de "microfon neoperational"

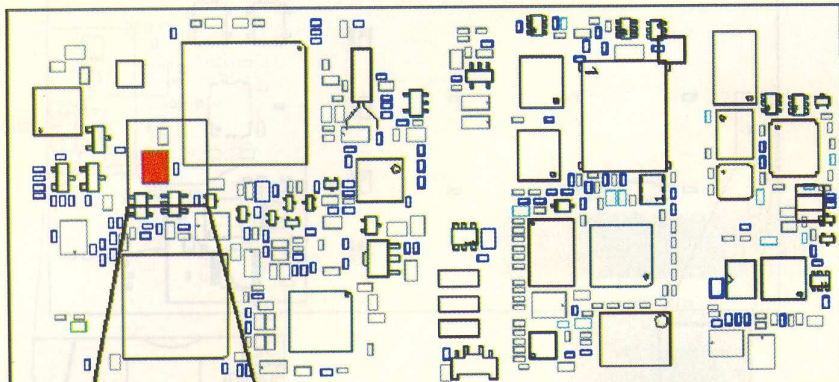


Fig. 3

Desen explicativ pentru evidențierea

defectului de nefuncționare cască și microfon

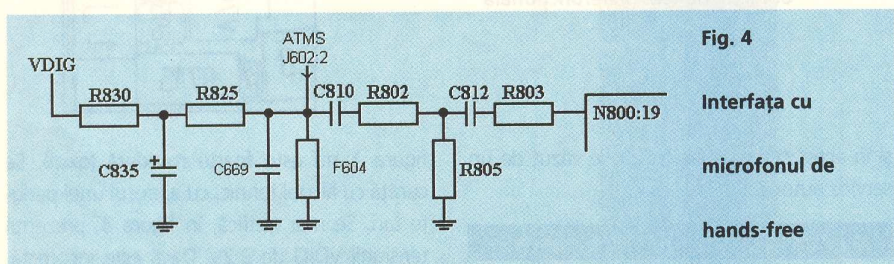


Fig. 4

Interfața cu  
microfonul de  
hands-free

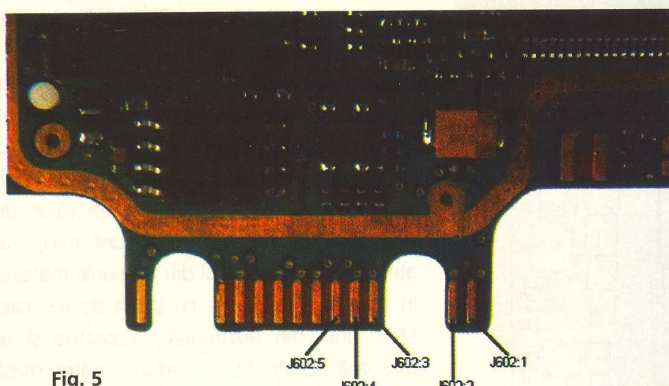


Fig. 5

Aspectul pad-urilor conectorului J602

imprimat,

- dacă valoarea VDIG este corectă, atunci sunt lipituri reci la N800 sau D600.

### Microfonul de hands-free

#### nu operează

Defectul apare atunci când există o întrerupere pe calea semnalului între microfonul de

hands-free și circuitul N800. Explorativ este schema electrică de principiu din figura 4 (a se urmări și figura 5, pentru identificarea pinului la conectorul extern al telefonului). Cele mai multe defecțiuni au ca o cauză directă depunerea de oxizi la padurile acestui conector - J602

(figura 5). El trebuie curățat cu alcool tehnic sau Kontakt PCC, iar mușa tratată cu soluție pentru protecția în timp a contactelor electrice - din seria Kontakt de la Kontakt Chemie.

Dacă defectul nu se rezolvă se fac următoarele măsurători:

- rezistența către masă a pinului 2 al conectorului J602 - mai mare de  $30\text{k}\Omega$ , altfel

există un scurtcircuit la pinul ATMS (figura 2) și se înlocuiesc F604 și C669,

- rezistența la bornele condensatoarelor C850 și C851 ( $>100\text{k}\Omega$ ),
- componentele R830, C835, R825, C810, R802, R805, C812 și R803,
- lipituri reci la N800.

Se asamblează telefonul fără a monta conectorul extern (J602) și se alimentează. Se măsoară la apinul 2 a lui J602 semnalul ATMS (3,1V). Dacă valoarea este incorrectă, se măsoară pe R830 (pinul marcat) tensiunea VDIG (3,2V), iar în cazul unei valori VDIG corecte se verifică R830 ( $470\Omega$ ), R825 ( $3,3\text{k}\Omega$ ), C835 (rezistență  $>1\text{k}\Omega$ ) și C810 (rezistență  $>5\text{k}\Omega$ ). Dacă valoarea VDIG este incorrectă, se revede capitolul "telefonul nu pornește".

În cazul în care valoarea măsurată la padul 2 a lui J602 este corectă se verifică C810, C812 (rezistență  $>5\text{k}\Omega$ ), R802 ( $10\text{k}\Omega$ ) și R803 ( $1\text{k}\Omega$ ).

#### Casca hands-free-ului nu operează

Similar, defectul are cauză primară în întreruperea semnalului între casca de hands-free și componenta N800 via conectorul J602.

Ca mai sus, se verifică la acest conector depunerile de oxizi la pinii 1, 2 și 4 și se măsoară rezistența către masă a pinului 1, iar pentru o valoare mai mică de  $10\text{k}\Omega$  se înlocuiesc F601 și C668 (figura 6).

Se verifică dacă la bornele lui C850 și C851 rezistența este mai mare de  $100\text{k}\Omega$ , valorile R806 și R804 (ambele  $100\text{k}\Omega$ ) și dacă N800 nu prezintă pini cu lipituri reci.

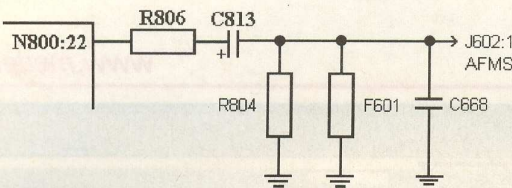
Se măsoară rezistența la bornele condensatorului C813 care trebuie să fie mai mare de  $100\text{k}\Omega$ , altfel există defecțiuni de cablu imprimat, fiind mai greu de rezolvat.

#### Microfonul și casca

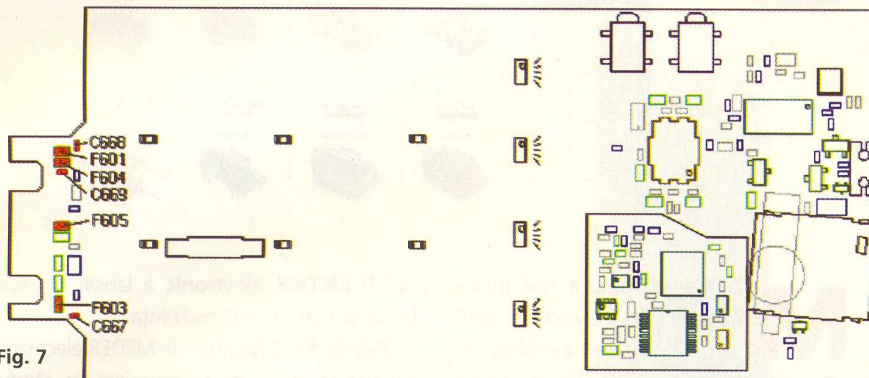
#### hands-free-ului nu operează

Depunerea de oxizi la conectorul J602 poate fi principala cauză a defectului. Curățarea cu alcool tehnic se impune.

Cu un ohm-metru se măsoară rezistența de la pinul 3 a lui J602 la rezistorul R635, respectiv de la pinul 5 la R636, ambele de zero  $\Omega$ . Absența indică o întrerupere în cablajul imprimat. La bornele lui R601 și R605 trebuie să se măsoare cca.  $1\text{k}\Omega$ , altfel există pini cu lipituri reci la componente N800 și D600, ca urmare a șocurilor mecanice, cel mai probabil.

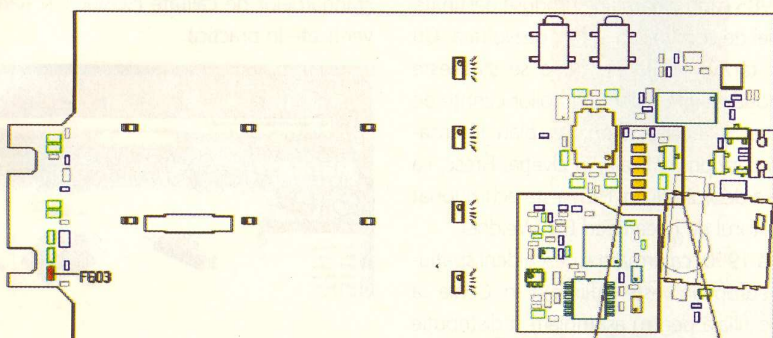


**Fig. 6**  
Interfață cu casca de  
hands-free



**Fig. 7**

Desen explicativ pentru defectul de "muting nefuncțional"



**Fig. 8**

#### Semnificația pad-urilor display-ului

#### Defecte ale sistemului de afișare

##### (display)

Se vor prezenta în continuare defectele care privesc afișarea informației pe display. Aceasta face contact cu PCB-ul printr-un conector elastomeric. În figura 7 se identifică cele cinci pad-uri de pe cablaj corespunzătoare display-ului.

##### Lipsesc segmente pe display

Defectul se manifestă prin lipsa unei (unor)

linii din matricea display-ului, informația fiind greu de vizualizat sau uneori aproape imposibilă. Defectul are două cauze sigure: prezența lichidelor în telefon sau display-ul este defect.

#### Display-ul nu afișează

În acest caz, depistarea defectului debutează cu operația de măsurare a consumului de curent al telefonului prin inserarea coordoanelor multimetrului (poziționat pe o scală mai mare de 200mA) cu borna de plus a bateriei, respectiv a mufei corespunzătoare telefonului. Dacă consumul măsurat este mai mare de 200mA, sigur display-ul prezintă defect mecanic - respectiv este fisurat sau elastomerul nu este fixat corespunzător. Dacă consumul este mai mic de 200mA, se curăță cablajul telefonului cu alcool tehnic.

Pe padurile de pe cablaj ale display-ului trebuie să se măsoare în condiții normale valorile de tensiune indicate în figura 7.

Dacă I<sup>2</sup>C DAT și I<sup>2</sup>C CLK lipsesc se verifică R619 și R620 (6,8kΩ), R615 (0 Ω), R614 (10kΩ) - vezi figurile 7 și 8. Dacă toate aceste valori sunt corecte se măsoară rezistența de la pad-ul I<sup>2</sup>C DAT către masă (>10kΩ), iar pentru o valoare mică se înlocuiește V750; pot să existe lipituri reci la D600 sau acesta să fie defect.

Dacă tensiunea VLCD nu este corectă, pot fi defecte: R480 (dacă nu există 3,8V la pinul 1 a lui V611), C633, siguranța F620 arsă, condensatoarele C634 și C636. Dacă nu există un scurtcircuit la bornele acestor condensatoare se înlocuiește D600 (dacă este posibil!).

În cazul unei valori VLCD mai mari de 6V se înlocuiește dioda V608 (figura 8); pentru VLCD<2,5V se verifică V608 și V611. Împreună cu aceste diode se înlocuiesc totodată și C634 și C636. Dacă VLCD continuă să rămână incorectă, atunci se verifică continuitatea traseului de cablaj de la pad-ul VLCD la pinul 2 al lui V608.

#### Display-ul afișează o matrice

##### completă (contrast excesiv)

Defectul mai poate fi denumit și "display negru" (Atenție! nu cel fisurat). Pot fi defecte componente R807, R808 sau C824. S-au întâlnit cazuri când defectul era de natură

continuare în pagina 27

# MEDER electronic

[www.meder.com](http://www.meder.com)

## carte de vizită

Într-o lume în care se produc mii de componente electronice și se crează zeci de milioane de produse, MEDER electronic este unul dintre puținele producători care au reușit să devină o mare firmă internațională. În ceea ce privește producția de componentele electronice, MEDER electronic este unul dintre cei mai mari producători din lume. În ceea ce privește vînzările, MEDER electronic este unul dintre cei mai mari producători din lume.

**MEDER electronic se distinge prin inovație, fiind liderul de piață al componentelor bazate pe tehnologia Reed. Firma produce o gamă largă de relee Reed, senzori sau comutatoare Reed, cu aplicații directe în sectoarele de telecomunicații, security, auto, echipamente de test și măsurare, etc.**



**M**EDER electronic a fost înființată de Bernhard Meder în anul 1981, la Singen-Germania, cu obiect inițial de activitate vânzări și service pentru echipamente radio și de telecomunicații. Numele de MEDER electronic este adoptat în 1985 când o gamă de produse destinate industriei de comunicații a fost dezvoltată. Un an mai târziu, la Singen firma se stabilește într-o nouă clădire, adaptată noilor cerințe de producție. În același timp, pe plan internațional, apare prima filială, în Elveția. Fîrse, ca urmare a dezvoltării, în 1987 este achiziționat producătorul de relee Reed ESF Weidner.

După 1990, ca urmare a deschiderii spațiului est-european, este înființată în Cehia la Praga, o filială pentru asamblare și distribuție în fostele țări socialiste. În anul 1993, odată cu nou formata filială **MEDER Reed GmbH**, la Großbreitenbach / Thüringen (Germania), pentru producerea senzorilor și releeelor Reed proprii, se obține certificarea ISO9001.

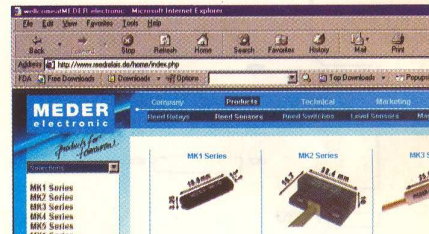
Azi, MEDER electronic oferă o gamă largă de relee Reed pentru aplicații speciale sau de opto-cuploare ca urmare a "preluării" grupului ELFEIN GmbH din Frankfurt / Main, în anul 1995. Un an mai târziu, suprafața de birouri și spații de producție din Singen se extinde la 400m<sup>2</sup>. În același timp se trece și peste ocean, cu o filială proprie în Statele Unite la Taftville.

Între 1996 și 1999 au loc diverse modificări (transformarea în societate pe acțiuni, schimbări de nume ale achizițiilor, etc.) și extinderi în Asia. Firma își mută birourile (anul 2000) într-un centru nou - Engen-Welschingen și obține certificatul QS9000. Filiala din Praga a obținut și ea de curând certificatul de calitate ISO9001.

În urmă cu aproximativ două luni (iunie

2003) MEDER electronic a lansat un nou birou de vânzări la Paris-Franța.

Releele Reed produse de MEDER electronic se bucură de o bună apreciere în rândul proiectanților și tehnicienilor din industria de comunicatii și security, datorită respectării standardelor de calitate ISO9001 și fiabilității verificate în practică.



Produsele firmei se împart în: relee Reed, senzori Reed - diverse forme, comutatoare Reed (pentru utilizare în contactele magnetice din sistemele de alarmă, de exemplu), senzori de nivel Reed (vezi numărul anterior al revistei), magneti pentru senzori sau optocuploare.

De remarcat sunt releele Reed relizate în diverse forme, capsule DIP (de circuit integrat), SIP (Single Inline Package, SMD (seria CRF sau CRR destinate utilizării în montaje radio, impedanță 50Ω, 7MHz).

Pentru o parere de ansamblu vă invităm să vizitați site-ul de Internet al firmei, [www.meder.com](http://www.meder.com). Produsele sunt prezentate detaliat, cu fotografie și dimensiuni de gabarit, grupate pe categorii.

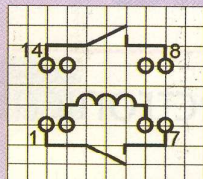
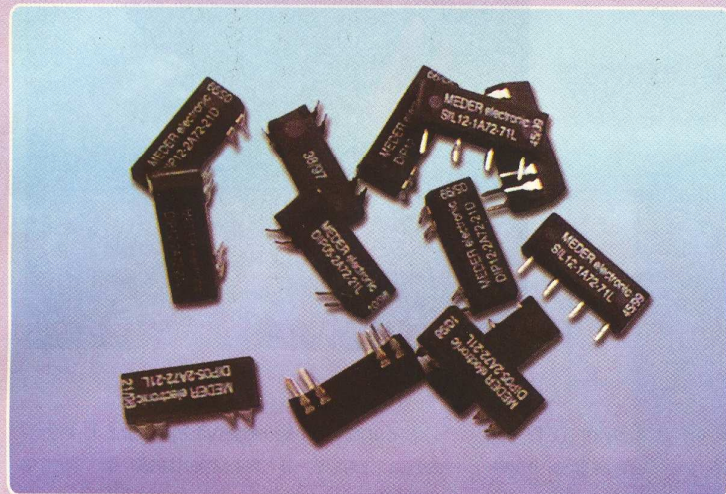
În format .pdf se pot vizualiza detalii, cum ar fi: dimensiuni, semnificație pinii, schema internă, caracteristici electrice pentru fiecare model în parte, curbe de răspuns, etc.

La Conex Electronic pot fi găsite o parte din componentele oferite de MEDER electronic. ♦

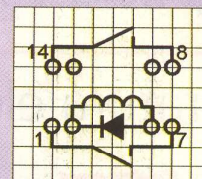
**MEDER**  
electronic

ISO 9001

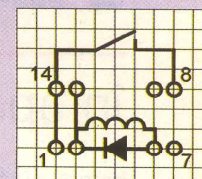
# Relee Reed



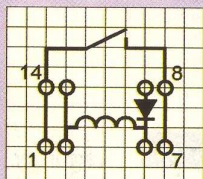
DIP\_21L



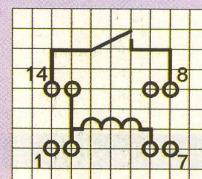
DIP\_21D



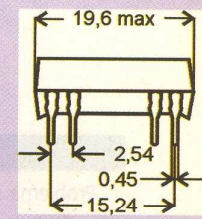
DIP\_D



DIP\_A



DIP\_12L



## În capsulă DIP

Tip	$I_{NC}$ [A]	$U_{Nsp}$ [V]	$R_{sp}$ [Ω]	$U_{An}$ [V]	$U_{Ab}$ [V]	$R_c$ [mΩ]	$R_i$ [GΩ]	$V_{is}$ [V]	Diodă inclusă	Semnificație terminale
DIP051A7212L	1	5	500	3,5	0,75	150	100	1500	Nu	DIP_12L
DIP121A7212L	1	12	1000	8,4	1,8	150	100	1500	Nu	DIP_12L
DIP241A7212L	1	24	2150	16,8	3,6	150	100	1500	Nu	DIP_12L
DIP051A7212D	1	5	500	3,5	0,75	150	100	1500	Da	DIP_D
DIP121A7212D	1	12	1000	8,4	1,8	150	100	1500	Da	DIP_D
DIP241A7212D	1	24	2150	16,8	3,6	150	100	1500	Da	DIP_D
DIP051A7212A	1	5	500	3,5	0,75	150	100	1500	Da	DIP_A
DIP121A7212A	1	12	1000	8,4	1,8	150	100	1500	Da	DIP_A
DIP241A7212A	1	24	2150	16,8	3,6	150	100	1500	Da	DIP_A
DIP052A7221L (*)	1	5	140	3,5	0,75	150	100	1500	Nu	DIP_21L
DIP122A7221L (*)	1	12	500	8,4	1,8	150	100	1500	Nu	DIP_21L
DIP242A7221L (*)	1	24	2150	16,8	3,6	150	100	1500	Nu	DIP_21L
DIP052A7221D (*)	1	5	140	3,5	0,75	150	100	1500	Da	DIP_21D
DIP122A7221D (*)	1	12	500	8,4	1,8	150	100	1500	Da	DIP_21D
DIP242A7221D (*)	1	24	2150	16,8	3,6	150	100	1500	Da	DIP_21D

$I_{NC}$  = Current maxim prin contact;  
 $U_{Nsp}$  = Tensiune nominală pe bobină;  
 $R_{sp}$  = Rezistență electrică a înfășurării;  
 $U_{An}$  = Tensiune maximă de închidere;  
 $U_{Ab}$  = Tensiune minimă de ținere;  
 $R_c$  = Rezistență electrică de contact;  
 $R_i$  = Rezistență electrică de izolație;  
 $V_{is}$  = Tensiune maximă de izolație.  
(\*) Are două contacte normal deschise.



**Releu Reed  
12V  
2 contacte ND**  
Cod 305  
Preț 50.000 lei



**Releu Reed  
5V/1A  
(500Ω)**  
Cod 12660  
Preț 60.000 lei



**Releu Reed  
12V/1A  
(1kΩ)**  
Cod 12661  
Preț 60.000 lei



**Contact Reed  
0,5A (10W)**  
Cod 5589  
Preț 40.000 lei

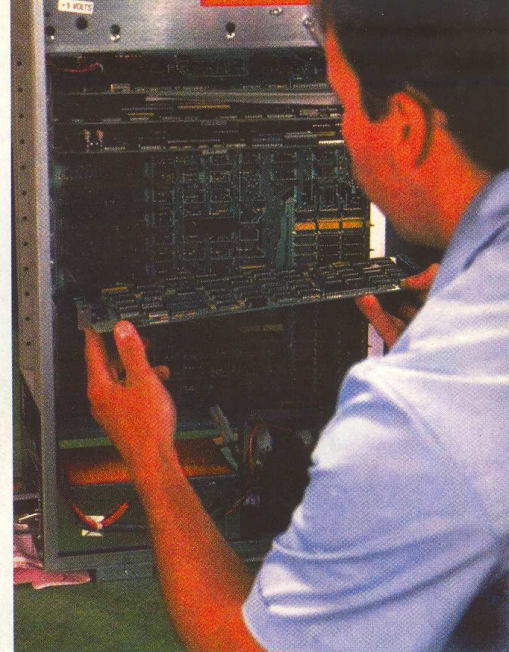
# Măsurarea practică a impedanțelor

## în aparatura electronică (I)

Noroel - Dragoș Codreanu

Facultatea Electronică și Tc., UPB-CETTI

[noroc@cadtieccp.pub.ro](mailto:noroc@cadtieccp.pub.ro)



### Introducere

Problema măsurării impedanțelor în cadrul aparaturii electronice pare pentru mulți dintre electroniști o chestiune ce nu prezintă nici un fel de secret. Din păcate, nu de puține ori, tratarea cu superficialitate a tehniciilor și metodelor de evaluare a impedanțelor a condus la rezultate eronate și la mărirea timpului de depanare sau punere în funcțiune a unui produs.

O greșală este aceea că încă se face confuzia între mărimele fizice *impedanță* și *rezistență*. În plus, unii practicieni consideră că termenul de *impedanță* este strict asociat structurilor RLC sau componentelor electronice de acest tip. Chiar dacă uneori sunt necesare echipamente profesionale și scumpe (de tipul analizorului de rețea vectorial) pentru estimarea unor structuri și dispozitive complexe, trebuie precizat că măsurarea transformatoarelor, diodelor, tranzistoarelor, amplifi-

catoarelor, antenelor, dispozitivelor LCD sau bateriilor, din punctul de vedere al unor impedanțe care le caracterizează, reprezintă o cale performantă de evaluare a lor.

În cele ce urmează vor fi prezentate noțiunile teoretice legate de impedanță și măsurarea acesteia, precum și metode practice, monturi necesare, configurații de conectare și instrumente de măsurare. În final va fi prezentat analizorul de rețea vectorial aflat în dotarea Centrului de Electronică Tehnologică și Tehnici de Interconectare din cadrul Facultății de Electronică și Telecomunicații din București, analizor ce stă la dispoziția specialiștilor interesați.

Pornind de la fundamente, trebuie spus că impedanța (notată prin  $Z$ ) este o mărime fizică de natură electrică extrem de importantă ce permite caracterizarea componentelor și circuitelor electronice, precum și materialelor utilizate în industria electronică. Ea se definește ca fiind opoziția totală a unui dispozitiv sau circuit electronic la trecerea curentului alternativ de o frecvență dată și este o mărime complexă reprezentată grafic printr-un vector plan rotitor (fazor) în cadrul unui plan în care axa XX' este axa reală iar YY' axa imaginară (diagramă fazorială). Vectorul impedanță prezintă o parte reală (rezistență -  $R$ ) și una imaginară (reactanță

-  $X$ ), după cum se observă în figura 1. Impedanța poate fi reprezentată în forma complexă (1) sau în forma polară (2).

$$Z = R + j \cdot X \quad (1)$$

$$Z = |Z| \cdot e^{\theta} \quad (2)$$

Relațiile (1) și (2) conduc la relațiile deriveate (3):

$$\begin{aligned} R &= |Z| \cdot \cos\theta \\ X &= |Z| \cdot \sin\theta \\ |Z| &= \sqrt{R^2 + X^2} \\ \theta &= \operatorname{arctg} \frac{X}{R} \end{aligned} \quad (3)$$

În unele cazuri este de preferat (din considerente matematice) folosirea unei alte mărimi fizice de natură electrică și anume a inversului impedanței. Această mărime se numește admitanță ( $Y$ ) și este formată (relația 4) dintr-o parte reală (conductanță -  $G$ ) și una imaginară (susceptanță -  $B$ ).

$$Y = \frac{1}{Z} = \frac{1}{R + j \cdot X} = G + j \cdot B \quad (4)$$

Unitatea de măsură a impedanței este **Ω - ohm** iar a admitanței **S - siemens**. În unele cărți mai vechi poate fi întâlnită pentru admitanță unitatea **mho**, inversul cuvântului **ohm**, ca replică a faptului că admitanța este inversul impedanței. Cum România (membră a Convenției Metrului din 1883) a adoptat Sistemul Internațional de Unități (SI) la data de 31 august 1961, este bine ca specialiștii români să utilizeze în vorbire și scriere unitatea corectă, **"siemens"**. Impedanța este ușor folosită în cazul conectării în serie, în timp ce admitanța este utilizată în special în cazul

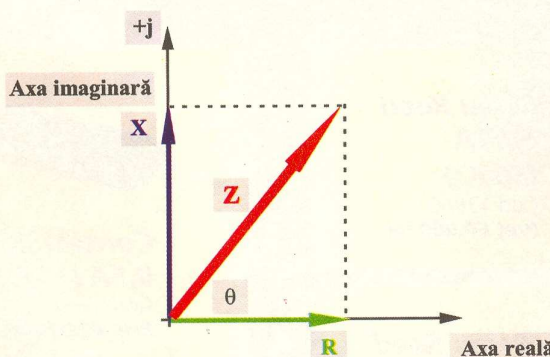


Fig. 1

Impedanța  $Z$ , funcție de rezistență și reactanță

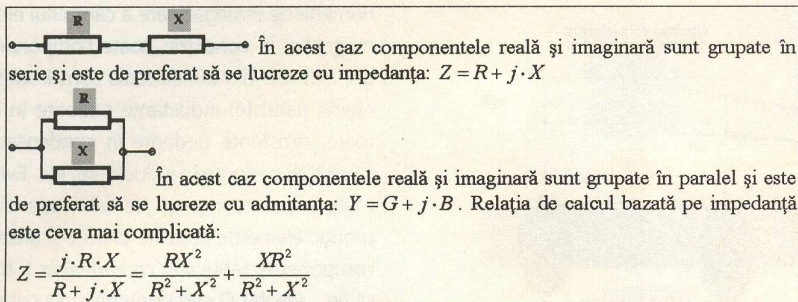


Fig. 2

## Grupări serie și paralel

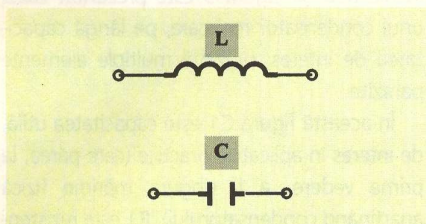


Fig. 3

**Inductanță și capacitate ce generează cele două forme de reactanță (inductivă și capacativă)**

conectării în paralel. Sigur că nimic nu oprește proiectantul să folosească impedanță și în cazul paralel dar acest lucru este mai puțin avantajos din punct de vedere matematic (figura 2).

Reactanța este de două tipuri: inductivă ( $X_L$ ) și capacativă ( $X_C$ ). Astfel:

$$X_L = 2\pi f \cdot L = \omega \cdot L$$

$$X_C = \frac{1}{2\pi f \cdot C} = \frac{1}{\omega \cdot C} \quad (5)$$

unde

L - inductanță;

C - capacitatea;

f - frecvența de lucru;

$\omega$  - frecvența unghiulară (pulsăția).

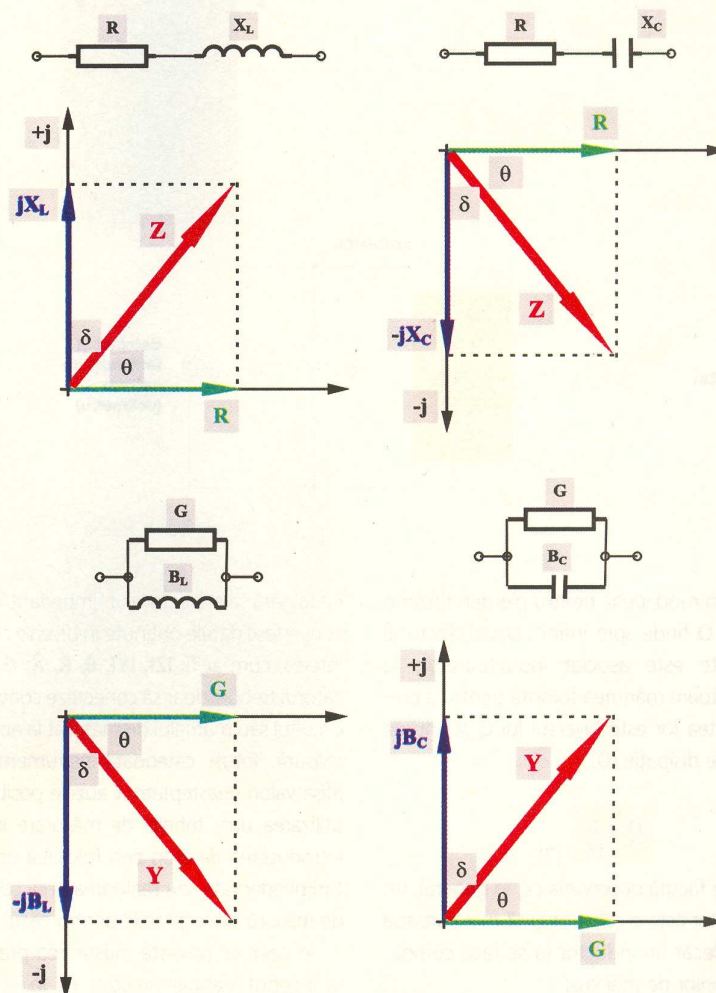
În acest fel mărimea fizică reactanță din figurile anterioare poate fi înlocuită cu o inductanță sau cu o capacitate (figura 3).

În mod similar se petrec lucrurile și cu admitanța, în a cărei componență se poate găsi susceptanță inductivă sau capacativă. În figura 4 sunt prezentate grupări tipice serie și paralel și diagramele fazoriale de impedanță și

acesta este o măsură a purității impedanței în cazul structurilor inductive și capacitive (cât de apropiată este aceasta este de reactanță pură). Se cunoaște faptul că un inductor (termen mai general pentru noțiunea de bobină) este cu atât mai bun cu cât factorul de calitate este mai mare, deci impedanță este mai apropiată de reactanță pură și de pierderi ohmice nule. Factorul de calitate este definit la rezonanță și reprezintă raportul dintre energia stocată într-o componentă și energia disipată de respectiva componentă. Q este o mărime adimensională.

$$Q = \frac{X_{(L \text{ sau } C)}}{R} = \frac{B_{(L \text{ sau } C)}}{G} = \frac{1}{tg\delta} \quad (6)$$

În figura 4 și relația 6 se poate vedea că factorul de calitate este invers proporțional cu tangenta de pierderi, crescând cu scăderea



a) vector inductiv

a) vector capacativ

## Relații între parametrii impedanță / admitanță

Fig. 5

**Condensator real și circuitul său echivalent**

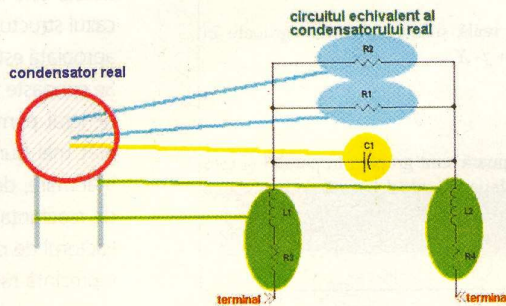


Fig. 6

**Metoda punții**

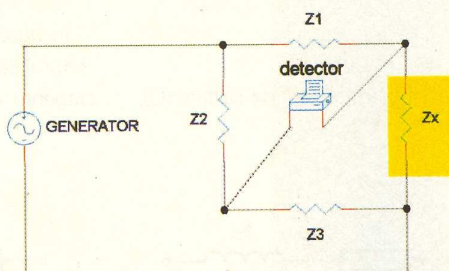
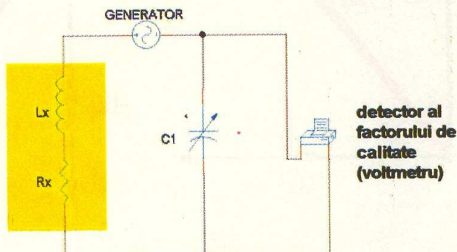


Fig. 7

**Metoda rezonanței**



acesteia. În mod ideal, pentru pierderi tinzând spre zero Q trebuie să fie infinit. Uzual, factorul de calitate este asociat inductoarelor; la condensatoare mărimea folosită pentru a preciza calitatea lor este inversul lui Q și anume factorul de disipație (D).

$$D = \frac{1}{Q} \quad (7)$$

Trebue făcută observația că, în general, un condensator este o componentă mai aproape de ideal decât un inductor (a se face comparația factorilor de mai sus).

Deoarece impedanța este o mărime complexă, măsurarea ei se poate face doar prin măsurarea a cel puțin două valori. Multe impedanțmetre moderne măsoară părțile reală/

imaginată ale vectorului impedanță și apoi convertesc datele obținute în diverse mărimi de interes, cum ar fi: IZI, IYI, θ, R, X, G, B. Utilizatorul trebuie doar să conecteze componenta, circuitul sau materialul de măsurat la aparatul de măsură. Totuși, cîteodată instrumentul poate afișa valori neașteptate. Cauzele posibile pot fi utilizarea unei tehnici de măsurare incorecte, introducerea de erori prin folosirea unor monturi neadecvate sau realizarea unei configurații de măsură încăpetabile pentru cazul în spătă.

În ceea ce privește măsurarea practică, de la început trebuie precizat că în electronică reală nu există elemente pur rezistive sau pur reactive ci doar combinații ale acestora. Orice inductor/condensator are asociate și pierderi, după cum orice rezistor are asociate și fe-

nomene de înmagazinare a câmpului electric/magnetic. În concluzie, toate componentele/dispozitivele din lumea reală sunt însotite de efecte parazite: inductanțe nedorente în rezistoare, rezistențe nedorente în condensatoare, capacitați nedorente în inductoare, etc. Evident, materiale și tehnologii de fabricație diferite produc elemente parazite diferite și afectează componenta fabricată, care ideal ar fi trebuit să fie... ideală! O componentă reală conține o multitudine de elemente parazite. Combinarea dintre elementul primar al componentei reale și elementele parazite conduce la apariția unui circuit complex, structură pasivă alcătuită din grupări serie/paralel de elemente ideale RLC. În figura 5 este prezentat cazul unui condensator real care, pe lângă capacitatea de interes, prezintă multiple elemente parazite.

În această figură C1 este capacitatea utilă, de interes în aplicațiile practice (care pare, la prima vedere, a fi singura mărime fizică aparținând condensatorului), R1 este rezistența de izolație, mărime ce evidențiază pierderile prin conduction în dielectric, R2 este rezistența cauzată de pierderile prin polarizație iar L1, L2, R3, R4 inductanțele și rezistențele terminalelor. Ar mai trebui spus, dacă circuitul echivalent din figură se consideră a fi... insuficient de complex, că, pe lângă inductanță parazită a terminalelor, mai există și inductanță parazită a armăturilor!

Tinând cont de cele de mai sus, se poate spune că o componentă electronică prezintă trei tipuri de valori: valoarea ideală (de interes), valoarea efectivă și valoarea măsurată. Valoarea ideală este valoarea în care nu sunt luate în considerare efectele parazite (C1 din figura 5), valoarea efectivă este cea care ia în considerare nedorele efecte parazite iar valoarea indicată (măsurată) este valoarea obținută prin intermediul unui aparat sau echipament de măsură. În plus față de cele discutate la valoarea efectivă, ea reflectă pierderile și imprecizia instrumentului. Prin compararea celor trei valori specialistul electronist poate stabili acuratețea măsurătorii și poate decide asupra repetării unor măsurători ce nu par realiste.

### Metode practice de măsurare

#### a impedanțelor

Măsurarea impedanțelor se poate realiza prin intermediul unei palete largi de metode, fiecare prezentând propriile avantaje și

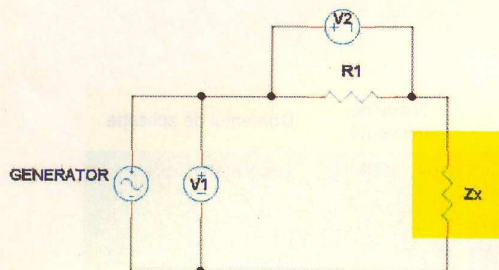


Fig. 8

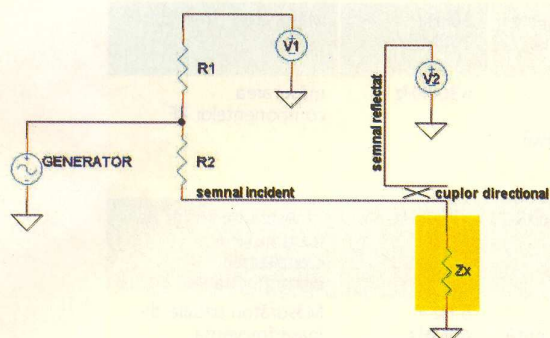
**Metoda I-U**

Fig. 9

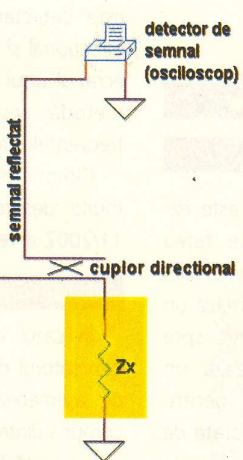
**Metoda analizei de rețea**

Fig. 10

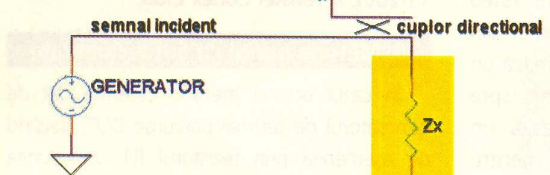
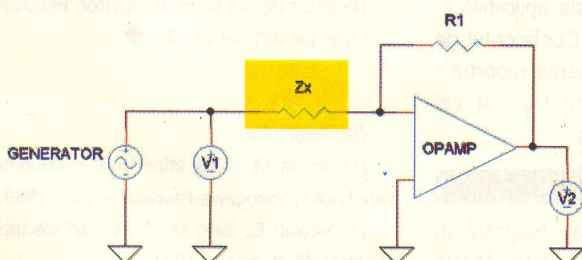
**Metoda TDR**

Fig. 11

**Metoda punții cu autoechilibrare**

dezavantaje. Utilizatorul trebuie mai întâi să studieze cerințele și condițiile de măsurare și abia apoi să aleagă metoda corespunzătoare, luând în considerare diversi factori, cum ar fi gama de frecvență, domeniul de măsură, precizia necesară și, nu în ultimul rând, costul echipamentului de măsură și timpul necesar efectuării operației. Utilizatorul trebuie să aleagă soluția optimă deoarece nu există metodă care să corespundă tuturor cerințelor din practică și care să asigure toate capabilitățile de măsurare.

Mai jos se prezintă șase metode uzuale pentru măsurarea impedanțelor în gama de frecvență de până la 1 GHz. În tabelul 1 pot fi remarcate avantajele și dezavantajele acestor metode. În plus, tabelul listează domeniul de frecvență pentru care acestea pot fi utilizate și gama de aplicații uzuale ale acestora. De exemplu, din punctul de vedere al preciziei de măsurare și ușurinței în utilizare, metoda punții cu autoechilibrare este cea mai bună alegere pentru măsurători până la 40 MHz, între 40 MHz și 100 MHz metoda I-U iar peste 100 MHz metoda analizei de rețea ("Network Analysis Method").

### 1. Metoda punții

Această metodă este cunoscută chiar și de începători (figura 6). Când aparatul de măsură nu mai detectează o curgere de curent prin diagonala punții, se spune că puntea a ajuns la echilibru și valoarea impedanței necunoscute  $Z_X$  se obține cu ajutorul relației:

$$Z_X = \frac{Z_1}{Z_2} \cdot Z_3$$

$Z_1...Z_3$  fiind impedanțele cunoscute din celelalte trei brațe ale punții.

Diverse aplicații necesită ca elementele din brațele punții să fie  $R$ ,  $L$ ,  $C$  sau combinații ale acestora. În curent continuu se pot întâlni puntea Wheatstone sau puntea dublă Kelvin (pentru măsurarea rezistențelor mici) iar în curent alternativ punțile Sauty și Wien (atunci când brațele pur rezistive sunt alăturate) sau Hay și Maxwell (atunci când brațele pur rezistive sunt opuse).

### 2. Metoda rezonanței

Măsurarea impedanțelor în domeniul frecvențelor înalte se poate face prin utilizarea proprietăților circuitului oscilant. Când acest circuit este adus la rezonanță (prin intermediul unui condensator variabil  $C_1$ ), impedanța necunoscută (circuitul serie  $LX$ ,  $RX$ ) este

**Tabelul 1**

	Avantaje	Dezavantaje	Gama de frecvență	Domeniu de aplicație
Metoda punții	- precizie mare (0,1%) - acoperire mare în frecvență datorită faptului că sunt fabricate foarte multe tipuri - preț redus	- nevoie de echilibrare - acoperire mică în frecvență cu un singur aparat	c.c.-300MHz	Laborator standard
Metoda rezonanței	- precizie bună la măsurarea factorului de calitate (10%)	- nevoie de aducere la rezonanță - precizie scăzută de măsurare a impedanței	10kHz-70MHz	Măsurarea dispozitivelor cu factor de calitate ridicat
Metoda I-U	- posibilitate de măsurare a dispozitivelor "low-grounded"	gama frecvenței de lucru este limitată de transformatorul utilizat	10kHz-100MHz	Măsurători "in-circuit"
Metoda analizei de rețea (de diport)	- lucru în domeniul frecvențelor înalte - precizie bună când impedanța necunoscută este apropiată de impedanța caracteristică	- recalibrare necesară la schimbarea frecvenței - gamă de măsurare îngustă	>300kHz	Măsurarea componentelor RF
Metoda TDR	- gama frecvențelor înalte - "high-speed"	- uneori conduce la o precizie mai scăzută	>300kHz	- măsurarea liniilor de transmisie - localizarea discontinuităților
Metoda punții cu autoechilibrare	- acoperire mare în frecvență - precizie mare într-o plajă largă de impedanțe	- nu sunt disponibile măsurători de înaltă frecvență	5 Hz - 40MHz	Măsurători uzuale de joasă frecvență

obținută din frecvența de test, valoarea capacitatii condensatorului și valoarea factorului de calitate Q.

Acordul circuitului oscilant (fenomenul de rezonanță) poate fi pus în evidență prin maximul indicației unui voltmetru electronic conectat în paralel pe condensator sau prin maximul indicației unui miliampermetru cu termocuplu plasat în serie cu circuitul. Deoarece pierderile circuitului de măsură sunt foarte reduse, se pot măsura valori ale lui Q de până la 1000. În afară de conectarea directă din figură, se pot realiza conectări serie sau paralel pentru o gamă largă de măsurători.

### 3. Metoda I-U

Impedanța necunoscută ZX poate fi calculată prin intermediul tensiunii măsurate și currentului. Currentul este calculat utilizând tensiunea măsurată de voltmetru V2 pe o rezistență precisă și cunoscută de valoare mică, R1. În practică se utilizează de obicei un transformator cu pierderi mici în locul rezistorului R1, pentru a preveni efectele cauzate de plasarea lui în circuit. Totuși și transformatorul introduce efecte negative, limitând capătul de jos al gamei de frecvență aplicabile. Voltmetrul V1 măsoară tensiunea la bornele întregului circuit.

$$Z_X = \frac{V_1}{I} = \frac{V_1}{V_2} \cdot R_1$$

### 4. Metoda analizei de rețea

#### (de diport)

În mare (deoarece echipamentul este extrem de complex) un analizor de rețea vectorial se prezintă conform schemei din figura 9. Oscilatorul aparatului generează un semnal de test care este transmis spre impedanță de măsurat. Se utilizează un cuplu direcțional sau o punte pentru detectarea semnalului reflectat și aparate de măsură adecvate (în cazul cel mai simplu voltmetru) pentru operația de măsurare efectivă. Deoarece această metodă măsoară reflexia obținută în punctul în care se plasează impedanța necunoscută (DUT - Device Under Test, în limba engleză), ea este aplicabilă în domeniul frecvențelor înalte. Coeficientul de reflexie se obține prin măsurarea raportului dintre semnalul reflectat de DUT și cel incident.

### 5. Metoda TDR

Această metodă măsoară răspunsul în domeniul timp al DUT și este foarte asemănătoare principiului de funcționare al radarului. Semnalul incident este un semnal

treaptă sau un impuls iar semnalul reflectat este detectat prin intermediul unui cuplu direcțional și este afișat în domeniul timp pe ecranul unui monitor (osciloscop). și această metodă este aplicabilă în domeniul frecvențelor înalte.

Cititorii revistei pot găsi informații mai multe despre această metodă în numărul 11/2002 al revistei Conex Club.

### 6. Metoda punții cu autoechilibrare

În cazul acestei metode curentul dat de generatorul de semnal parcurge DUT, trecând de asemenea prin rezistorul R1. Joncțiunea comună dintre impedanță de măsurat și rezistor este numită "punct de masă virtual" deoarece impedanța de intrare și câstigul în buclă deschisă al amplificatorului sunt foarte mari. Pentru a acoperi o gamă largă de frecvență, în practică se utilizează, în locul amplificatorului, un detector de nul și un modulator. Rezultatele se citesc pe voltmetru V2. ♦

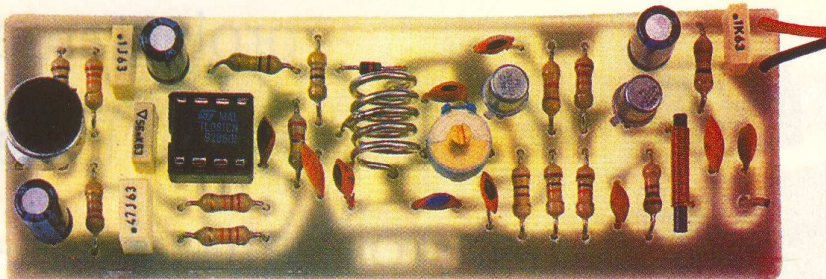
### Bibliografie

- [1] Honda M., "The impedance measurement handbook", Yokogawa-Hewlett-Packard, 1989.
- [2] Nicolau E., Beliș M., "Măsurări electrice și electronice", București, 1984.
- [3] \*\*\*, Internet, site-urile firmelor Hewlett-Packard și Agilent Technologies

# Miniemițător

## FM

### de mică putere



**C**a urmare a interesului mare manifestat de cititori pentru prezentările anterioare, oferim alte aplicații de microfon cu emițător FM pentru banda 88...108MHz, ce poate radio pe o rază de 50...60m.

Schela electrică este simplă și are o bună stabilitate, modulația fiind realizată cu

ajutorul unei diode varicap (de tip BB909).

Etajul oscilator de înaltă frecvență este realizat cu tranzistorul TR1 (tip 2N2222). Modularea în frecvență a acestuia se face cu semnalul audio captat de microfon (MIC 1) și amplificat cu IC1 (tip TL081). Etajul cu tranzistorul TR2 este un preamplificator de semnal de înaltă frecvență - semnal modulat

FM - care "atacă" o antenă de cca. 74cm, realizată din conductor de Cu sau Al. Acordul se realizează din trimerul C9, în paralel pe (C8 + DV1) și C10 - L1.

Bobina L1 se realizează pe un dorn sau burghiu metalic de ø6 și are 5 spire din

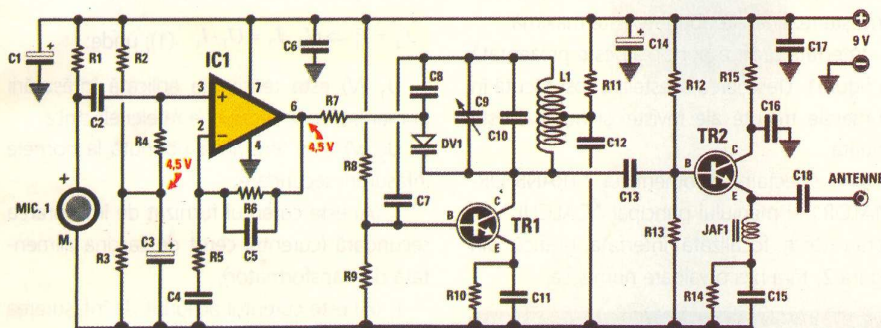


Fig. 1 Schela electrică a miniemițătorului FM

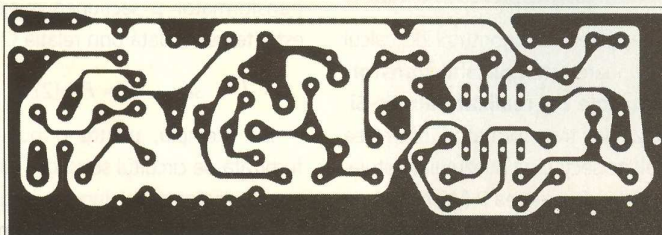


Fig. 3 Cablajul montajului

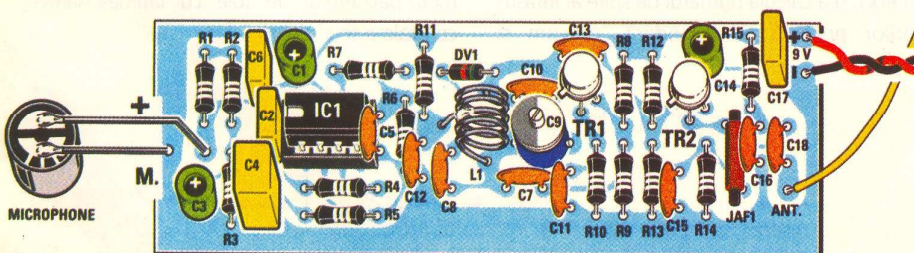


Fig. 4 Amplasarea componentelor la cablaj

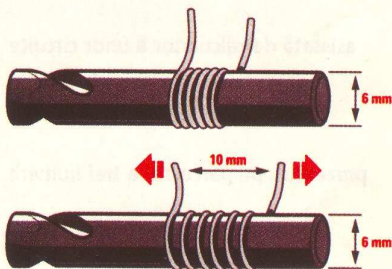


Fig. 2 Realizarea bobinei L1

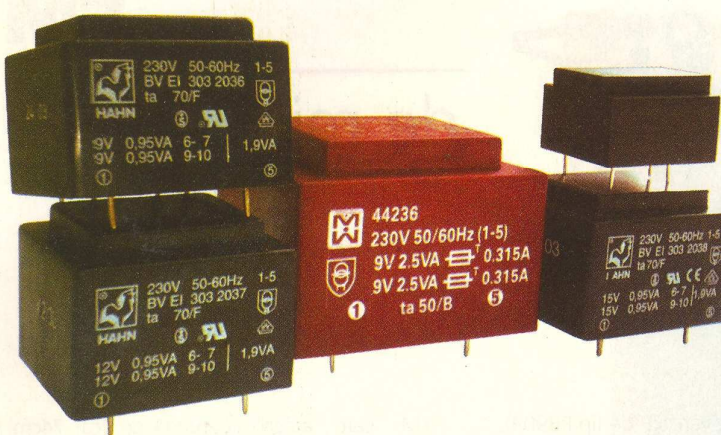
conductor Ag de 1mm. Lungimea acesteia trebuie să fie de 10mm (vezi figura 2) și se face o priză la 2,5 spire.

JAF1 este un soc de radiofrecvență cu 32 de spire din CuEm de 6/10 pe o ferită ø3. Nu este critică.

Alimentarea se face de la o baterie de 9V.

Valorile componentelor din schemă sunt: R1, R9, R13 = 10k; R2...R5, R15 = 22Ω; R6 = 220k; R7, R10, R14 = 100k; R8 = 47k; R11 = 47Ω; R12 = 12k; C1, C3, C14 = 10μ; C2 = 56n; C4 = 470n; C5 = 47p; C6, C17 = 100n; C7 = 33p; C8 = 4p7; C9 = trimer 2-15p; C10 = 8p2; C11, C13 = 22p; C15 = 1n; C18 = 100p; TR1, TR2 = 2N2222; DV1 = BB909; IC1 = TL081; L1 și JAF1 = vezi text.

Prelucrare după Electronique et Loisirs magazine, nr. 49. ♦



**Se încheie prezentarea interfețelor grafice aplicative pentru proiectarea asistată de calculator a unor circuite electronice clasice. Mini-serialul a prezentat, pe parcursul a trei numere de revistă, metode de proiectare pentru circuitele de temporizare cu circuitul integrat 555, stabilizatoarele de tensiune cu diodă Zener și transformatoarele de rețea monofazate și a avut ca scop orientarea cititorilor revistei spre mediul de programare vizuală și grafică Visual Basic dezvăluind prin interfețele grafice prezentate posibilitățile remarcabile ale acestui program.**

# Interfață grafică

## – proiectarea asistată de PC a transformatoarelor – (III)

Leonard Lazăr  
lazarleo@yahoo.com

**S**e prezintă modul de proiectare al unui transformator monofazat de rețea, precum și interfețele grafice de calcul, prin intermediul cărora este redus considerabil timpul de proiectare, iar siguranța în ceea ce privește rezultatele obținute este maximă.

Interfața grafică principală este prezentată în figura 1. Descrierea acesteia a fost făcută în numerele trecute ale revistei și nu mai este reluată.

Prin selectarea submeniuului "TRANSFORMATOR" al meniului principal "CALCUL" pe ecran va fi focalizată interfața grafică din figura 2, fără nici o valoare numerică.

### Elemente de calcul pentru proiectarea unui transformator

Se face precizarea că algoritmul de calcul descris în continuare este **aplicabil transformatoarelor cu tole E+I realizate din Fe-Si**.

A proiectat un transformator de rețea înseamnă să alege secțiunea miezului acestuia,  $S$  ( $\text{cm}^2$ ), în funcție de puterea  $P$  (W) cerută de la secundar (practic în funcție de puterea consumată de sarcina alimentată de transformator), și a calculat numărul de spire al înfășurărilor primară și secundară, precum și

$$P_2 = P_1 \cdot I_2 = U_1 \cdot I_1 \quad (1); \text{ unde:}$$

$U_1$  (V) este tensiunea aplicată înfășurării primare, practic tensiunea rețelei electrice;

$U_2$  (V) este tensiunea obținută la bornele înfășurării secundare;

$I_2$  (A) este curentul furnizat de înfășurarea secundară (curentul cerut de sarcina alimentată de transformator);

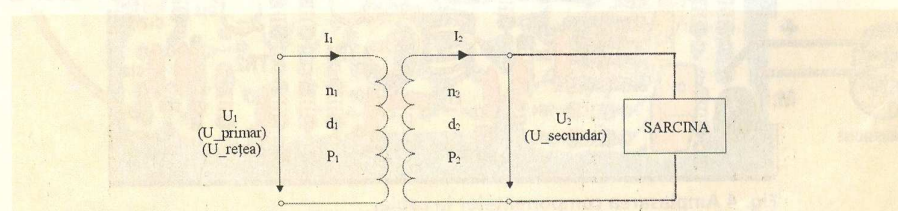
$I_1$  (A) este curentul absorbit de înfășurarea primară de la rețeaua electrică.

Dependența dintre puterea cerută de la transformator și secțiunea miezului acestuia este (teoretic) dată prin relația (2):

$$S = \sqrt{P} \quad \text{sau} \quad S^2 = P \quad (2);$$

De exemplu, pentru o putere de 100W furnizată de circuitul secundar este necesar un transformator cu secțiunea miezului de  $10\text{cm}^2$ .

Reamintim că suprafața miezului unui transformator se calculează înmulțind înălțimea pachetului de tole cu lățimea lamei centrale a tolei de tip E.



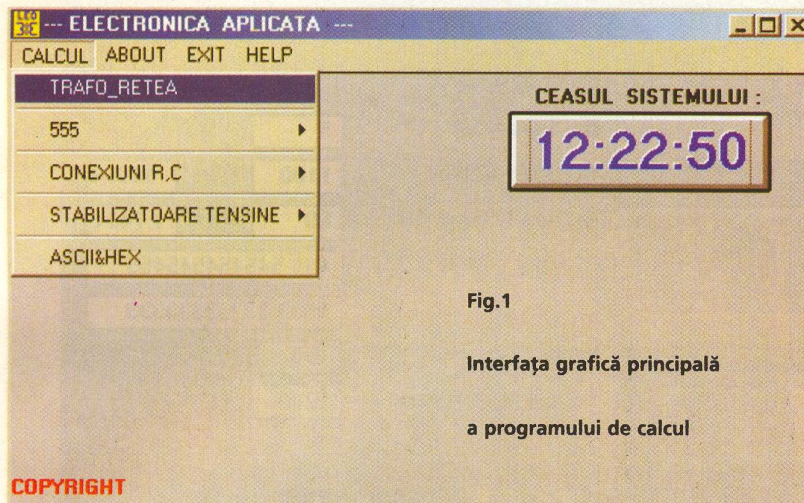


Fig.1

**Interfața grafică principală****a programului de calcul**

Numărul de spire/volt atât pentru înfășurarea primară, cât și pentru cea secundară este dat de relația empirică (3):

$$n = \frac{k}{S} \quad (3);$$

unde  $k$  este o constantă cu valoarea 50.

Numărul de spire al înfășurării primare  $n_1$  va fi calculat prin înmulțirea numărului de spire/volt ( $n$ ) cu valoarea tensiunii aplicate înfășurării primare  $U_1$ :

$$n_1 = n \cdot U_1 \quad (4);$$

Numărul de spire al înfășurării secundare  $n_2$  va fi calculat prin înmulțirea același număr de spire/volt ( $n$ ) cu valoarea tensiunii furnizate de circuitul secundar  $U_2$ :

$$n_2 = n \cdot U_2 \quad (5);$$

**Spre exemplu,** în cazul unui transformator cu secțiunea miezului de  $10\text{cm}^2$ , alimentat cu tensiunea primară  $U_1$  de  $220\text{V}$  și care furni-

zează în secundar tensiunea  $U_2$  de  $12\text{V}$ , rezultă numărul de spire/volt

$$n = \frac{50}{10} = 5$$

numărul de spire al înfășurării primare

$$n_1 = 5 \cdot 220 = 1100$$

și numărul de spire al înfășurării secundare

$$n_2 = 5 \cdot 12 = 60$$

Prin modificarea constantei  $k$  din relația 3 se schimbă anumiți parametri de funcționare ai transformatorului, cu efect imediat asupra temperaturii de funcționare și a duratei de viață a acestuia.

Astfel, alegând pentru constanta  $k$  valoarea 50, transformatorul rezultat va funcționa "rece", aproape de temperatura camerei, durata de viață (în cazul utilizării unor

materiale izolante de bună calitate) fiind estimată la 25...30 de ani.

Pentru  $k = 55\ldots 60$ , transformatorul rezultat este puțin supradimensionat, siguranța în funcționare fiind maximă. Alegerea acestei valori pentru constanta  $k$  se justifică numai pentru aplicații deosebite.

Alegând pentru constanta  $k$  o valoare sub 50, transformatorul rezultat va fi subdimensionat; crește temperatura de funcționare și scade durata de viață, dar se obține o economie de materiale și o scădere a volumului și greutății transformatorului. Alegerea unei astfel de valori pentru constanta  $k$  se recomandă pentru aplicații cu timp de funcționare scurt și care nu rămân nesupravegheate.

De exemplu, în cazul transformatoarelor utilizate în aparatura electronică de larg consum (alimentatoare, aparate de radio, casetofoane) produse de firme neconsacrate și comercializată în România după anii '90 în spații neadecvate (piețe, târguri), constanta  $k$  a fost determinată experimental și are valoarea 33! Temperatura de funcționare a acestor transformatoare crește inadmisibil chiar și la funcționarea în gol (fără sarcină), motiv pentru care sunt prevăzute cu siguranțe fuzibile termice pentru a preveni supraîncălzirea și chiar distrugerea pe considerente termice. Nu trebuie uitat faptul că încălzirea unei componente înseamnă efect Joule, deci putere electrică consumată inutil.

Durata de viață a acestor transformatoare este de numai 1...2 ani sau chiar mai puțin, dependență de timpul de funcționare.

Diametrul conductoarelor de bobinaj (Cu-

Fig. 2

Interfața grafică pentru proiectarea unui transformator de rețea

**CALCUL TRANSFORMATOR RETEA**

**LEGENDA TENSIUNE**

<b>DATE INTRARE</b>		<b>MODE</b>	<b>DATE IESIRE</b>	
U_Primar	: 220	V	Nr. Spire/Volt	: 5 = [k/S]
U_Secundar	: 12	V	Nr. Spire Primar	: 1100 D1= .40664
Sectiune S	: 10	cm <sup>2</sup>	Nr. Spire Secundar	: 60 D2= 1.7411
Densitate J	: 3.5	A/mm <sup>2</sup>	Currentii (mA)	I1= : 454.545454545455
Frecventa	: 50	Hz	I2= : 8333.33333333333	
k/S :	k= : 50		Pmax	: 100 W

**CALCULEAZA**

**EXIT**

**RESET**

**CALCUL DETALIAT**

k/S	: 30/S	33/S	40/S	45/S	50/S	55/S	60/S	65/S	
Nr. Spire/Volt	: 3	3.3	4	4.5	5	5.5	6	6.5	
Nr. Spire Primar	: 660	726	880	990	1100	1210	1320	1430	
Nr. Spire Secundar	: 36	39.6	48	54	60	66	72	78	
Densitatea de curent J :	[A/mm <sup>2</sup> ]	2.5	3	3.5	4	4.5	5	5.5	6
Diametrul (mm) D1= :	.48114	.43922	.40664	.38038	.35862	.34022	.32439	.31058	
Diametrul (mm) D2= :	2.0601	1.8806	1.7411	1.6286	1.5355	1.4567	1.3889	1.3298	

Fig. 3

**Prezentarea calculului detaliat**

Em) se calculează pornind de la densitatea de curent  $J$  ( $A/mm^2$ ) admisibilă. Pentru a evita încălzirea înfășurărilor este preferată o densitate de curent în jurul valoiei de  $3.5A/mm^2$ . O valoare mai mică (benefică din punct de vedere electric) va conduce însă la creșterea volumului înfășurării, riscând ca înfășurarea să nu mai încapă pe carcasa de bobinaj.

$$J = \frac{I}{S_c} = \frac{I}{\frac{\pi \cdot d^2}{4}} = \frac{4 \cdot I}{\pi \cdot d^2} = \\ = 3.5 A/mm^2 \Rightarrow d = 0.6 \cdot \sqrt{I}$$

unde

$I$  este curentul prin înfășurare;

$S_c$  este aria secțiunii conductorului de bobinaj;

$d$  este diametrul conductorului.

Cunosând puterea  $P$  a transformatorului și tensiunile primară și secundară  $U_1$  și  $U_2$ , cu relația (1) se determină curentii prin înfășurări:

$$P = U_1 \cdot I_1 \Rightarrow I_1 = \frac{P}{U_1};$$

$$P = U_2 \cdot I_2 \Rightarrow I_2 = \frac{P}{U_2};$$

Diametrul conductoarelor va fi:

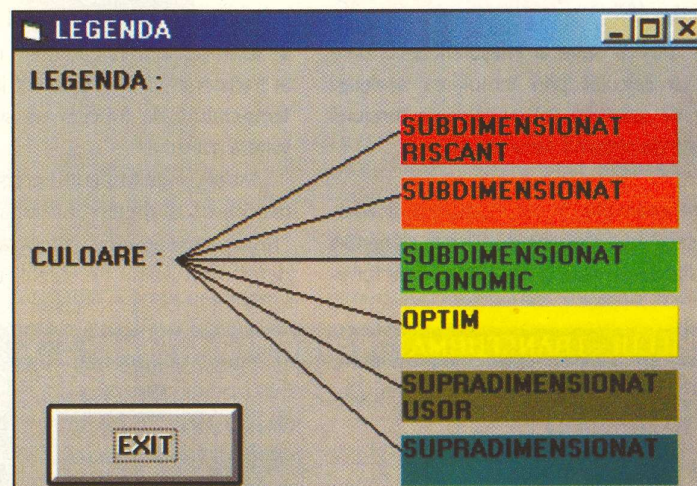


Fig. 4

**Semnificația culorilor pentru etichetele valorilor k/S și J**

calculator.

Utilizatorul introduce "Datele de Intrare" cerute de program: tensiunea primară și secundară (U\_Primar, U\_Secundar), secțiunea miezului transformatorului (S), densitatea de curent dorită pentru calculul diametrelor conductorilor de bobinaj (J) și constanta k pentru determinarea numărului de spire/volt. După introducerea unei valori este suficientă apăsarea tastei "ENTER" a tastaturii și

**Utilizarea interfeței grafice**

Prin intermediul interfeței grafice din figura 2, toate calculele prezentate sunt realizate de

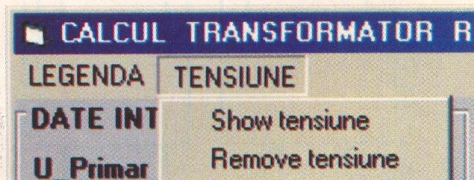
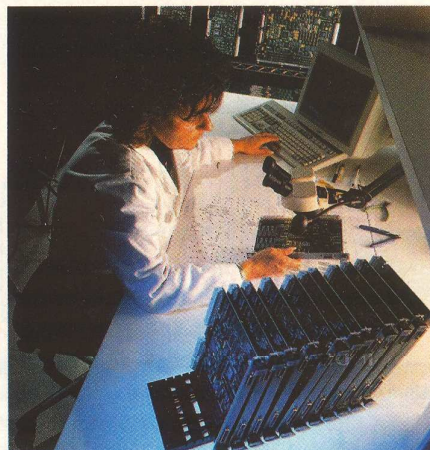


Fig. 5

Desfășurarea meniului  
"Tensiune"



următoarea dată care trebuie introdusă se va focaliza automat. Prin apăsarea butonului etichetat "CALCULEAZĂ" se obțin "Datele de ieșire": numărul de spire/volt (n), numerele de spire ale înfășurărilor primară și secundară și diametrul conductorelor de bobinaj ( $D_1$ ,  $D_2$ ), puterea maximă oferită de transformator ( $P_{max}$ ) și curentii prin înfășurări ( $I_1$ ,  $I_2$ ) corespunzători puterii maxime.

Prin selectarea modului de calcul "Calcul Detaliat", interfața grafică își mărește dimensiunile (figura 3), în partea de jos fiind prezentate valorile obținute pentru numărul de spire al înfășurărilor primară și secundară pentru diferite valori ale constantei k (30 ... 60), precum și valorile obținute pentru diametrele conductorelor de bobinaj pentru diferite valori ale densității de curent J (2,5 ... 6 A/mm<sup>2</sup>).

După cum se poate observa, etichetele în care sunt trecute valorile constantei k (k/S) și densității de curent (J) sunt colorate diferit, într-un spectru ce pleacă de la roșu și se termină la verde.

Deși culorile sunt intuitive, semnificația acestora este dată în figura 4.

Utilizatorul poate activa această fereastră prin meniul "LEGENDĂ" al formei de lucru din figura 3.

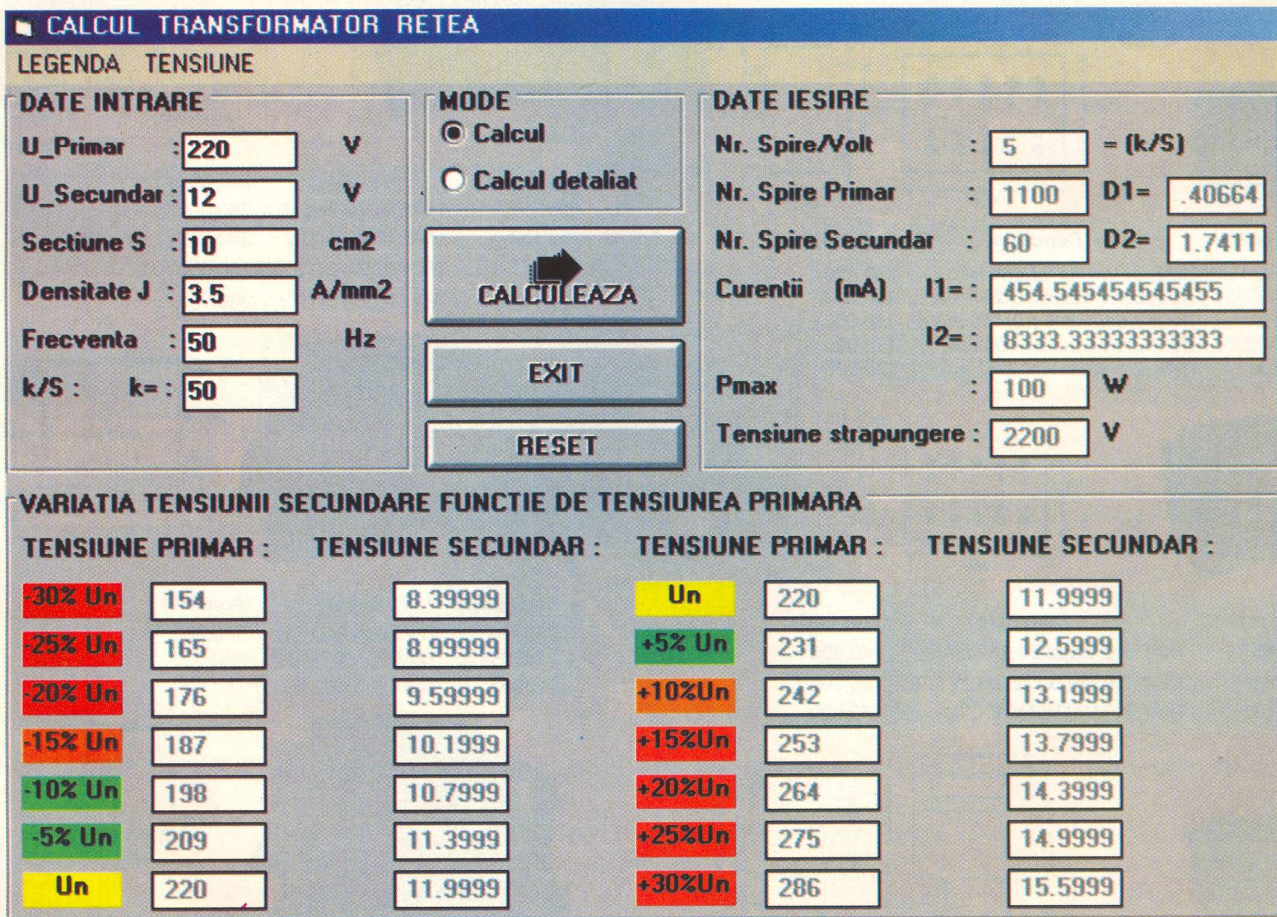
În figura 5 este prezentată desfășurarea meniului "Tensiune".

Prin selectarea submeniului "Show Tensiune" interfața grafică se va modifica (figura 6), în partea de jos fiind prezentată variația tensiunii secundare în funcție de cea primară. Eliminarea acestui calcul din interfața grafică se face prin selectarea submeniului "Remove Tensiune".

Controlul "RESET" sterge toate valorile numerice introduse de utilizator sau calculate, interfața grafică fiind pregătită pentru introducerea unui nou set de valori.

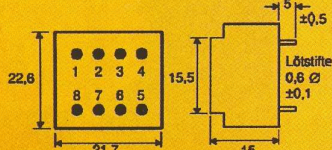
Prin controlul "EXIT" se revine la interfața grafică principală prezentată în figura 1.

Programul prezentat este gratuit și poate fi obținut prin cerere la adresa de e-mail [productie@conexclub.ro](mailto:productie@conexclub.ro). ♦

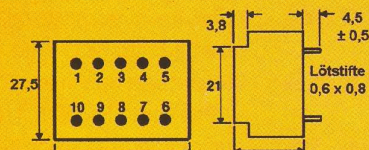


Prezentarea variației tensiunii secundare în funcție de tensiunea primară

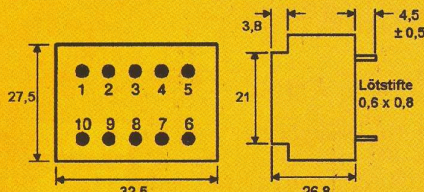
# TRANSFORMATOARE CAPSULATE



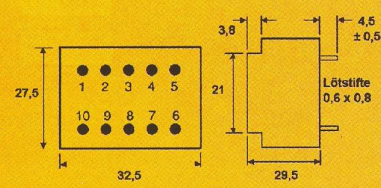
Cod articol	Denumire	Pret (lei)
13040	TRAF. 0.35 VA 1x9V 39 mA	110,000
11828	TRAF. 0.35 VA 2x12V 2x15mA	110,000
11826	TRAF. 0.35 VA 2x6V 2x29mA	110,000
11827	TRAF. 0.35 VA 2x9V 2x19mA	110,000



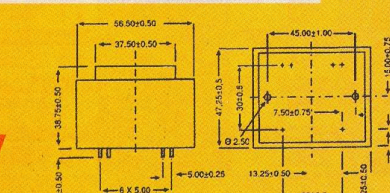
Cod articol	Denumire	Pret (lei)
1611	TRAF. 1.9 VA/1x18V 105 mA	110,000
7347	TRAF. 1.9 VA/2x 6V 2x158 mA	110,000
5654	TRAF. 1.9 VA/2x 7.5V 2x120 mA	110,000
7348	TRAF. 1.9 VA/2x 9V 2x105 mA	110,000
7345	TRAF. 1.9 VA/2x12V 2x79 mA	110,000
7346	TRAF. 1.9 VA/2x15V 2x63 mA	110,000



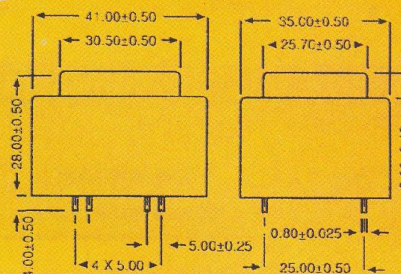
Cod articol	Denumire	Pret (lei)
7357	TRAF. 2.6 VA/1x 9V 289 mA	130,000
7360	TRAF. 2.6 VA/2x 6V 2x217 mA	130,000
7361	TRAF. 2.6 VA/2x 9V 2x145 mA	130,000
7358	TRAF. 2.6 VA/2x12V 108 mA	130,000
7359	TRAF. 2.6 VA/2x15V 2x87 mA	130,000



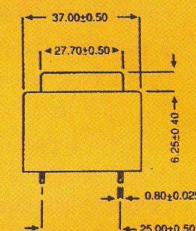
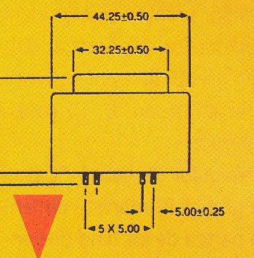
Cod articol	Denumire	Pret (lei)
7365	TRAF. 3.0 VA/2x 9V 167 mA	140,000
7362	TRAF. 3.0 VA/2x12V 2x125 mA	140,000
7363	TRAF. 3.0 VA/2x15V 100 mA	140,000



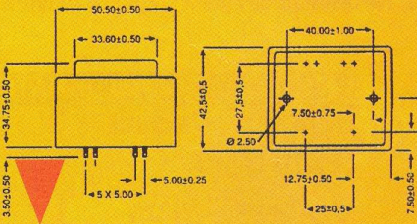
Cod articol	Denumire	Pret (lei)
7355	TRAF.16 VA/2x 6 V	330,000
7356	TRAF.16 VA/2x 9 V	330,000
7353	TRAF.16 VA/2x12 V	330,000
7354	TRAF.16 VA/2x15 V	330,000



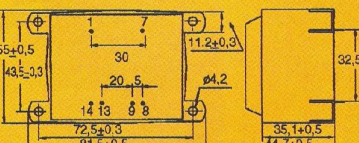
Cod articol	Denumire	Pret (lei)
7368	TRAF. 3.2 VA/1x 12V	160,000
7369	TRAF. 3.2 VA/2x 9V	160,000
7366	TRAF. 3.2 VA/2x12V	160,000
7367	TRAF. 3.2 VA/2x15V	160,000



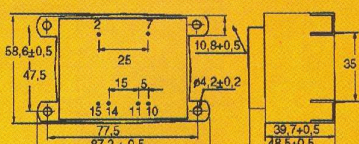
Cod articol	Denumire	Pret (lei)
7372	TRAF. 5 VA/2x 6 V	190,000
7373	TRAF. 5 VA/2x 9 V	190,000
7370	TRAF. 5 VA/2x12 V	190,000
7371	TRAF. 5 VA/2x15 V	190,000



Cod articol	Denumire	Pret (lei)
7351	TRAF.10 VA/2x 6 V	280,000
7352	TRAF.10 VA/2x 9 V	280,000
7349	TRAF.10 VA/2x12 V	280,000
7350	TRAF.10 VA/2x15 V	280,000



Cod articol	Denumire	Pret (lei)
14396	TRAF.20 VA/2x 9V	360,000
14395	TRAF.20 VA/2x12V	360,000
14394	TRAF.20 VA/2x15V	360,000



Cod articol	Denumire	Pret (lei)
14397	TRAF.30 VA/2x 9V	410,000
14398	TRAF.30 VA/2x12V	410,000
14399	TRAF.30 VA/2x15V	410,000

# Regulatoare integrate de tensiune fixă

Croif V. Constantin  
redactie@conexclub.ro

**Utilizând regulatoarele din seria 78xx sau 79xx se pot construi, practic, cele mai simple stabilizatoare liniare de tensiune pozitivă sau negativă.**

**Tentația electroniștilor de a folosi regulatoarele de tensiune fixă în cadrul surselor de alimentare este mare ca urmăre a ușurinței și costului rezonabil de achiziție.**

**Se prezintă câteva recomandări și scheme de aplicație, cu scopul de a familiariza cititorii cu modul corect de utilizare.**

**M**odul de conectare în circuit al regulatorului integrat este prezentat schematic în figura 1. La pinul de intrare - IN, față de masă, se aplică tensiune continuă, nestabilizată a cărui vârf maxim nu trebuie să depășească valoarea maxim admisă în catalog. Tensiunea la pinul de ieșire - OUT este determinată de circuitele interne ale integratului, funcție de model fiind de 5, 6, 8, 10, 12, 15, 24V (corespunzând tipurilor 7805, 7806...7824) sau în varianta "fracționată", de exemplu 6,2V (pentru 7862) sau 8,5V (7885). Regulatoarele din seria 79xx oferă tensiune negativă față de potențialul de referință (pinul GND) fiind în rest similară, din punct de vedere funcțional, cu cele din seria 78xx.

Din punct de vedere al prezentării exterioare cele două serii sunt încapsulate în capsule TO220 sau T03, însă amplasarea pinilor IN și GND este diferită.

Regulatoarele pozitive din seria 78xx au dispunerea pinilor ca în figura 2, iar regulatoarele negative, seria 79xx, așa cum este prezentat în figura 3.

Currentul maxim suportat este determinat de tipul regulatorului, astfel: maxim 1A pentru seria 78xx/79xx, 0,5A pentru 78Mxx/79Mxx, 0,1A pentru 78Lxx/79Lxx,

5A pentru 78Hxx/79Hxx și 10A pentru 78Pxx/79Pxx.

Teoretic, aceste regulatoare sunt practic indistructibile, curentul oferit la ieșire fiind limitat intermitent la o valoare maximă limitată, atunci când apare un consum exagerat în sarcină, astfel încât temperatura pe cip nu depășește valoarea critică.

În figura 4 este prezentată schema de aplicație: se remarcă simplitatea sa, pentru o funcționare normală fiind suficiente doar două capacitați: C1 și C2.

Capacitatea C1 este indispensabilă funcționării, recomandându-se montarea ei nu mai departe de 5cm de regulatorul integrat, servind la filtrarea tensiunii de alimentare și la evitarea intrării în oscilație a sursei.

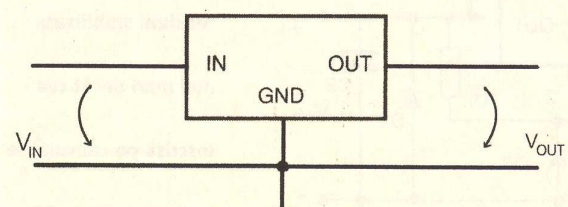
Pentru rigurozitate, în locul lui C1 se montează în paralel un condensator ceramic de 220nF, unul electrolitic cu tantal cu valoarea de 2µF și un condensator electrolitic cu aluminiu de 10µF.

În aplicațiile curente însă, se consideră suficient montarea pentru C1 a unui condensator cu tantal, iar pentru C2 a unui ceramic.

Regulatoarele integrate de tensiune prezentate sunt sensibile la apariția la ieșire



**CNX113**



**Fig. 1**

**Modul de conectare în circuit al regulatoarelor integrate din seria 78xx (79xx).**

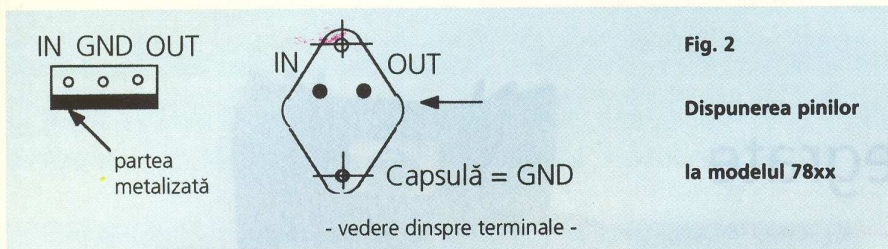


Fig. 2

Disponerea pinilor  
la modelul 78xx

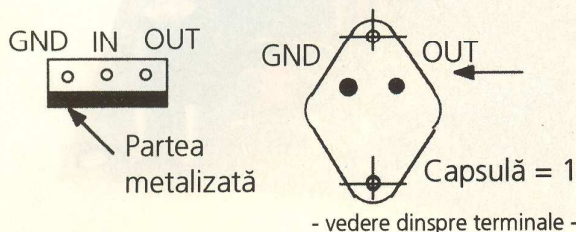


Fig. 3

Disponerea pinilor  
la modelul 79xx

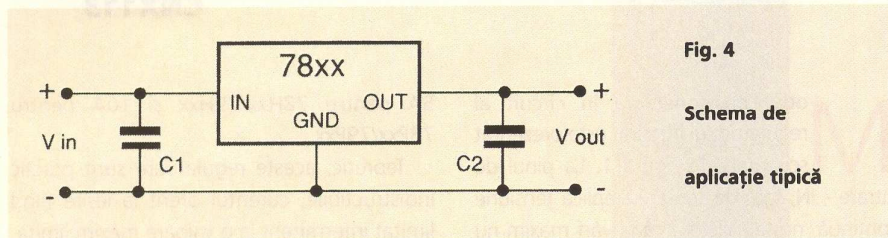


Fig. 4

Schema de  
aplicatie tipica

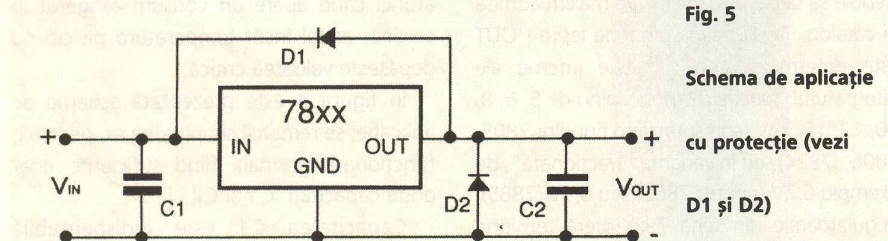


Fig. 5

Schema de aplicatie  
cu protectie (vezi  
D1 și D2)

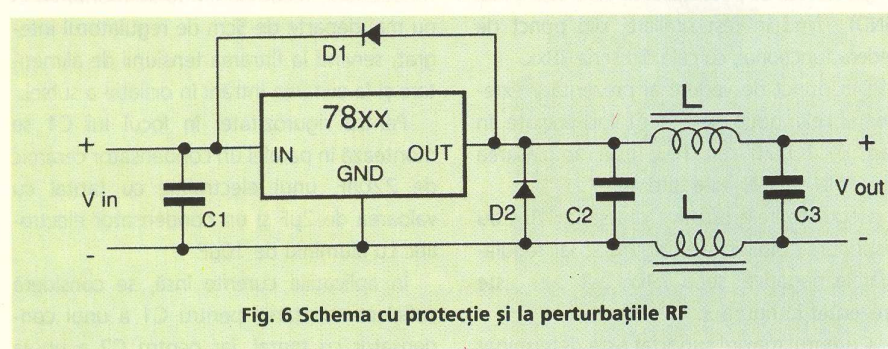


Fig. 6 Schema cu protectie si la perturbariile RF

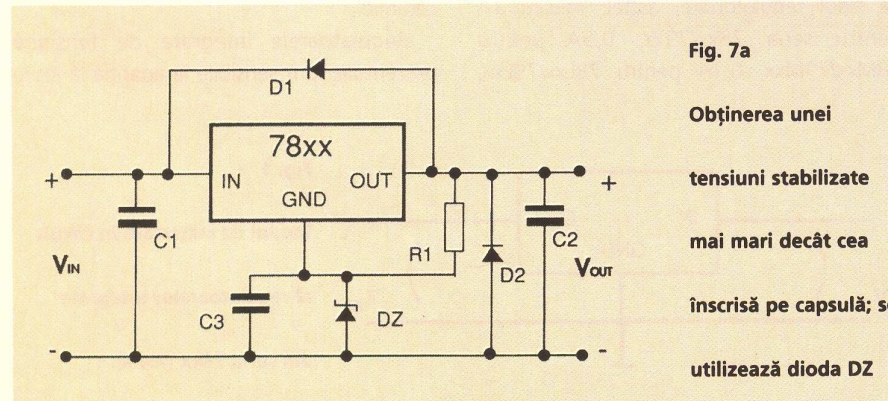


Fig. 7a

Obtinerea unei  
tensiuni stabilizate  
mai mari decat cea  
inscrisa pe capsula; se  
utilizeaza dioda DZ

a valorilor de tensiune mai mari decât cele de la intrare. Această situație accidentală apare, de exemplu, la deconectarea alimentării, atunci când este posibilă descărcarea mei lentă a condensatorului C2 decât a condensatorului C1. Pentru a evita defecarea regulatorului se montează dioda D1, ca în figura 5, care intră în conducție când tensiunea pe C2 este mai mare decât cea de pe C1. Dioda D2 evită distrugerea circuitului integrat la aplicarea de tensiuni inverse pe ieșire.

Însă, regulatoarele integrate sunt sensibile și la perturbațiile electromagneticice existente, de exemplu, în multe stații de emisie-recepție; în acest caz se va monta în serie pe fiecare braț al circuitului de ieșire o inductanță (figura 6) realizată din câteva spire bobinate cu Ø1mm pe un tor de RF.

Sunt situații când se dispune de un regulator de o anumită tensiune și se dorește obținerea unei tensiuni stabilizate la ieșire mai mari, cum ar fi de exemplu obținerea unui stabilizator de +12V cu un regulator 7805. O soluție este prezentată în figura 7a, unde între masă și pinul GND al regulatorului s-a intercalat dioda Zener DZ; tensiunea la ieșire va fi:  $V_{DZ} + V_{OUT}$ , unde  $V_{OUT}$  este tensiunea de ieșire fixă a regulatorului. Dioda Zener este de 0,25...0,4W, iar R1 se calculează conform relației următoare:

$$R_1 = \frac{V_{OUT}}{I_{ZT} - I_q}$$

unde  $I_{ZT}$  este curentul pentru care dioda Zener intră în zona de stabilizare (cca. 10mA) și  $I_q$  este curentul de polarizare al regulatorului (Bias Current) (cca. 4,5mA tipic). Valoarea lui C3 este cuprinsă între 470...1000μF, el având rolul de a elimina riplul și zgomotul prezent pe catodul diodei Zener. De exemplu, ca artificiu, în locul diodei Zener se poate monta un LED care va avea și rolul de indicator optic. Este cunoscut faptul că LED-ul are o caracteristică curent-tensiune, în cadrul I, la fel ca o diodă Zener. Tensiunea stabilizată la bornele unui LED roșu este de 1,5...1,8V, la unul galben de cca 2V, iar la unul verde de cca. 2,2V.

În figura 7b se dă o schemă la care se poate obține modificarea valorii tensiunii de la ieșire conform formulei:

$$V_{IEP} = V_{OUT} \left(1 + \frac{R_2}{R_1}\right) + I_q \times R_2$$

cu  $V_{OUT}$  - valoarea înscrisă pe capsulă.

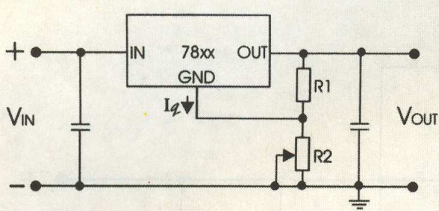


Fig. 7b

**Modificarea tensiunii de ieșire**

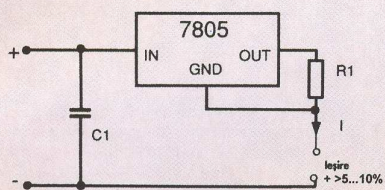


Fig. 8

**Generator de curent constant**

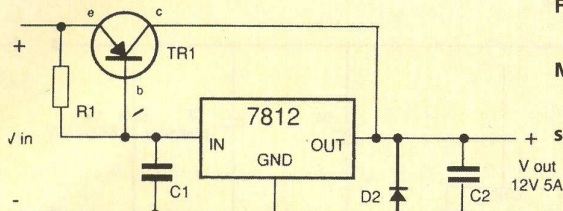


Fig. 9

**Mărirea curentului furnizat sarcinii (vezi text).**

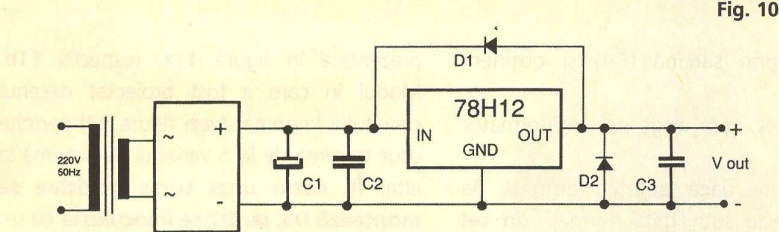


Fig. 10

În figura 8 este prezentat cum se poate obține un generator de curent constant cu ajutorul unui regulator de tensiune. Curentul are valoarea:

$$I = (V_{ref} / R_1) + I_Q$$

unde **\$V\_{ref}\$ este tensiunea de referință a regulatorului (cca 1,25V)**. Tensiunea la intrare trebuie să fie mai mică de 20V.

Pentru a mări curentul furnizat în sarcină se utilizează schema din figura 9 care oferă la ieșire 12V/5A. TR1 este un tranzistor PNP (NPN pentru seria 79xx), iar \$R\_1\$ este de \$2\Omega/2W\$. Funcționează în felul următor: pentru un curent de ieșire de cca. 350mA funcționează numai 7812 și tranzistorul TR1 este blocat; pentru un curent de ieșire ce

depășește 350mA căderea de tensiune pe \$R\_1\$ este mai mare de 700mV și tranzistorul intră în conducție. Curentul de colector al tranzistorului TR1 se însumează celui oferit de regulator la pinul OUT rezultând în final curentul necesar în sarcină.

**Atenție!** Cu acest circuit de suplimentare al curentului vehiculat prin sarcină se pierde protecția la supracurent tipică regula-toarelor liniare de tensiune cu trei terminale. Pentru o diferență de tensiune între pinii IN și OUT mai mică de 0,6V circuitul integrat trebuie să intre în oscilație.

În continuare, prezentăm pe un exemplu concret cum se proiectează un alimentator stabilizat cu regula-toare integrate seria 78xx/79xx. Presupunem

că avem nevoie de o sursă stabilizată cu tensiunea de 12V la un curent de maxim 5A. În figura 10 este prezentată schema electrică a acestuia.

Vom determina tensiunea necesară oferită de secundarul transformatorului de alimentare, astfel: pentru o tensiune la ieșire de 12V regulatorul integrat necesită, pentru a funcționa bine, o diferență intrare-ieșire de minim 3V; la aceasta se mai adaugă 1V pentru a acoperi eventualul riplu care poate apărea și 2V care reprezintă căderea de tensiune pe cele două diode din puntea redresoare, aflate simultan în conducție și în plus alți 2V pentru a acoperi căderea de tensiune pe înfășurările transformatorului (optim). În concluzie, avem nevoie de un transformator care să furnizeze în secundar o tensiune a cărei amplitudine să fie de \$12+3+1+2+2 = 20V\$.

La aceasta vom adăuga o fluctuație de maxim 10% a tensiunii de alimentare și obținem 22V. La o tensiune de vârf de 22V corespunde 15,6V valoare efectivă. Vom alege un transformator ușor care oferă în secundar 16V tensiune efectivă.

Trebuie avut în vedere faptul că regulatorul 78H12 permite o tensiune de intrare de maximum 27V. Alegând un transformator cu 16V în secundar și considerând o fluctuație accidentală de ±20% avem la ieșirea acestuia: \$16\sqrt{2} \cdot 1,2 = 27V\$ și remarcăm că alegerea este bună.

Pentru filtrarea corectă a acestei tensiuni redresate, vom alege o valoare pentru \$C\_1\$ adecvată. O regulă empirică spune că \$3000\mu F\$ pe 1A este suficient.

O altă regulă, mai precisă, este: elementul de filtraj "vede" o rezistență dinamică (\$R\_d\$) egală cu raportul diferenței (\$V\_{IN} - V\_{OUT}\$) și al curentului de ieșire (\$I\_{OUT}\$), în cazul nostru: \$3V/5A = 0,6\Omega\$; riplul admisibil al tensiunii este o treime din această diferență, iar valoarea lui \$C\_1\$ rezultă din:

$$C_1 = \frac{1}{2\pi f_{riplu} X_c} = 7500\mu F$$

unde \$f\_{riplu} = 100Hz\$ și \$X\_c = R\_d/3 = 0,2\Omega\$.

Cum condensatoarele electrolitice au o toleranță de +100%...-50% se va alege \$C\_1\$ la valoarea de \$15\ 000\mu F\$, atunci când nu se dipune de un capacimetru sau punte de măsură.

Rămâne de calculat puterea apparentă a transformatorului de alimentare. Considerăm valoarea amplitudinii maxim posibil admisă a tensiunii (27V) și curentul maxim

Fig. 11a

Schemă de regulator

de tensiune fixă

pozitivă, realizată de

Conex Electronic

(CNX113)

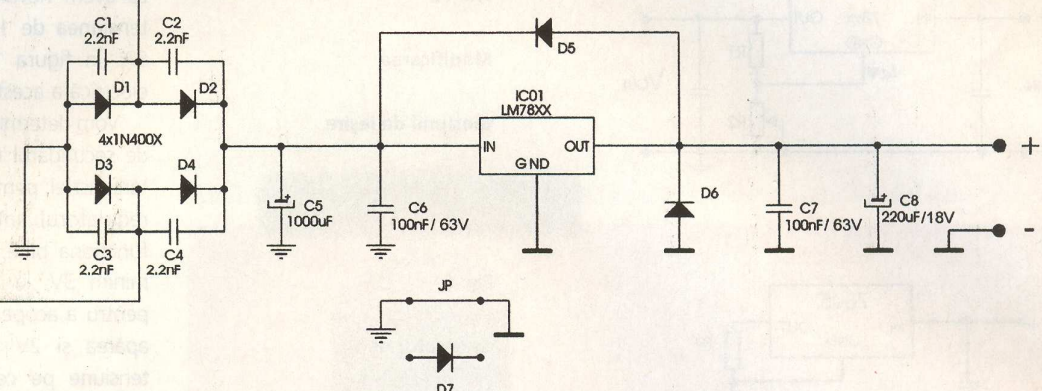


Fig. 11b

Schemă de regulator

de tensiune fixă

negativă, realizată de

Conex Electronic

(CNX113)

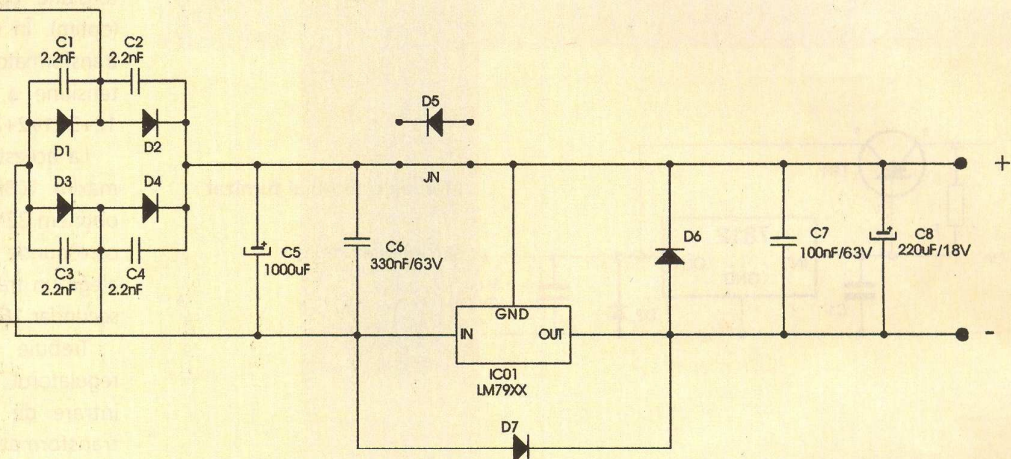


Fig. 12 Circuitul imprimat - CNX113

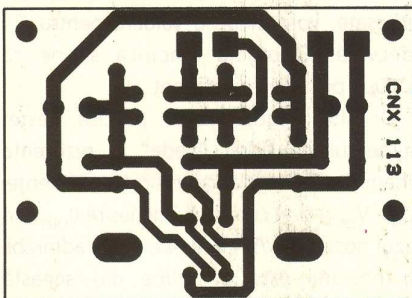
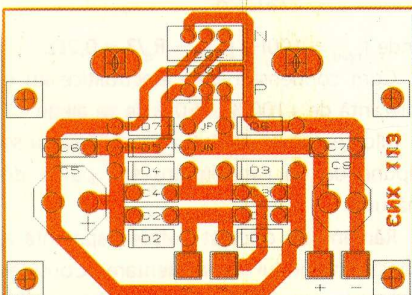


Fig. 13 Amplasarea componentelor



vehiculat prin sarcină (5A) și obținem 135VA.

Acoperitor, vom alege un transformator de 150VA.

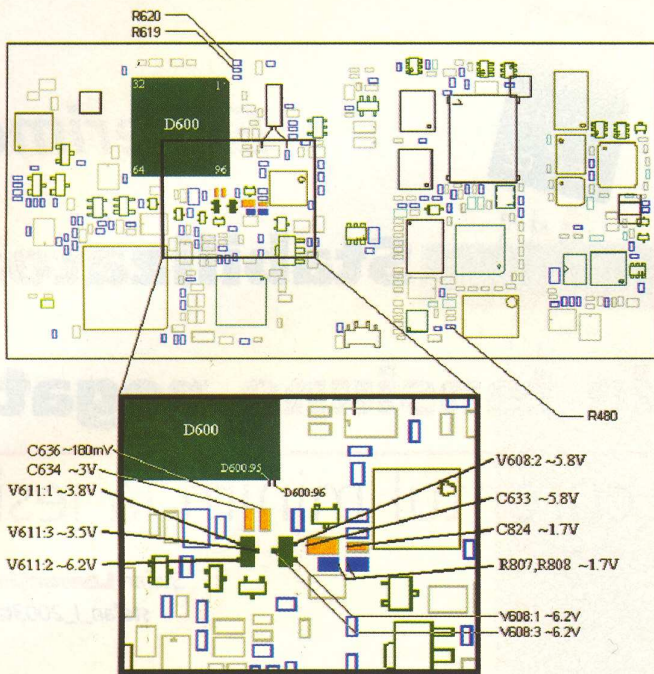
Să vedem dacă puterea disipată de regulator este sub limita normală (**în cel mai defavorabil caz**). La curent maxim de 5A oferit sarcinii vom avea:  $(V_{IN} - V_{OUT}) / I_{OUTMAX} = (22-12) 5 = 50W$ . Este acceptabil, puterea maxim disipată la funcționare normală a regulatorului 78H12 fiind 50W. Peste această valoare regulatorul intră în regim intermitent de funcționare. Celelalte componente ale schemei se aleg conform celor prezentate mai sus. Pentru a mări considerabil puterea disipată a regulatorului integrat îl vom monta pe un radiator de aluminiu.

**În încheiere prezintăm o aplicație practică a regulațoarelor de tensiune pozitivă sau negativă, și anume, o sursă de tensiune stabilizată de +9V cu valoare, funcție de circuitul integrat utilizat. Schema electrică de principiu a acesteia este**

prezentată în figura 11a, respectiv 11b. Modul în care a fost proiectat desenul circuitului imprimat (vezi figura 12) permite ușor trecerea de la o variantă de schemă la alta. **În cazul unei surse pozitive se montează D5, iar D7 se înlocuiește cu un strap.** Dacă se utilizează 79xx (sursă negativă) se montează D7 și se înlocuiește D5 cu un strap.

Se recomandă ca tensiunea de alimentare să fie aleasă astfel încât căderea de tensiune pe circuitul integrat (între pinii IN și OUT) să fie de aproximativ 4V; pentru căderi de tensiune mai mari este necesară mărirea corespunzătoare a suprafeței radiatorului. Circuitul integrat 78xx se montează pe cablaj în locul însemnat IC01 (sau P), respectiv 79xx se montează pe cablaj în locu însemnat IC02 (sau N).

Subliniem faptul că desenul circuitului imprimat permite utilizarea sa la oricare din sursele stabilizate realizate cu regulațoare din seria 78xx sau 79xx.



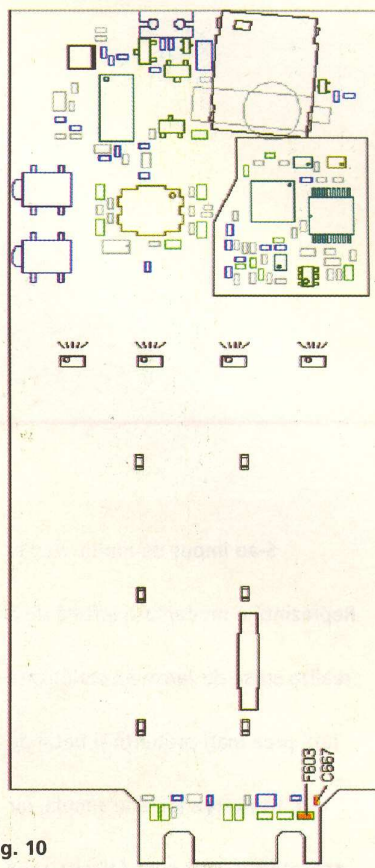
**Fig. 9 Explicativă pentru rezolvarea defectelor de display**

#### urmare din pagina 9

software și a fost rezolvat prin rescrierea memoriei program cu ajutorul unui program tip "flasher" (utilizând un fișier de pe Internet cu extensia .r5a).

### Defecte ale sistemului de încărcare a acumulatorului

Încărcarea acumulatorului se face pe la conectorul extern, la pinul DCIO, cu 7,6V/700mA. Verificarea funcției de încărcare se face realizând un sistem de măsurare - sursă de tensiune c.c. cu parametrii de mai sus (limitare de current la 700mA) și un voltmetru/ampermetru electronic. Fără baterie montată, telefonul trebuie să consume normal cca. 20mA. Cu o baterie conectată și telefon pornit, ampermetrul trebuie să indice



**Fig. 10**

### Identificarea defectelor de încărcare a acumulatorului

o variație de la 700mA la aproximativ 0mA, într-un interval foarte scurt. În această situație funcția de încărcare operează normal.

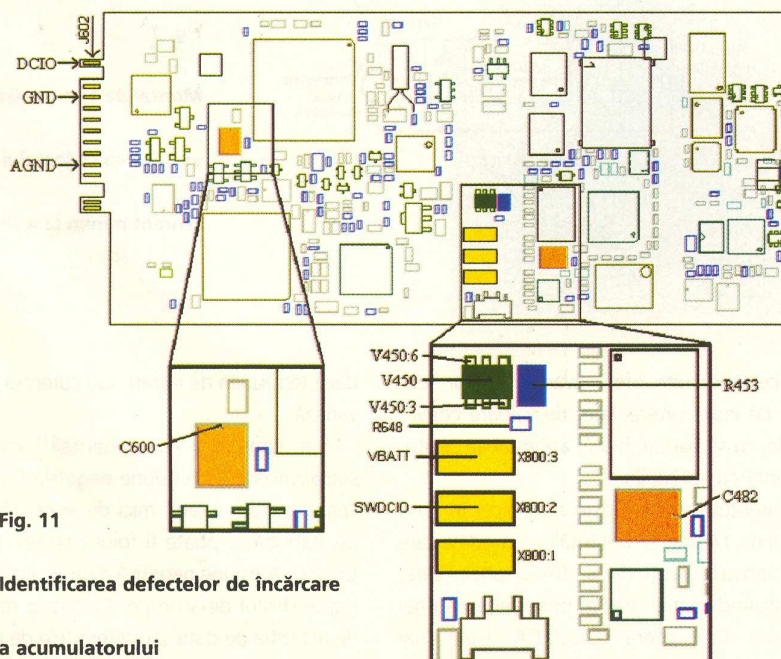
#### Telefonul nu încarcă acumulatorul

În primul rând, se verifică dacă conectorul nu este murdar, iar telefonul nu prezintă lichide pe cablaj.

Se va măsura rezistența F603 (figura 10) care trebuie să aibă mai mult de 200kΩ. Pentru o valoare mai mică se înlocuiește împreună cu C667. Se verifică continuitatea între pinii GND și AGND ai conectorului J602, deoarece poate fi o intrerupere în cablaj.

Rezistența electrică între pinul 1 al V450 și pinul 3 al lui X800 trebuie să fie mai mică de 1kΩ, iar pentru o valoare mai mare se înlocuiesc R453 și R648.

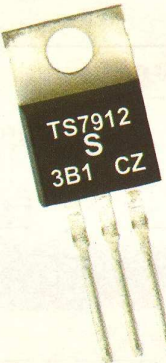
V450 este defectă dacă rezistența între pad-ul DCIO și pinul 3 al lui X800 (VBATT, conectorul de baterie) este mai mică de 10kΩ. ♦



**Fig. 11**

### Identificarea defectelor de încărcare

#### a acumulatorului



## Experiment:

# Stabilizatoare de tensiune negativă

## - curentul minim la ieșire -

S-au impus de multă vreme.

Reprezintă o modalitate ieftină de a

realiza surse de tensiune stabilizată

fără prea mari pretenții și bătăi de

cap. Utilizarea lor este simplă, iar

aplicațiile în care sunt folosite sunt

numeroase. Totuși, nu întotdeauna

rezultatele sunt cele așteptate, mai

ales cînd se ignoră specificațiile din

catalog. Inspirat de un articol de pe

Internet [1], pus la dispoziție de

redacția Conex Club, acest material are

rolul de a îndemna la prudență: unele

stabilizatoare de tensiune

negativă, de la anumiți producători,

nu stabilizează la curenti mici de

ieșire. Rezultatul - o supratensiune

care poate avea cele mai neplăcute

consecințe. Deci, atenție la ce fel de

circuit 79xx se utilizează!

**S**tabilizatoarele monolitice de tensiune fixă, liniare, "în trei puncte", fac parte din generația a doua de circuite integrate stabilizatoare de tensiune. Termenul "în trei puncte" se referă la modul de conectare. Circuitul dispune de trei terminale: un terminal la care se aplică tensiunea nestabilizată, de intrare, un terminal comun intrării și ieșirii și terminalul de la care se poate obține tensiunea stabilizată de ieșire.

stabiliizatoarele de tensiune fixă se pot întâlni și în capsulele TO3, TO66, TO92 sau diverse capsule SMD<sup>[2]</sup>.

Circuitele amintite sunt disponibile atât ca stabilizatoare de tensiune pozitivă, cât și pentru tensiune negativă. Pentru cele din urmă domeniul tensiunilor de ieșire este mai redus, dar acoperă majoritatea aplicațiilor.

Un stabilizator de tensiune trebuie să mențină tensiunea de ieșire constantă chiar

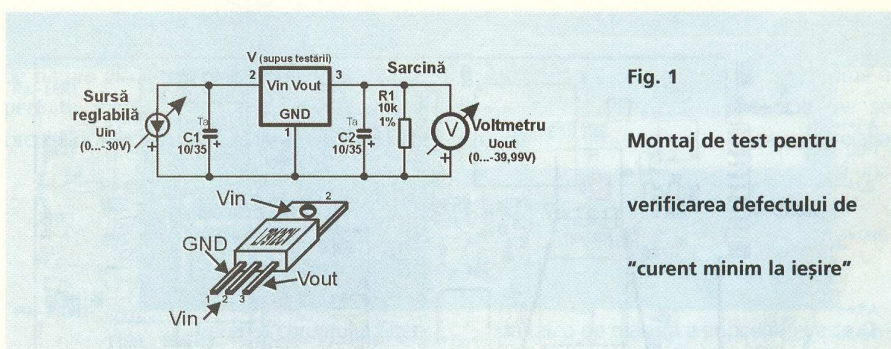


Fig. 1

Montaj de test pentru

verificarea defectului de

"curent minim la ieșire"

Acste circuite oferă avantajul unor tensiuni de ieșire pre-reglate, de valoare convenabilă, cu stabilizare bună, acceptabilă pentru majoritatea aplicațiilor.

Curentul de ieșire este de obicei în jurul valorii de 1A, dar se pot întâlni și modele care pot debita curenti de 3...5A și altele care, optimizând spațiul ocupat prin utilizarea unei capsule mici, oferă 0,1...0,5A. Cele mai uzuale circuite folosesc capsula TO220, dar

dacă tensiunea de intrare sau curentul debită variază.

S-a constatat experimental<sup>[1]</sup> că unele stabilizatoare de tensiune negativă nu stabilizează pentru curenti mici de ieșire. Un astfel de stabilizator poate fi folosit pentru alimentarea cu tensiune negativă a unor circuite analogice destul de scumpe. Circuitele moderne de achiziție de date sau referințele de precizie sunt realizate acum astfel încât să aibă un

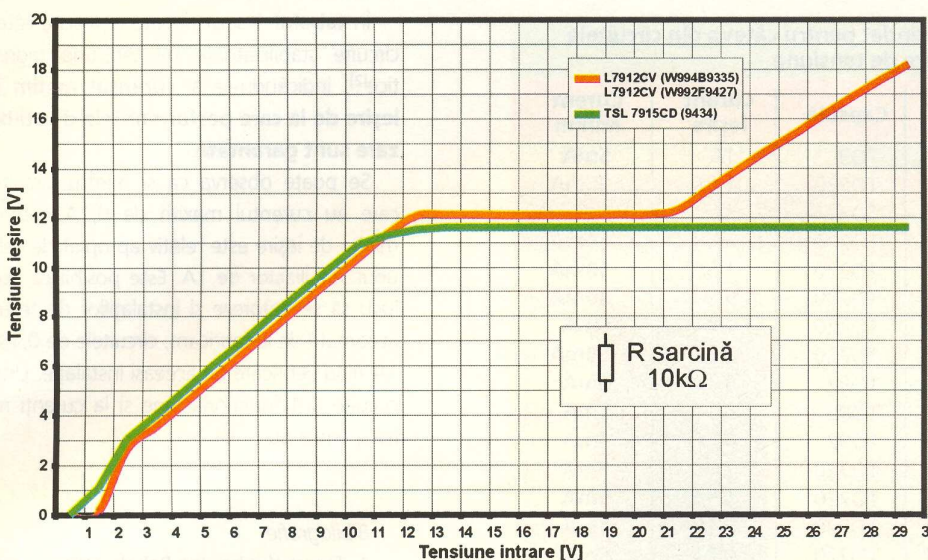


Fig. 2

Graficul tensiunii de ieșire

funcție de valoarea

tensiunii de la intrare, trasat

pentru diferite modele din

seria 7912 de la doi fabricanți

consum cât mai scăzut, deci nu este de mirare ca unii utilizatori să nu solicite mai mult de 50 $\mu$ A...1mA din sursa de tensiune negativă. Dacă aparatul respectiv este alimentat de la rețea, utilizarea transformatoarelor capsule, de mică putere este deosebit de tentantă. Acestea, la puteri totale de 1,9VA pot avea rezistență internă destul de mare astfel încât în gol sau la curenți mici pot debita în secundar o tensiune de două ori mai mare decât cea nominală.

Să ne imaginăm cazul în care avem nevoie pentru alimentarea unui circuit integrat de o tensiune stabilizată de -5V la un curent de 500 $\mu$ A și utilizăm un stabilizator monolitic

obișnuit, din seria 7905. Circuitele integrate care utilizează tensiunea de alimentare de 5V nu suportă tensiuni de alimentare mai mari de 7-8V. Chiar dacă circuitul nu se distrugă imediat, fiabilitatea sa pe termen lung este compromisă. Alimentând stabilizatorul de la secundarul unui transformator cu tensiunea nominală de 9V, putem avea o tensiune de intrare în stabilizator de până la 15V. Dacă stabilizatorul de tensiune negativă nu stabilizează la curenți mici, putem avea la ieșire peste 9V, scumpul nostru circuit (la propriu) defectându-se iremediabil!

Analizând fila de catalog a fabricantului constatăm că, din punctul de vedere al unui

avocat, nu are nici o vină: performanțele de stabilizare în funcție de curentul de ieșire sunt date începând cu un curent de sarcină de 5mA. Totuși, unele circuite se comportă decent, fiind lipsite de periculoasa supratensiune pe ieșire; altele - chiar de la firme prestigioase - sunt de neutilizat la curenți mici de ieșire.

În figura 1 este prezentat un montaj de test pentru a verifica dacă stabilizatoarele monolitice prezintă acest defect. Se utilizează o sursă de tensiune stabilizată, reglabilă, la intrare, un rezistor de sarcină și volmetre pentru măsurarea tensiunilor de intrare și ieșire. Circuitul integrat este decuplat cu condensa-

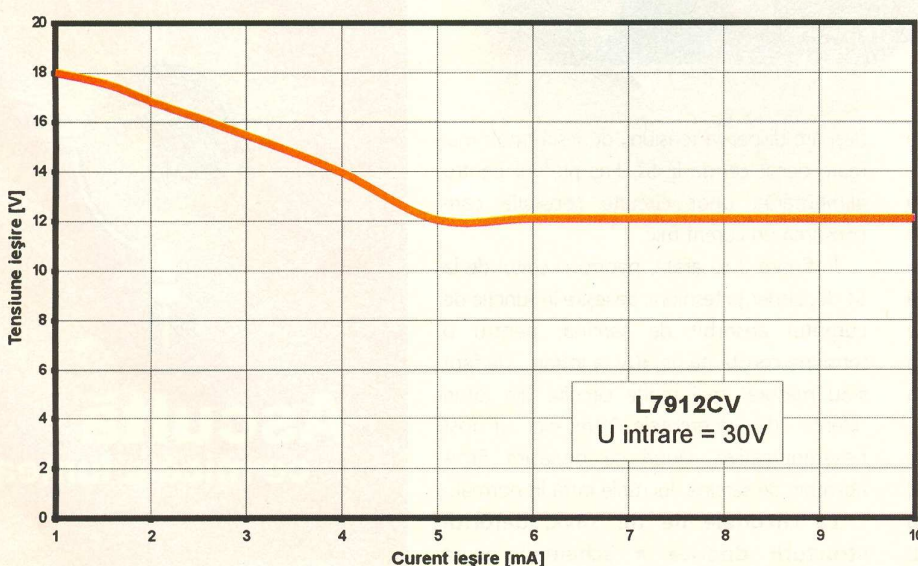


Fig. 3

Dependența tensiunii

de ieșire în funcție de curentul

absorbit în sarcină, pentru

circuit seria 7912 de la

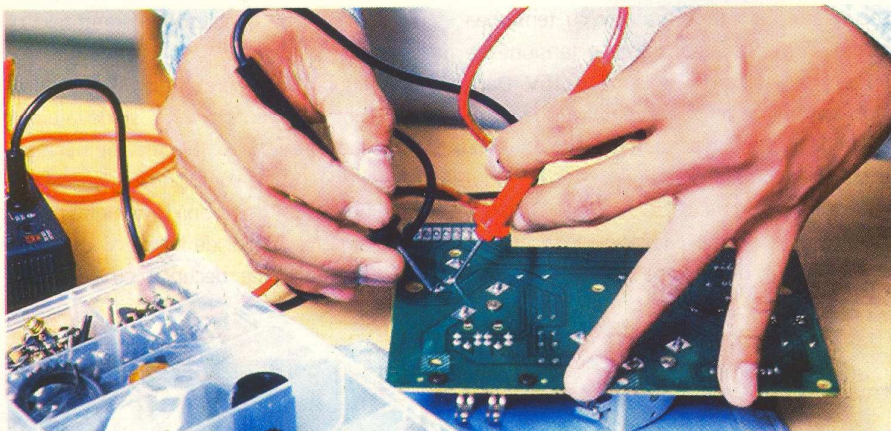
ST Microelectronics

**Tabelul 1**

Curentul minim de ieșire recomandat pentru câteva din circuitele stabilizatoare de tensiune					
Tensiune	Tip	Capsulă	Curent ieșire	Curent minim	
Pozitivă fixă	<b>LM309K</b>	TO3	1A	5mA	
Pozitivă reglabilă	<b>LM317T</b>	TO220	1,5A	10mA	
Pozitivă fixă	<b>LM323K</b>	TO3	3A	~0	
Negativă reglabilă	<b>LM333T</b>	TO220	3A	10mA	
Negativă reglabilă	<b>LM337T</b>	TO220	1,5A	10mA	
Pozitivă reglabilă	<b>LM338T</b>	TO220	5A	10mA	
Pozitivă fixă	<b>LM78xxC</b>	TO220	1A	5mA	
Pozitivă reglabilă	<b>LM350T</b>	TO220	3A	10mA	
Pozitivă reglabilă	<b>LM317L</b>	TO92	0,1A	5mA	
Negativă reglabilă	<b>LM337L</b>	TO92	0,1A	5mA	
Pozitivă fixă	<b>LM78Lxx</b>	TO92	0,1A	1mA	
Pozitivă fixă	<b>LM78xx</b>	TO220	1A	5mA	
Negativă fixă	<b>LM79xx</b>	TO220	1,5A	5mA	
Pozitivă fixă, LDO*	<b>LM2930T</b>	TO220	0,15A	5mA	
Pozitivă fixă, LDO	<b>LM2931T</b>	TO220	0,1A	5mA	
Pozitivă fixă, LDO	<b>LM2937T</b>	TO220	0,5A	5mA	
Pozitivă fixă, LDO	<b>LM2940T</b>	TO220	1A	5mA	
Negativă fixă, LDO	<b>LM2990T</b>	TO220	1A	5mA	
Negativă regl, LDO	<b>LM2991T</b>	TO220**	1A	5mA	
Pozitivă fixă, LDO	<b>LP2950CZ</b>	TO92	0,1A	0,1mA	
Pozitivă fixă, LDO	<b>LP2954T</b>	TO220	0,15A	1mA	

\* LDO - Low Dropout - cădere redusă de tensiune intrare - ieșire

\*\* TO220 cu cinci terminale



toare cu tantal, de valoare suficient de mare pentru a nu prezenta oscilații.

Rezultatele se pot vedea în figura 2. Aici este trasată tensiunea de ieșire în funcție de tensiunea de intrare pentru un curent de sarcină ceva mai mare de 1mA (o rezistență de sarcină de  $10k\Omega$  la o tensiune de ieșire de 12V). S-au măsurat circuite de la doi fabricanți: un L7912CV de la SGS-Thomson (ST Microelectronics) și un circuit, mai urâtel, LM7912, "no-name", marcat TSL. Surpriză: circuitul de la ST nu se comportă bine având o supratensiune la ieșire care ajunge până la 18V. Circuitul produs de TSL merge perfect;

deși are dispersia tensiunii de ieșire mult mai mare decât cel de la ST, l-aș prefera pentru alimentarea unor circuite sensibile care consumă un curent mic.

În figura 3 se arată, pentru circuitul de la ST dependența tensiunii de ieșire în funcție de curentul absorbit de sarcină, pentru o tensiune constantă de 30V la intrare. De fapt s-au măsurat mai multe circuite din loturi diferite, dar diferențele între ele au fost nesemnificative. După ce depășim 5mA absorbiți de sarcină, lucrurile intră în normal.

**La circuitele de tip 78xx, datorită structurii diferite a schemei, acest**

### fenomen nu apare.

În **tabelul 1** sunt trecute în revistă câteva circuite stabilizatoare de tensiune monolitice<sup>[2]</sup>, indicându-se și **curentul minim de ieșire de la care performanțele de stabilizare sunt garantate**.

Se poate observa că și pentru circuitele care au curentul maxim de 0,1A curentul minim de ieșire este relativ apropiat de cel al unui stabilizator de 1A. Este posibil ca acest lucru să se datoreze și instalațiilor de testare automată de la fabricant, circuitele de 0,1A și 1A fiind verificate pe aceeași instalație. Unele circuite pot funcționa bine și la curenți mai mici, altele nu. ♦

### Bibliografie

1. Tomas Kouba, Jan Rehak, *Voltage regulators (stabilizers) 78xx a 79xx by ST*, pe site-ul ceh Hardware Server, [www.hw.cz](http://www.hw.cz);

2. \*\*\*, National Power IC's Databook, National Semiconductor Corp, Santa Clara, CA, SUA, 1995;

radio delta **rfi** 93.5 fm



**Asciță  
ce mică e lumea!**

# Tranzistoare bipolare seria BC

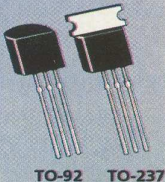
4" Diffused Wafer



SOT-23



Mini MELF SOD-80C



TO-92 TO-237



TO-220



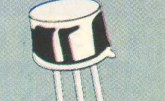
TO-220FP



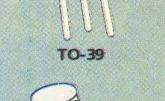
TO-126



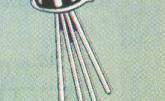
TO-3P



TO-39



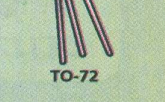
TO-18



TO-72



TO-3

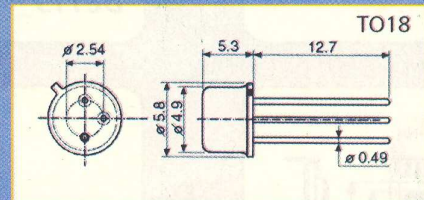
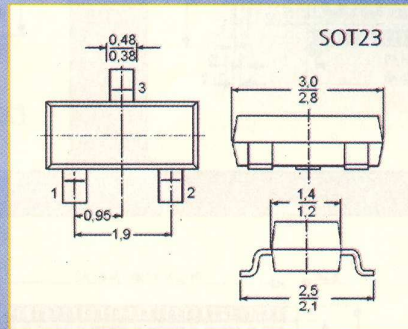
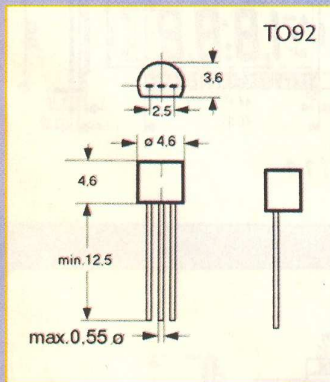


DO-35



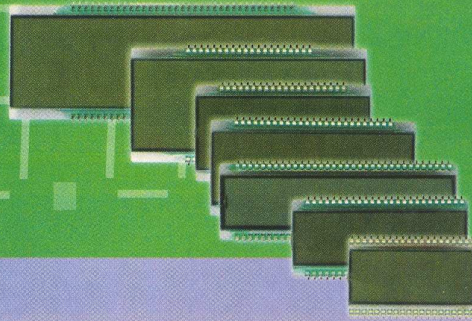
DO-41

COD PRODUS	DENUMIRE	DESCRISERE	PRET
3146	BC 107 B	NPN 45 V/0.1 A/0.3 W TO 18	20.000
3149	BC 109 C	SI-N 30 V/0.2 A/0.3 W/150 MHz TO 18	12.000
3158	BC 141-16	Si_N 100V 1A 0.75W >50MHz	25.000
3157	BC 161-16	Si_P 60V 1A 0.75W >50MHz	25.000
316	BC 177 B	PNP 45 V/0.1 A/0.3 W/TO 18	10.000
3164	BC 300	NPN/SI-N/120V/0.5A/6W/120MHz	8.000
3165	BC 303	Si_P 85V 0.5A 0.85W 75MHz	8.000
9492	BC 327-25	PNP 45 V/0.5 A/0.8 W/B:160-400/TO92	2.000
3166	BC 327-40	PNP 45 V/0.5A/0.8 W/B:250-600/TO92	2.000
9493	BC 337-25	NPN 45 V/0.5 A/0.8 W/B:160-400 TO92	2.000
9494	BC 337-40	NPN 45 V/0.5 A/0.8 W/B:250-600 TO92	2.000
3170	BC 516	PNP-DARL 30V/0.4 A/0.625 W/TO92	3.000
3171	BC 517	NPN-DARL 30 V/0.4 A/0.625 W/TO92	3.000
1609	BC 546 B	NPN 65V/0.1 A/0.5 W B:150-450 TO92	1.000
3172	BC 547 B (BC 171B)	NPN 45 V/0.1 A/0.5 W/B:150-450 TO 92	1.000
320	BC 548 B (BC 172)	NPN 30 V/0.1 A/0.5 W/B:150-450 TO92	1.000
321	BC 549 C (BC 173)	NPN 30V/0.1A/0.5W/B:420-800/TO92	1.000
1140	BC 556 B	PNP 65 V/0.1 A/0.5 W/B:220-475/TO92	1.000
3173	BC 557 B (BC 251)	PNP 45 V/0.1 A/0.5 W/B:220-475 TO92	1.000
323	BC 558 B	PNP 30 V/0.1 A/0.5 W/B:220-475 TO92	1.000
348	BC 559 B	PNP/SI-P/50V/0.2A/0.5W	1.000
7848	BC 639	NPN 80 V/1 A/0.8 W/B:40-250 TO92	2.500
7849	BC 640	PNP 80 V/1 A/0.8 W/B:40-250 TO92	2.500
3174	BC 807-25 SMD	PNP 45 V/0.5 A/B:160-400 SOT23	1.000
349	BC 807-40 SMD	PNP 45 V/0.5 A/B:250-600 SOT23	1.000
363	BC 846 B SMD	NPN 65 V/0.1 A/B:200-450 SOT23	1.000
3175	BC 847 B SMD	NPN45 V/0.1 A/B:200-450 SOT23	1.000
3176	BC 848 B SMD	NPN 30 V/0.1 A/B:200-450 SOT23	1.000
9495	BC 856 B SMD	PNP 65 V/0.1 A/B:220-475 SOT23	1.000
9496	BC 879	NPN-DARL+DIODA 80 V/1 A/0.8 W TO92	12.000

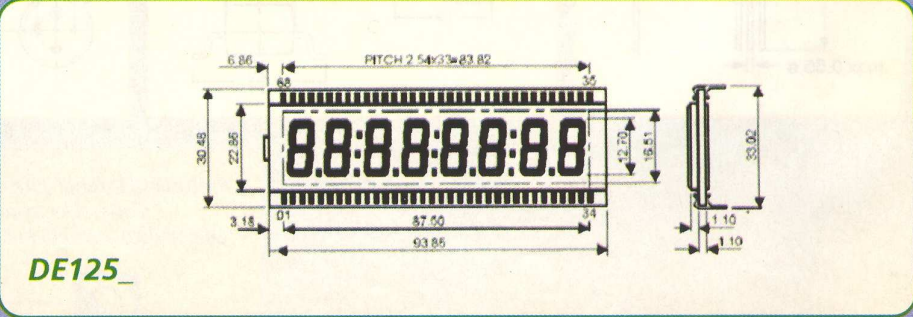
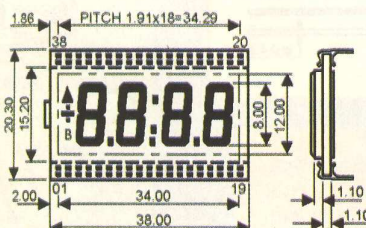
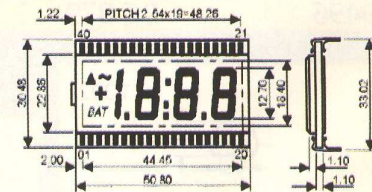
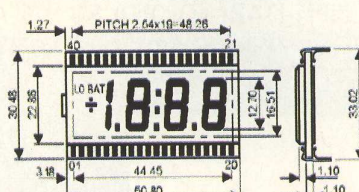
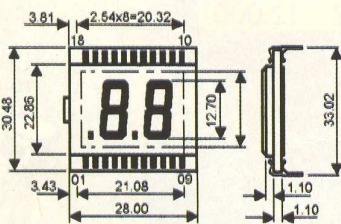


Prețurile din tabel sunt practice de magazinul  
Conex Electronic și includ TVA.  
Oferta este valabilă în limita stocului disponibil.

# DISPLAY-URI LCD



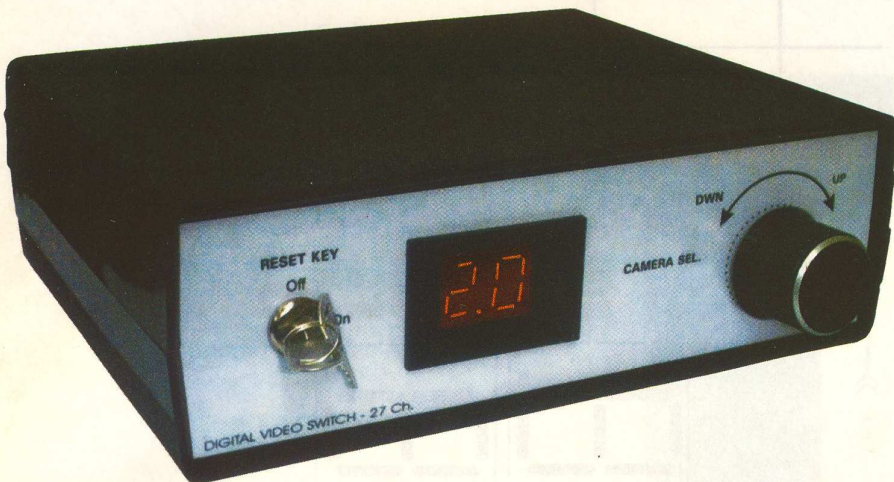
Cod Conex Electronic	Denumire	Date Tehnice	Preț (lei)
11874	DE112RS-20/6,35	2 digiți 12,7mm	90.000
12089	DE113RS-20/7,5	3 1/2 digiți 12,7mm	160.000
1318	DE114RS-20/6,35	3 1/2 digiți 12,7mm	260.000
1327	DE118RS-20/6,35	4 digiți 8,0mm	170.000
2524	DE119RS-20/7,5	4 digiți 12,7mm	180.000
11881	DE120RS-20/7,5	4 digiți 17,8mm	290.000
11898	DE122RS-20/6,35	6 digiți 12,7mm	310.000
13198	DE123RS-20/6,35	3 digiți 8,9mm	140.000
11899	DE125RS-20/7,5	8 digiți 12,7mm	330.000
13340	DE127RS-20/6,35	4 digiți 8,9mm	210.000
11900	DE130RS-20/7,5	5 digiți 17,8mm	370.000
13341	DE132RS-20/8,4	6 digiți 17,8mm	420.000
11916	DE156RS-30/7,5	6 digiți 25,4mm -40/+90°C	660.000
11931	DE158RS-20/8,4	4 digiți 25,4mm	350.000



# Switch video

## 2...32 canale

Edouard **Gora**, YO3HCV  
office@hcv.ro



**Montajul prezentat constituie un experiment ce a urmărit practic o aplicație de comutare a unui număr**

**mare de camere video de**

**supraveghere instalate într-o clădire mare. Totodată s-a urmărit și afișarea**

**acestora pe un afișor cu LED.**

**Comutarea s-a realizat în două**

**variante: cu "rotary encoder" sau**

**comutatoare simple, tip "up/down".**

**La realizarea acestui experiment au**

**participat Edouard Gora, Mircea**

**Zbarnia și Croif Constantin**

### Descriere

Poate fi atractiv sau chiar o necesitate uneori, comutarea diverselor surse de semnal audio-video către sau de la o singură sursă de semnal, cum ar fi de exemplu un video-recorder, un monitor sau o stație de amplificare. Se poate imagina ușor cazul în care mai multe camere de supraveghere trebuie urmărite la comandă, pe un singur display din motive economice sau chiar din comoditate. Sau în mod similar, pe un singur televizor, se pot urmări prin comutare un receiver de satelit, un video-casetofon sau un DVD player.

Aparatul propus în cele ce urmează

realizează tocmai această funcție de comutare electronică, scutind utilizatorul de neplăcuta operație de cuplare sau decuplare a conectorilor diverselor apărate. În principiu, montajul a fost gândit pentru a comuta semnale video ( maxim 32 intrări ) provenite de la camere video de supraveghere pentru vizionare pe un singur monitor. Datorită însă elementelor de separare galvanică (relee reed), se poate observa cu ușurință că semnalele multiplexate sau demultiplexate pot avea oarecum orice natură (audio, video, telefonia, etc.) și orice direcție (bi-direcțional). În funcție de natura releeelor folosite, în ceea

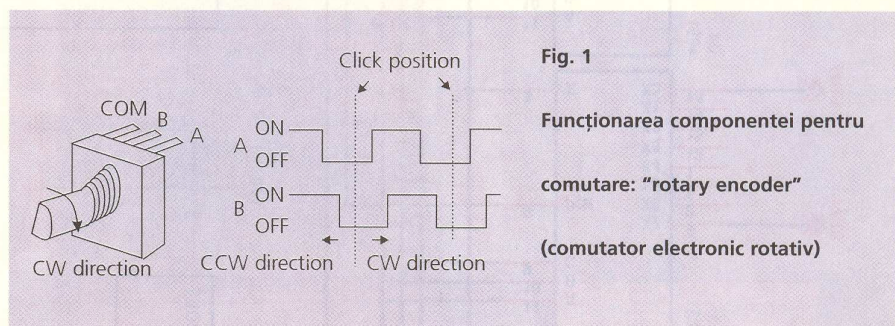


Fig. 1

**Funcționarea componentei pentru comutare: "rotary encoder"**  
**(comutator electronic rotativ)**

**Tabelul 1.** Tabelul logic al circuitului integrat 4051

Comanda				Intrări/leșiri commutate cu X							
A	B	C	Inh	0	1	2	3	4	5	6	7
0	0	0	0	1	0	0	0	0	0	0	0
1	0	0	0	0	1	0	0	0	0	0	0
0	1	0	0	0	0	1	0	0	0	0	0
...	...	...	...	...	...	...	...	...	...	...	...
x	x	1	0	0	0	0	0	0	0	0	0

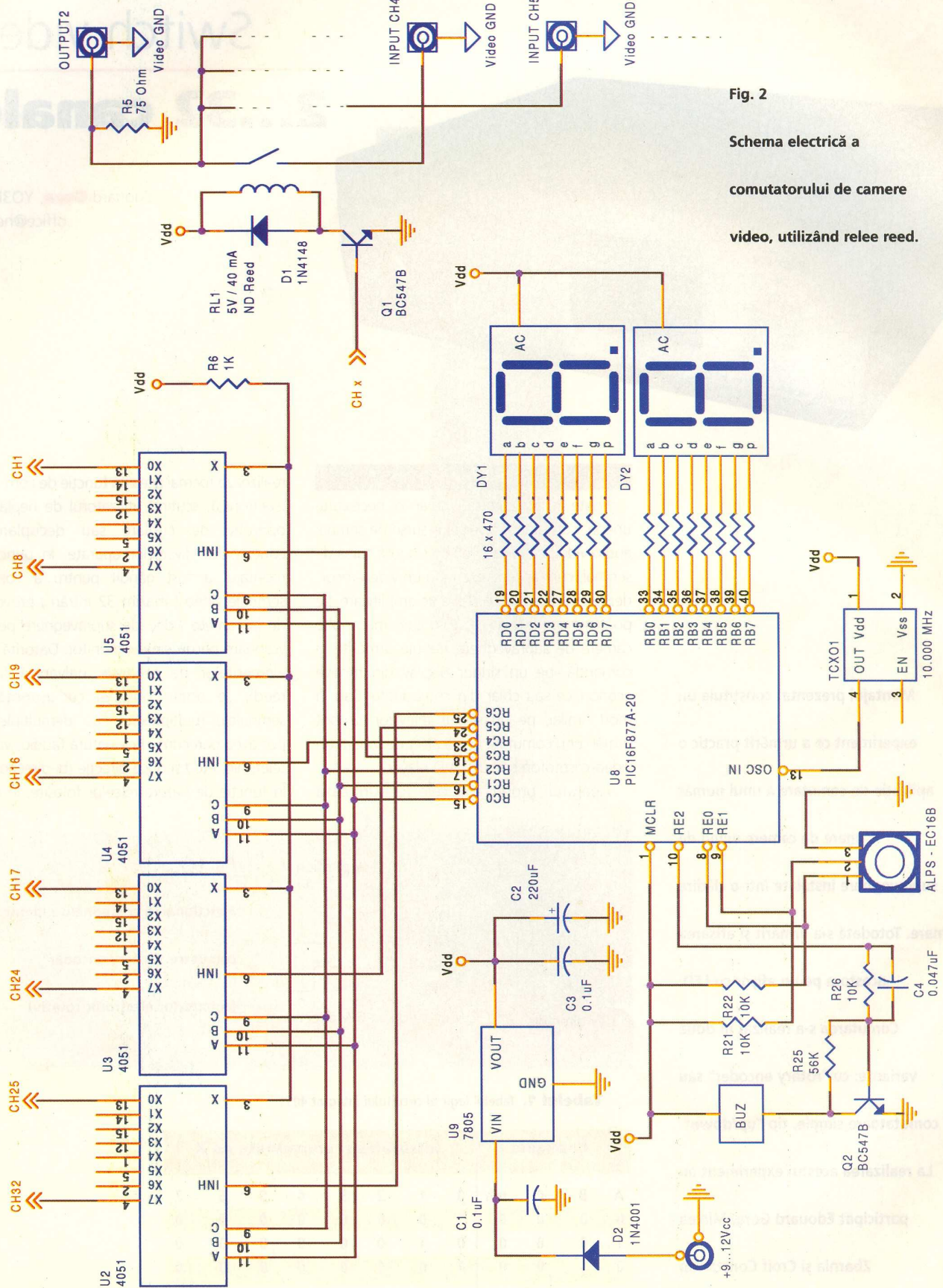
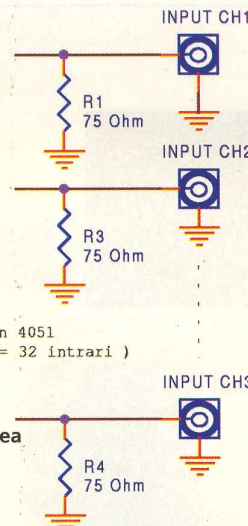




Fig. 3

**Varianta de schemă fără izolare galvanică. Comutarea**

**se realizează direct cu ajutorul circuitelor 4051**



ce privește parametrul de contact, se va acorda atenție totuși la tipul semnalelor comutate.

Așa cum se afirma mai sus, scopul montajului de față este exclusiv de a comuta semnale video complexe (SVCC) sau în engleză "Composite Video Signal", provenite de la un număr de camere de securitate miniatură. Aplicația imediată este desigur supravegherea în regim de amator sau nu, a unui perimetru, vilă, locuință sau orice alt amplasament, și urmărirea comodă a acestor semnale pe un singur monitor. Aparatul va indica pe un display numărul camerei curente, iar selectarea unei alte surse se va face ușor prin manevrarea unui comutator digital în cod Gray, numit și "rotary encoder" (figura 1).

### Schemă și funcționare

Întregul montaj este construit în jurul unui controler RISC 14 biți de la Microchip și anume PIC16F877A-20 ce rulează la 10 MHz. Porturile B și D sunt folosite exclusiv la decodarea numărului camerei curente direct în cod "7 segmente" pentru două afișare tip catod comun. Nu există riscul de a supraîncărca ieșirile controlerului întrucât acestea sunt capabile de a debita până la 20mA iar în cazul de față, limitarea currentului per/segment cu  $470\Omega$  atinge o valoare rezonabilă de cca. 5-7mA. În acest mod s-a evitat folosirea oricărui tip de decodăre pentru afișaj, simplificând deci montajul, grăție arhitecturii deosebite a porturilor oferite în controlerele Microchip.

La portul C găsim implementată cea mai simplă decodare/demultiplexare hardware de

4066. S-a preferat însă soluția cu 4051 din două motive fundamentale:

- simplifică hardware (6 biți adresa / 32 ieșiri / 4 circuite);
- simplifică conectare buffere (rezistență comună de polarizare a bazelor prin R6);
- posibilitate comutare low-cost, fără buffer-ing.

Se reamintește logica de funcționare a circuitelor multiplexoare/demultiplexoare din seria 4051 (tabelul 1).

Cu alte cuvinte, atâtă timp cât INHIBIT nu este activ, ieșirile sunt active căte una o dată, în funcție de codul aplicat pe 3 biți la ABC. Când spunem ieșiri, considerăm ca intrare pinul 3 (sau pinul notat X) comun comutatoarelor analogice interne 4051. În fapt, el este un comutator bi-directional electronic, cu rezistență în starea ON finită, cu o valoare aproximativă de câteva zeci...sute de  $\Omega$ , similar funcțional cu clasicele 4066.

Pentru aplicații restrânse, și de low-cost, se pot elimina bufferele și releele de comutare așa cum se observă în figura 3. Sursele de semnal video vor intra direct în 4051 prin rezistențe terminale de  $75\Omega$ , iar ieșirea va fi pinul 3 (X), al tuturor circuitelor așa cum este în schemă, dar fără rezistorul de polarizare R1. Aceasta este un caz particular și nerecoman-

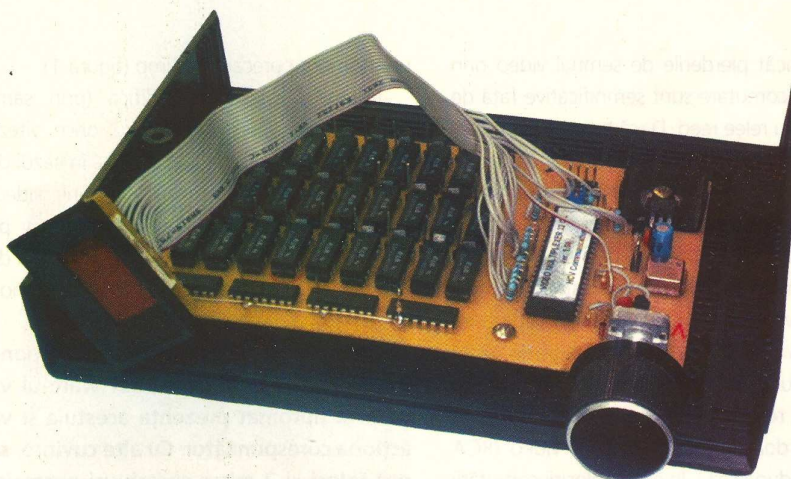
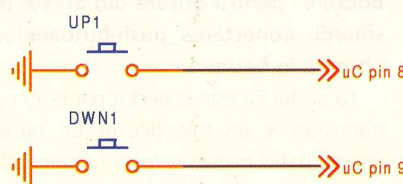


Fig. 4

**Varianta de schemă fără rotary-**

**encoder, funcția UP sau DOWN se**

**realizează cu două push-butoane**



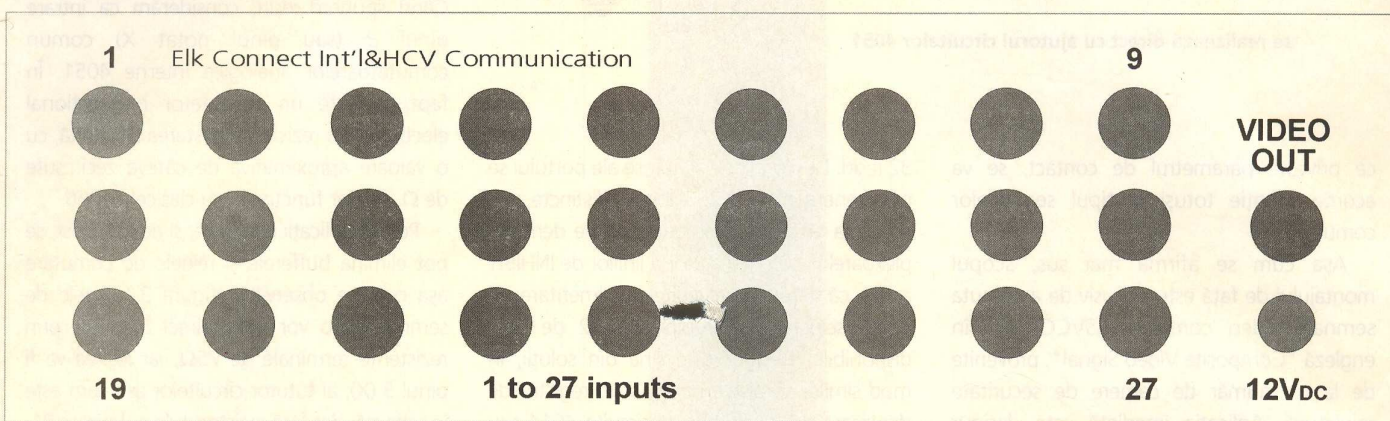
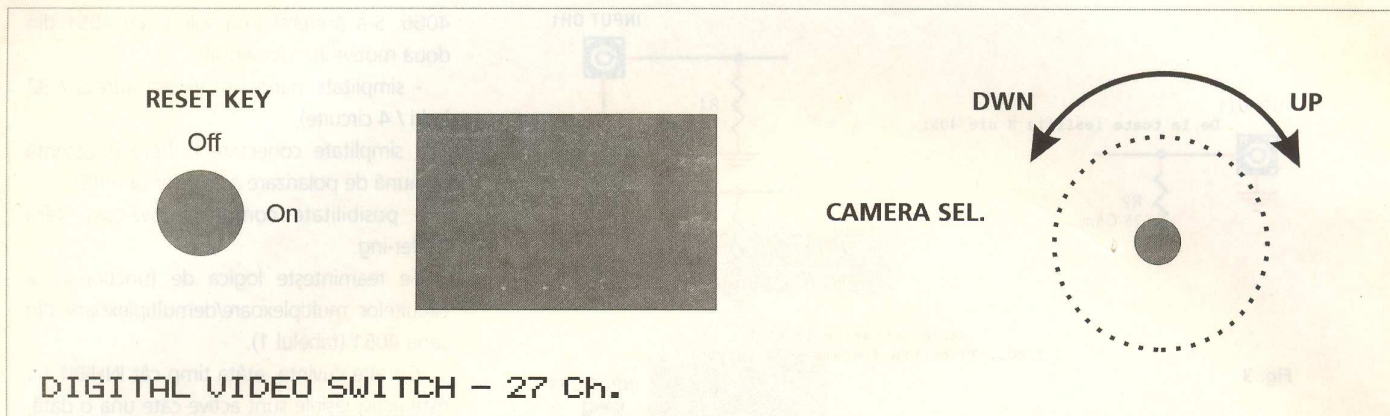


Fig. 5 Sugestie de realizare a măștilor pentru o casetă (cod 1019, tip WCAH2505 - culoare neagră); se comută 27 de canale video

dat, întrucât pierderile de semnal video prin astfel de comutare sunt semnificative față de varianta cu relee reed. Dacă totuși constructorul amator dispune de comutatoare electronice mai performante, similare funcțional (maxim, Analog Devices) cu rezistență dinamică de conducție ce nu va depăși  $2\dots3\Omega$ , atunci se pot omite fără probleme aceste buffere cu relee. Evident, va dispărea și separarea galvanică a surselor de semnal față de restul montajului. Reamintim că în cazul aplicației, cu relee reed, masa semnalelor video este comună doar pentru conectorii video (RCA sau BNC după caz). În cazul folosirii comutării electronice, evident, masa va fi comună și egală cu masa montajului.

Comutarea efectivă a camerelor video se face în aplicația de față cu ajutorul unui "rotary encoder" produs de firma ALPS cu 24 de biți/tură. În esență, acest switch digital este mult mai comod și mai fiabil decât comutatoarele clasice și în plus, are și un aspect mai plăcut. Funcționarea sa este simplă, impulsurile generate față de pinul de referință sunt codificate în fază în cod Gray, referindu-ne la

un moment oarecare de timp (figura 1).

Microcontrollerul decodifică (prin sampling) aceste impulsuri pentru orice viteză unghiulară (de altfel neimportantă în cazul de față) și comută corespunzător intrările video. Rezultatul comutării apare instantaneu pe display-ul de 2 dígití. Display-ul în schema de față a fost un modul LITEON dublu, cu anod comun.

**De remarcat că pentru cine nu dispune de un astfel de encoder, software-ul va detecta automat prezența acestuia și va acționa corespunzător. Cu alte cuvinte, se pot folosi și 2 micro-switch-uri normale, fără nici o modificare hardware, conectate direct în locul encoderului. Microcontrollerul se va autoconfigura "la bootare" pentru oricare din aceste două situații. Conectarea push-butoanelor se observă în figura 4.**

La portul E2 este conectat printr-un buffer tranzistorizat un mic difuzor de orice tip (buzzer pasiv) miniatură (orientativ impedanță cca.  $32\Omega$ ), semnalizând printr-un beep fiecare comutare.

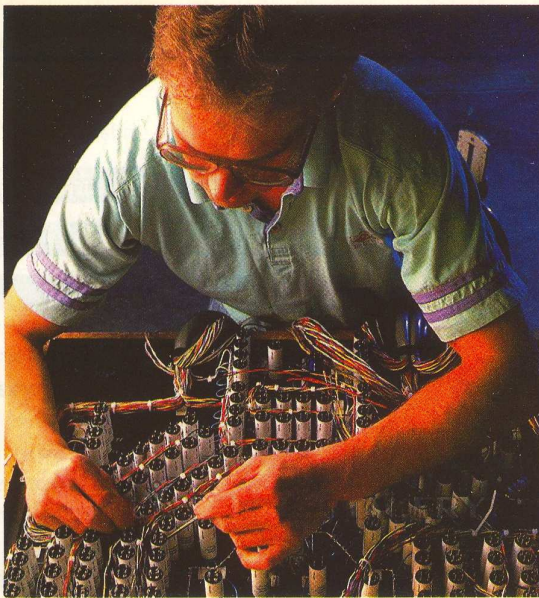
În rest, montajul nu pune probleme deosebite în construcție, chiar pentru începătorii în domeniu. Releele folosite au fost tipul DIP REED produse de firma ECE Taiwan.

La conectarea alimentării, înainte de a se acționa, encoderul pentru prima dată (sau tastele), microcontrollerul va parcurge automat toate camerele video în mod secvențial, una după alta cu o frecvență de câteva secunde/cameră.

O sugestie de realizare practică este prezentată în fotografie și în desenele măștii (figura 5) pentru o casetă tip WCAH 2505 (Donau), de la Conex Electronic. S-au utilizat mufe BNC. ♦♦♦

Software-ul pentru microcontroller se poate obține de la autor prin email la adresa office@hcv.ro sau office@elkconnect.ro.

Referințe și lectură suplimentară  
[www.microchip.com](http://www.microchip.com) – microcontrolere RISC,  
[www.ece.com.tw](http://www.ece.com.tw) – relee reed,  
[www.alps.com](http://www.alps.com) – rotary encodere.



# ICL8038

## Generator de funcții (I)

Şerban Melci  
electronica@voxline.ro

După ce într-unul dintre numerele precedente ale revistei **Conex Club** a fost prezentat generatorul de funcții de înaltă frecvență MAX 038, continuăm în acest număr al revistei (și în cele următoare) cu prezentarea altor două circuite integrate generatoare de funcții. Este vorba despre celebrele ICL8038 și XR-2206. Circuitele au prețuri modice de vânzare, respectiv 130.000 lei ICL8038 și 190.000 lei XR-2206 la magazinul **Conex Electronic**, la data realizării articolelor. Acestea sunt practic două mici "bijuterii" electronice, fiind capabile să genereze semnale sinusoidale, dreptunghiulare, în formă de dinte de fierastrău și impulsuri de mare precizie și acuratețe. Lansate pe piața de componente electronice cu cca. 25 de ani în urmă, ele continuă să țină capul de afiș și astăzi.

Circuitul ICL8038 a fost proiectat și realizat

la început de firma americană Intersil (acum Harris Semiconductor), fiind în prezent produs și de o altă companie din S.U.A., EXAR (sub titulatura de XR-8038A).

Circuitul integrat ICL8038 (XR-8038A), deși este atât de răspândit în aparatura electronică, este destul de puțin cunoscut constructorilor electroniști din țara noastră, datorită lipsei documentațiilor tehnice din literatura românească de profil. Astfel, la noi au apărut despre ICL8038 doar puține materiale tehnice, în ultimii ani, indicate la *Bibliografie*.

Vom încerca în articolul de față să realizăm o prezentare amplă a circuitului integrat ICL8038. De aceea, am structurat materialul în trei mari părți și anume:

- **prima parte** cuprinde descrierea avantajelor oferite de folosirea acestuia și caracteristicile electrice generale;

- **a doua parte** se referă la prezentarea

modului de funcționare a generatorului de funcții, realizarea formelor de undă, dimensionarea elementelor de circuit (alegerea componentelor), controlul nivelului de ieșire al formelor de undă generate, sursele de alimentare cu tensiune, precum și modulația de frecvență și baleajul (vobularea);

- **a treia parte** conține un număr de aplicații cu

ICL8038 (XR-8038A) pe care le considerăm foarte utile pentru pasionații de electronică practică.

### Descriere generală, avantaje,

### caracteristici electrice

Circuitul integrat ICL8038 (HARRIS Semiconductor), respectiv XR-8038A (EXAR Corporation) reprezintă un generator de precizie pentru forme de undă (generator de funcții) capabil să producă semnale sinusoidale, dreptunghiulare, triunghiulare în formă de dinte de fierastrău și impulsuri cu o înaltă acuratețe, utilizând un minim de componente externe.

Frecvența (sau rata de repetiție) poate fi selectată din interior într-un domeniu foarte larg, cuprins între 0,001Hz (1mHz) și 300kHz prin folosirea unor rezistoare și condensatoare externe. Frecvența de modulație și baleajul (vobularea) pot fi completate cu o tensiune externă.

Circuitul integrat este fabricat într-o avansată tehnologie monolitică, folosind diode cu barieră Schottky și rezistoare cu peliculă subțire, iar semnalele de ieșire sunt stabile într-o gamă largă de temperaturi și tensiuni de alimentare. Aceste dispozitive pot fi interfațate cu circuite în buclă cu calare de fază, cu scopul de a reduce deriva termică la o valoare mai mică de 250 ppm/°C.

Circuitul ICL8038 se livrează în 4 variante constructive, în funcție de stabilitatea termică și capsulă, prezentate în tabelul 1. Domeniul temperaturilor de lucru este cuprins între 0...70°C.

Capsula de tip PDIP, CERDIP a circuitului integrat ICL8038 este dată în figura 1, împreună cu semnificația pinilor (pinout-ul).

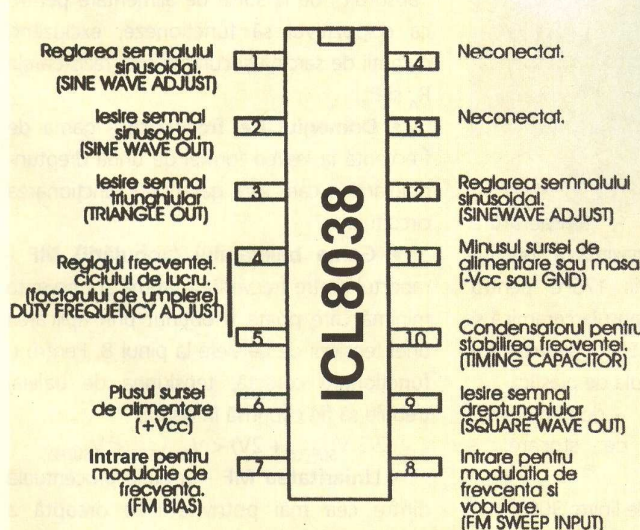


Fig. 1 Semnificația pinilor ICL8038

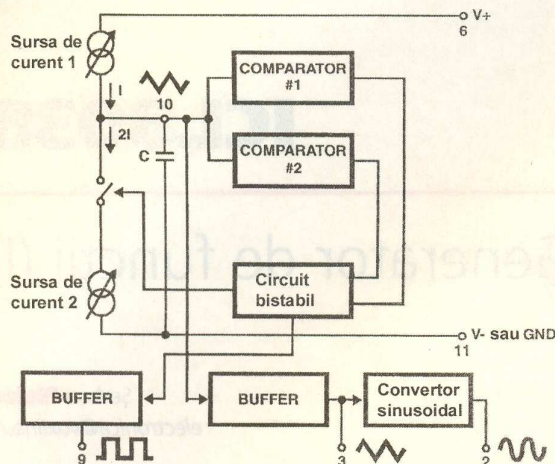


Fig. 2 Diagrama funcțională a circuitului ICL 8038

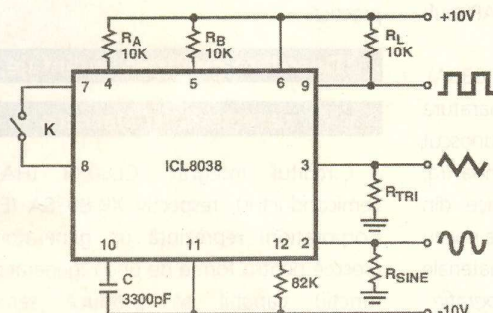
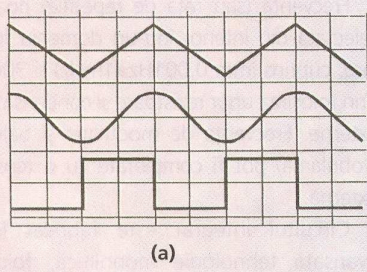
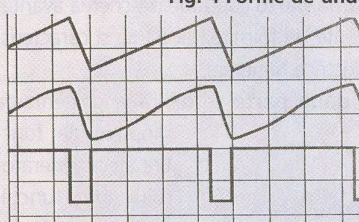


Fig. 3 Circuitul de test



(a)



(b)

Fig. 4 Forme de undă

Tabelul 1 Variantele constructive ale circuitului

Tipul integratului	Stabilitate	Capsulă
ICL8038CCPD	250 ppm/°C	14 pini PDIP
ICL8038CCJD	250 ppm/°C	14 pini CERDIP
ICL8038BCJD	180 ppm/°C	14 pini CERDIP
ICL8038ACJD	120 ppm/°C	14 pini CERDIP

Avantajele utilizării C.I. ICL8038 sunt numeroase:

- derivă termică de joasă frecvență redusă: 250 ppm/°C;
- distorsiuni mici: 1% (ieșirea de semnal

- temperatura maximă a jonctiunii: 175°C pentru capsula ceramică și 150°C pentru capsula de plastic;

- domeniul maxim al temperaturilor de stocare: -65°C...+150°C;

- temperatura maximă de lipire: 300°C.

În figura 2 este prezentată diagrama funcțională a circuitului (schema a

sinusoidal);

- liniaritate foarte bună: 0,1% (ieșirea de semnal triunghiular);
- domeniu larg al frecvențelor de lucru: 0,001Hz...300kHz;
- factor de umplere variabil: 2%...98%;
- ieșiri de nivel ridicat: TTL...28V;
- ieșiri simultane pentru semnale sinusoidale, dreptunghiulare și triunghiulare;
- ușor de utilizat, necesitând foarte puține componente externe.

Valorile maxime admisibile ale principalilor parametri electrici sunt următoarele:

- tensiunea de alimentare: 36V;
- tensiunea de intrare (la orice pin): V-...V+;
- curentul de intrare (pinii 4 și 5): 25mA;
- curentul de ieșire absorbit (pinii 3 și 9): 25mA.

Parametrii tehnici sunt următorii:

generatorului de forme de undă).

### Modul de funcționare

#### al generatorului, realizarea

#### formelor de undă

Funcționarea generatorului de forme de undă se bazează pe încărcarea și descărcarea periodică a condensatorului de temporizare C, conectat în exterior, între pinii 10 și 11 ai C.I., prin intermediul celor două surse de curent. Comutarea surselor de curent este controlată de nivelul logic de la ieșirea bistabilului declanșat de comparatoarele 1 și 2. La bornele condensatorului de temporizare forma semnalului este triunghiulară, iar la ieșirea circuitului bistabil este disponibil semnalul dreptunghiular. Semnalul triunghiular de la bornele condensatorului este preluat prin un buffer și aplicat convertorului sinusoidal, de tipul atenuatorului cu praguri decalate, care formează sinusoida din 8 praguri tangente. Atenuatorul este constituit din diode și rezistoare, diodele fiind substituite prin 8 dublete de tranzistoare pnp și npn, care fiind realizate pe un substrat comun, îmbunătățesc stabilitatea față de variațiile de temperatură.

Circuitul de test pentru C.I. ICL8038 este dat în figura 3, în condițiile:  $V_{SUPPLY} = \pm 10V$  (sau +20V),  $T_A = 25^\circ C$  și  $R_L = 1k\Omega$ .

Pentru o mai bună înțelegere a funcționării circuitului integrat ICL8038 se definesc următorii termeni:

• **Tensiunea de alimentare ( $V_{SUPPLY}$ )** - valoarea totală a tensiunii cuprinse între  $V_+$  și  $V_-$ .

• **Curentul de alimentare** - curentul "absorbit" de la sursa de alimentare pentru ca dispozitivul să funcționeze, excludând curenții de sarcină și curenții prin rezistoarele  $R_A$  și  $R_B$ .

• **Domeniul de frecvență** - gama de frecvență la ieșirea formei de undă dreptunghiulară în care este garantată funcționarea circuitului;

• **Gama baleajului (vobulării) MF** - raportul dintre frecvență maximă și frecvență minimă care poate fi obținut prin aplicarea unei tensiuni de baleiere la pinul 8. Pentru o funcționare corectă, tensiunea de baleaj trebuie să fie cuprinsă în gama:

$$(2/3 V_{SUPPLY} + 2V) < V_{BALEIERE} < V_{SUPPLY}$$

• **Liniaritatea MF** - deviația procentuală dintre cea mai potrivită linie dreaptă a tensiunii de control față de curba frecvențelor de ieșire;

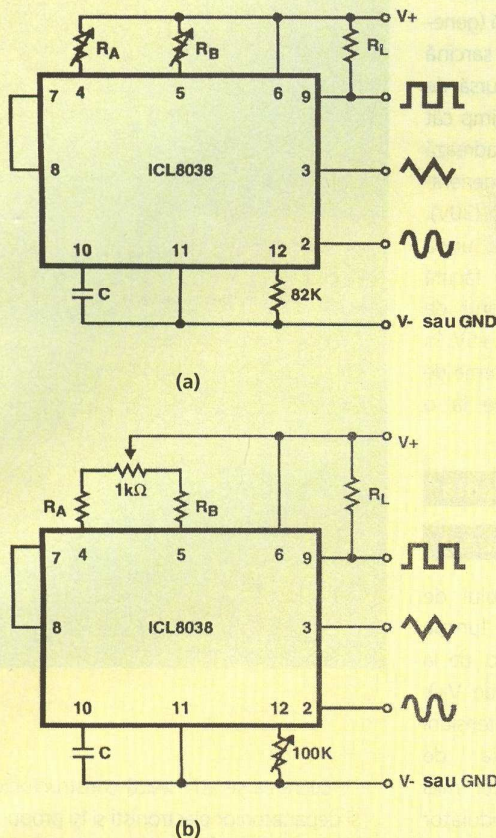


Fig. 5

#### Reglajul simetriei formelor de undă

• **Amplitudinea de ieșire** - amplitudinea vârf-la-vârf a semnalului furnizat la ieșiri;

• **Timpii de creștere și de cădere** - timpul cerut de ieșirea undei dreptunghiulare pentru ca aceasta să se schimbe de la 10% la 90% sau de la 90% la 10% din valoarea sa finală;

• **Liniaritatea formei de undă triunghiulară** - deviația procentuală de la cea mai potrivită linie dreaptă în creștere și cădere

a formei de undă triunghiulară;

• **Distorsiunile armonice totale** - distorsiunile armonice totale ale ieșirii formei de undă sinusoidale.

#### Realizarea formelor

#### de undă

În figura 4 sunt prezentate relațiile de fază pentru formele de undă, respectiv pentru unda dreptunghiulară cu factorul de umplere (duty cycle) de 50% în figura 4a și de 80% în figura 4b.

Simetria formelor de undă poate fi reglată cu ajutorul rezistoarelor (semireglabile, potențiometre) externe de temporizare. În figura 5 sunt date două posibilități. Cele mai bune rezultate au fost obținute cu rezistoarele de temporizare ( $R_A$  și  $R_B$ ) separate, ca în figura 5a. Rezistența  $R_A$  controlează porțiunea crescătoare a formelor de undă triunghiulară și sinusoidală, precum și starea 1 a formei de undă dreptunghiulară.

Mărimea formei de undă triunghiulară este aleasă la valoarea  $1/3 U_{SUPPLY}$ , de aceea porțiunea crescătoare a formei de undă triunghiulară este:

$$t_1 = C \times U / I = C \times 1/3 \times U_{SUPPLY} \times R_A / 0,22 \\ \times V_{SUPPLY} = R_A \times C / 0,66$$

Porțiunea coborâtoare (scăzătoare) a formelor de undă triunghiulară și sinusoidală, precum și starea 0 a formei de undă dreptunghiulară este:

$$t_2 = \frac{C \times U}{I} = \\ = \frac{C \times 1/3 U_{SUPPLY}}{2(0,22) \frac{U_{SUPPLY}}{R_B} - 0,22 \frac{U_{SUPPLY}}{R_A}} = \\ = \frac{R_A \times R_B C}{0,66 (2R_A - R_B)}$$

Astfel, un factor de umplere de 50% este atins atunci când  $R_A = R_B$ .

Dacă ciclul de funcționare trebuie modificat doar într-o mică gamă în jurul valorii de 50%, variantă din figura 5b este cea mai convenabilă.

Un factor de umplere de 50% se poate obține prin utilizarea unui potențiometru de  $2k\Omega$  sau  $5k\Omega$  (un potențiometru de  $1k\Omega$  poate să nu permită reglarea factorului de umplere în jur de 50% la orice circuit integrat).

În varianta de schemă din figura 5a, cu două rezistoare separate, frecvența este dată de relația:

$$f = \frac{1}{t_1 + t_2} = \\ = \frac{1}{R_A \times \frac{C}{0,66} \times (1 + \frac{R_B}{2R_A - R_B})}$$

sau, dacă  $R_A = R_B = R$ :  
 $f = 0,33 / R \times C$

Nici perioada și nici frecvența nu sunt dependente de tensiunea de alimentare, chiar dacă nici una din tensiuni nu este stabilizată în interiorul circuitului integrat. Acest lucru este datorat faptului că atât curenții cât și pragurile sunt funcție directă, liniară de tensiunea de alimentare și astfel efectele lor se anulează.

Pentru reducerea distorsiunilor formei de undă sinusoidale se montează un rezistor de  $82k\Omega$  între pinii 11 și 12 ai C.I. (de preferință reglabil). În acest mod distorsiunile obținute sunt mai mici de 1%. Pentru a reduce distorsiunile chiar și mai mult se utilizează doi potențiometri conectați ca în **figura 6**. Această configurație de schemă permite o reducere a distorsiunilor la aproape 0,5%.

#### Alegerea valorilor $R_A$ , $R_B$ și $C$

Pentru obținerea oricărei frecvențe de ieșire se poate utiliza un număr mare de combinații R-C, totuși anumite combinații nu sunt recomandabile și trebuie evitate. Curenții mai mici de  $1\mu A$  sunt nedoriți deoarece pierderile de curent ale circuitului vor contribui cu erori semnificative la temperaturi înalte. La curenți mai mari ( $> 5mA$ ) factorii  $\beta$  ai tranzistoarelor și tensiunile de saturare vor

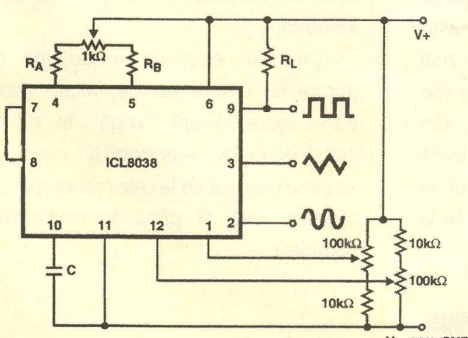


Fig. 6

**îmbunătățirea  
simetriei  
formelor de  
undă**

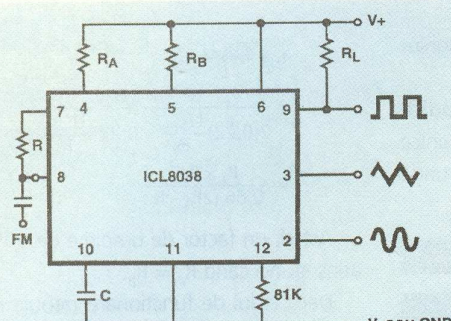


Fig. 7a Modulația de fază și baleierea

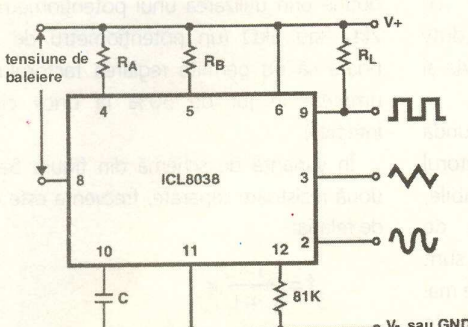


Fig. 7b Modulația de fază și baleierea

determină o creștere și mai mare a erorilor.

Performanțele optime se vor obține pentru curenti de încărcare cuprinși între  $10\mu A$  și  $1mA$ . Dacă pinii 7 și 8 sunt scurtcircuitați între ei, mărimea curentului de încărcare datorată lui  $R_A$  poate fi calculată cu relația:

$$I = R_A \times (U_+ - U_-) / R_1 + R_2 \times 1 / R_A = \\ = 0,22 (U_+ - U_-) / R_A$$

Un calcul similar se face și pentru  $R_B$ .

Valoarea condensatorului se va alege cât mai mare posibil.

### Reglajul nivelului de ieșire al formelor de undă și sursele de alimentare

Generatorul formelor de undă poate funcționa fie alimentat de la o sursă simplă de tensiune ( $10V \dots 30V$ ) sau de la o sursă dublă ( $\pm 5V \dots \pm 15V$ ). Cu o sursă simplă de tensiune nivelurile medii ale formelor de undă triunghiulară și sinusoidală sunt exact jumătate din valoarea tensiunii de alimentare, în timp ce forma de undă dreptunghiulară alternează între  $V+$  și masă.

O sursă de tensiune dublă (duală) prezintă avantajul că toate formele de undă sunt simetrice față de masă.

Forma de undă dreptunghiulară nu a fost produsă (generată). Un rezistor de sarcină poate fi conectat la o sursă de alimentare diferită, atât timp cât tensiunea aplicată se încadrează în parametrii tehnici ai generatorului de forme de undă ( $30V$ ). În acest fel, forma de undă dreptunghiulară poate fi făcută compatibilă TTL (rezistorul de sarcină se conectează la  $+5V$ , în timp ce generatorul de forme de undă este alimentat de la o tensiune mult mai mare).

### Modulația de frecvență

#### și baleierea (vobularea)

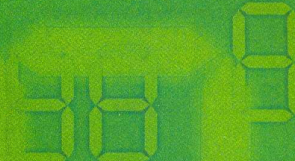
Frecvența generatorului de forme de undă este o funcție directă a tensiunii de c.c. de la pinul 8 (măsurată față de  $V+$ ). Prin modificarea acestei tensiuni se obține modulația de frecvență. Pentru deviații mici ( $\pm 10\%$ ) semnalul modulator poate fi aplicat direct la pinul 8, prevăzându-se o decuplare de c.c. cu condensator, așa cum se observă în figura 7a.

Un rezistor extern între pinii 7 și 8 nu este necesar, dar se poate folosi pentru a crește impedanța de intrare de la  $8 k\Omega$  (cât este cu terminalele 7 și 8 conectate împreună) la valoarea ( $R + 8k\Omega$ ).

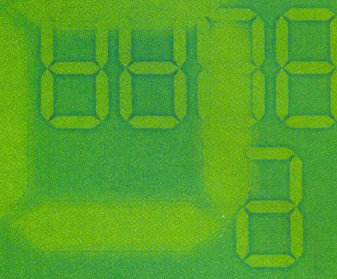
Pentru deviații MF mai mari sau pentru baleiere (vobulare) de frecvență, semnalul modulator se aplică între plusul sursei de alimentare și pinul 8 al C.I., ca în figura 7b.

În acest fel întreaga polarizare pentru sursele de curent este creată de semnalul modulator și o foarte largă gamă de baleiere (1000:1) ia naștere ( $f = 0$  la  $V_{baleiere} = 0$ ). Trebuie să se aibă totuși grijă de stabilizarea tensiunii de alimentare; în această configurație, curentul de încărcare nu mai este funcție de tensiunea de alimentare (pe când pragurile de baleiere mai sunt) și, din această cauză, frecvența devine dependentă de tensiunea de alimentare. Potențialul la pinul 8 poate fi baleiat de la valoarea  $V+$  la  $(1/3 V_{SUPPLY} - 2V)$ .

**Şerban Naiu**



Sisteme de afișare cu LED-uri și LCD-uri



MATROM  
BUCURESTI

Lucrarea se adresează constructorilor și depanatorilor electroniști și își propune să le ofere acestora un instrument de lucru cu afișoarele cu diode electroluminiscente și cristale lichide.

La capitolul de prezentare a sistemelor de afișare cu LED-uri, pentru a nu complica foarte mult materialul având în vedere spațiul restrâns al lucrării, autorul s-a oprit numai asupra comenzi rețelelor liniare de LED-uri cu intrare analogică, excluzându-le pe cele cu intrare numerică.

S-a prezentat un număr mare de scheme practice (drive), de la cele simple până la unele complexe și chiar mai multe circuite cascadeate.

S-au prezentat și câteva scheme de afișare cu 7 segmente, împreună cu circuitele integrate de comandă (drive) aferente.

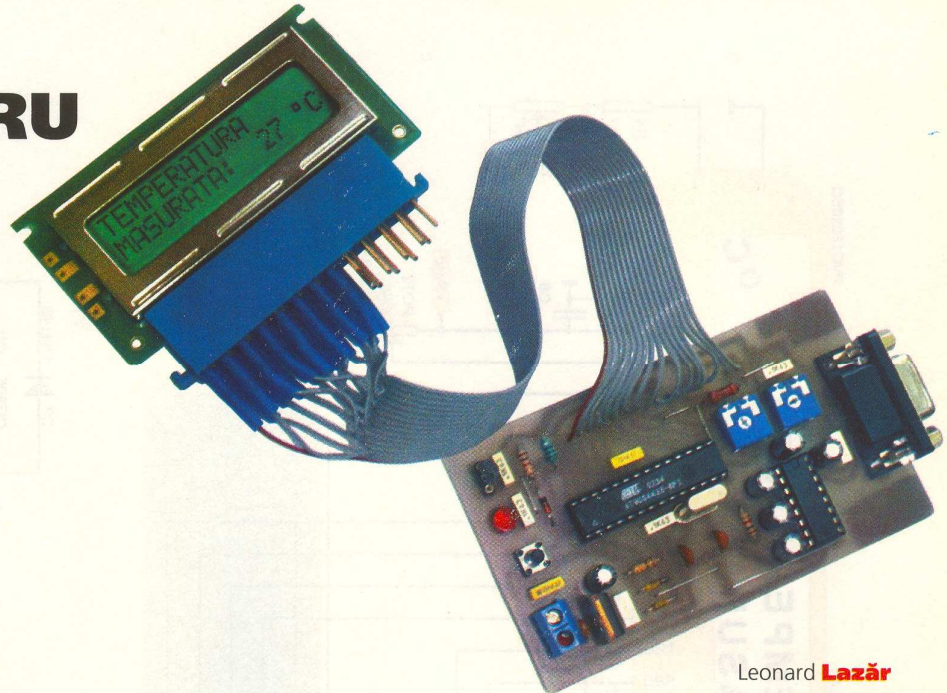
Capitolul destinat modulelor de afișare cu cristale lichide, aflate astăzi într-o extraordinară "vogă" în rândul constructorilor electroniști cuprinde scheme practice de la cele mai simple, cu afișare mici și până la unele mai complexe.

continuare în numărul viitor

# TERMOMETRU

**-50...+150°C**

cu interfață RS232



Leonard Lazăr  
Vasile Popa

Aplicația prezentată are ca

scop măsurarea temperaturii în

intervalul

-50 ... +150°C, prin utilizarea unui

senzor dedicat și a unui microcontroler

industrial din seria AVR. Valoarea

măsurată a temperaturii este afișată

pe un display cu cristale lichide (LCD)

și transmisă serial calculatorului,

afișarea pe ecranul monitorului

realizându-se prin intermediul unei

interfețe grafice adecvate.

Termometrul poate fi utilizat în

magazine cu specific alimentar, pentru

măsurarea temperaturii din vitrinele

frigorifice sau în orice aplicație de

casă sau industrială, unde eroarea de

măsurare cerută nu trebuie să fie mai

mare de 0,5°C.

## Descriere constructivă

### și funcțională

Schema electrică este prezentată în figura 1 și cuprinde următoarele elemente de bază:

- Senzorul de temperatură integrat AD22100ST (KT) - CI3 - produs de firma Analog Devices, care permite măsurarea temperaturii în intervalul -50 ... +150°C, prin utilizarea unei simple referințe de tensiune cu valoarea de +5Vcc. Tensiunea furnizată de acest senzor se găsește în intervalul 0,25 ... 4,75V pentru intervalul de temperatură specificat, coeficientul de temperatură fiind de 22,5mV/°C. La 0°C, tensiunea obținută este de 1,375V, variind cu tensiunea de referință și temperatura conform relației.

$$U_{AD22100} = \frac{V_{REF}}{5V} [1,375V + (22,5mV/^\circ C) \cdot T_A]$$

unde:  $V_{REF}$  este tensiunea de referință de +5Vcc, iar  $T_A$  este temperatura măsurată.

Condensatorul C5 are rol de decuplare a tensiunii de referință a senzorului și va fi plasat cât mai aproape de terminalele acestuia. Grupul R3-C6 realizează un filtraj al tensiunii furnizate de senzor, pentru a nu afecta conversia analog digitală la nivelul microcontrolerului în cazul apariției unor perturbații de natură electrică.

Eroarea tipică a senzorului AD22100 este de ±1°C pentru întreg intervalul de temperatură; erorile maxime la capetele intervalului

de temperatură (-50°C și respectiv +150°C) indicate de fabricant sunt de ±4°C. În jurul temperaturii de 25°C eroarea tipică este de 0°C iar cea maximă de ±2°C.

Din punct de vedere al domeniului de temperatură, senzorul este disponibil în două variante: AD22100ST - domeniu -50..+150°C și AD22100KT - practic cu același domeniu - dar la care producătorul garantează precizia de măsurare numai în intervalul 0...+150°C.

- Microcontrolerul AT90S4433-8PI realizează conversia tensiunii furnizată de senzorul de temperatură într-un format binar pe 10 biti, calculul valorii de temperatură în funcție de această tensiune, afișarea temperaturii pe display-ul LCD și transmisia serială către calculator.

Conversia analog-digitală este inițiată la fiecare 300ms prin utilizarea unei întreruperi de Timer, și este semnalizată prin aprinderea pulsatorie a LED-ului D2.

Pentru obținerea valorii de temperatură în funcție de tensiunea oferită de senzor, microcontrolerul efectuează următorul calcul, cunoscând rezoluția CAD (convertor analog-numeric), de 4,882mV:

$$T = \frac{(U_{CAD} - 282)}{4,6}, \text{ unde:}$$

-  $U_{CAD}$  este valoarea oferită de convertorul analog-digital, după măsurarea unei temperaturi oarecare;

- 282 reprezintă valoarea oferită de

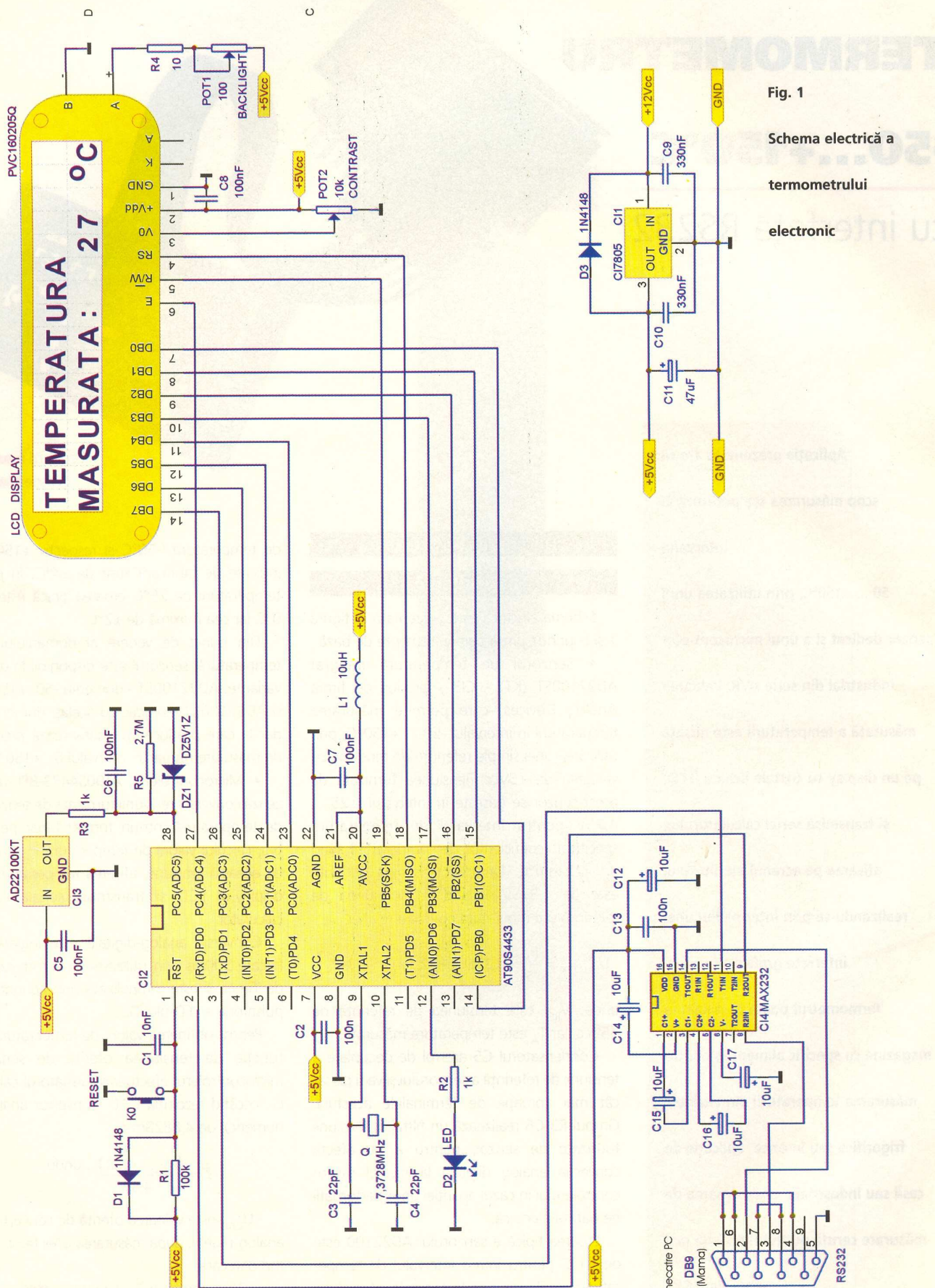
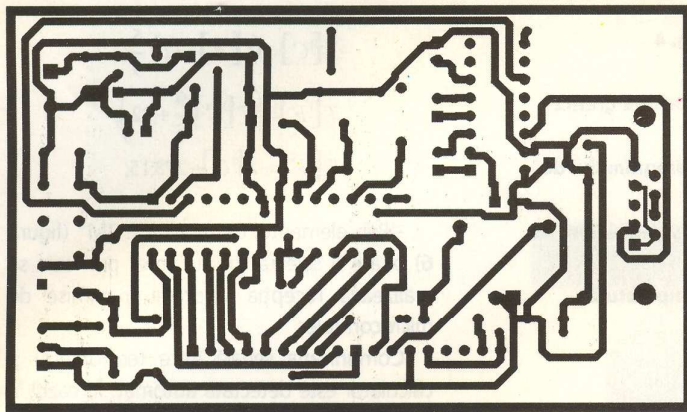


Fig. 1

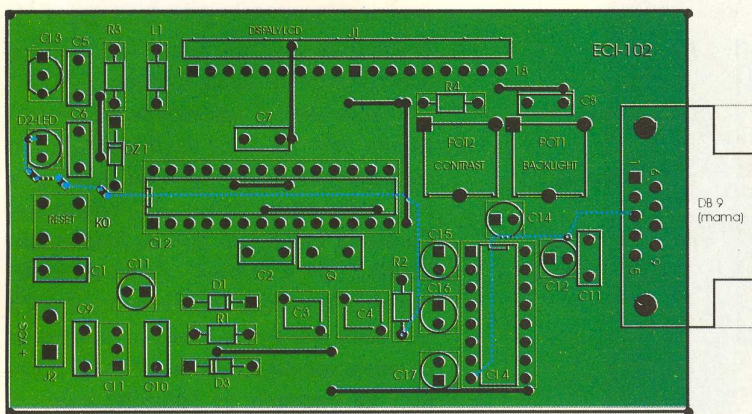
Schema electrică a

termometrului

electronic



**Fig. 2**  
Desenul  
cablajului  
imprimat (1 : 1)



**Fig. 3**  
Desenul de  
amplasare  
a compo-  
nentelor

convertorul analog-digital, corespunzătoare temperaturii de 0°C (1,375V / 4,8828mV ≈ 282);

- 4,6 reprezintă valoarea oferită de convertorul analog-digital corespunzătoare coeficientului de temperatură de 22,5mV/ °C (22,5mV / 4,8828mV = 4,60);

Întrucât un calcul în virgulă mobilă este mai greu de realizat, este utilizat un artificiu prin care rezultatul poate fi obținut prin simple instrucțiuni de adunare și scădere:

$$T = (U_{CAD} - 282) \cdot \frac{10}{46}$$

Valoarea obținută este trunchiată și afișată pe display-ul LCD.

Tensiunea de referință a convertorului analog-digital are valoarea de +5Vcc și este preluată din tensiunea de alimentare stabilizată a întregului montaj prin intermediul filtrului L1-C7. În cazul în care nu se dispune de o asemenea bobină (deși poate fi procurată de la Magazinul Conex Electronic la prețul de numai 5500 lei), poate fi înlocuită cu un simplu rezistor de 100Ω.

Circuitul de RESET al microcontrolerului este format din componente R1, D1, K0 și C1. Cristalul de cuarț utilizat are frecvența de

rezonanță de 7,3728MHz și a fost ales pentru o comunicație serială cu rata de baud de 9600, cu eroare zero.

• Afișajul cu cristale lichide (LCD) este din seria PVC, fiind testate două componente: PVC 160205Q (2x16 caractere, backlight) și PVC 160203P (2x16 caractere, fără backlight). Contrastul dorit este reglat din potențiometrul POT2 cu valoarea de 10kΩ, iar gradul de iluminare (backlight-ul) este stabilit din potențiometrul POT1 cu valoarea de 100Ω. Textul afișat este: "TEMPERATURA MĂSURATĂ: xxxx °C". Deoarece comanda unui afișaj LCD a fost descrisă pe larg în paginile Revistei Conex Club numerele 11, 12/2002 și 1/2003 nu va fi reluată în acest articol dar se va descrie numai modul de afișare al valorilor de temperatură: după scrierea textului de mai sus, cursorul afișajului se poziționează la sfârșitul valorii de temperatură afișată inițial; după fiecare întrerupere de Timer în care este inițiată o conversie analog digitală - deci după măsurarea temperaturii -, cursorul este deplasat spre stânga cu patru poziții și se va scrie noua valoare de temperatură obținută (compusă din semn plus trei cifre semnificative), direct peste valoarea afișată anterior.

Lipsa senzorului de temperatură (sau defectarea acestuia) va fi semnalizată utilizatorului prin afișarea textului: "SENZOR AN22100ST DECONECTAT"; din punct de vedere electric lipsa senzorului înseamnă obținerea unei tensiuni cu valoarea de 0V la intrarea convertorului analog digital, deci în afara intervalului normal de 0,25 ... 4,75V. Pentru evitarea unui potențial de tensiune flotant la pinul de intrare al CAD, este montat rezistorul R5 cu valoarea de 1 - 2,7MΩ, direct pe fața cu lipituri a cablajului.

• Circuitul integrat A7805 (varianta de 1A) realizează stabilizarea tensiunii de alimentare la valoarea de +5Vcc și este utilizat într-o schemă tipică.

• Interfața serială cu calculatorul utilizează circuitul integrat MAX232 (sau orice alt echivalent). Valoarea condensatoarelor C14, C15, C16 și C17 poate varia între 0,1µF și 10µF, în funcție de producătorul acestui circuit. Valoarea de 10µF a fost aleasă acoperitor. Conectarea la calculator este realizată prin intermediul unui conector DB9 mamă.

În figurile 2 și 3 sunt prezentate desenele cablajului imprimat și de amplasare a componentelor.

### Interfață grafică

#### pentru PC

Pentru afișarea valorii de temperatură pe ecranul calculatorului este utilizată interfața grafică din figura 4, realizată în mediul de programare Visual Basic 6 sub forma unui fișier executabil.

**În mod automat după lansarea în execuție, interfața grafică este minimizată și apare în bara de programe a Windows-ului.** Deoarece în bara de titlu a interfeței grafice este afișată temperatura măsurată, și în bara de programe a Windows-ului va apărea această valoare. Aplicația poate fi rulată astfel minimizat, fără a afecta lucrul cu alte programe.

Prin restaurarea formei de lucru (click cu mouse-ul pe forma minimizată), va fi focalizată interfața grafică din figura 4, prin care utilizatorul dispune de câteva facilități:

- Prin elementul de meniu "GRADE" (figura 5), poate fi aleasă unitatea de măsură a temperaturii (grade Celsius - C, grade Fahrenheit - F sau grade Kelvin - K), programul rulând o procedură de conversie specifică;



**Fig. 4**  
Interfața grafică  
a programului de  
afișare a valorii de  
temperatură

$$T^{\circ C} = (T^{\circ F} - 32) \frac{5}{9};$$

$$T^{\circ F} = \left( T^{\circ C} \right) \frac{9}{5} + 32;$$

$$T^{\circ K} = T^{\circ C} + 273,15;$$

- Prin elementul de meniu "COM" (figura 6) poate fi selectat portul serial prin care se realizează receptia valorilor transmise de microcontroler.

Comunicația serială între termometru și calculator este detectată automat. În cazul în care comunicația este întreruptă un interval de timp mai mare de 1s, în locul valorii de temperatură va apărea textul "RS232...", cu punctele zecimale afișate succesiv.

- Pentru afișarea unei valori de temperatură diferită față de valoarea măsurată cu o constantă întreagă (pozitivă sau negativă), a fost introdusă o funcție de compensare. Constanta este setată prin controalele Spin Button "Up" și "Down". Aducerea acestei constante la valoarea 0 poate fi făcută și prin efectuarea unui simplu "click" cu mouse-ul pe suprafața controlului etichetat "COMPENSARE". **Ca exemplu de aplicație, poate fi afișată valoarea temperaturii joncțiunii unui dispozitiv semiconductor, prin măsurarea temperaturii capsulei acestuia.** Bineînțeles, diferența de temperatură dintre joncțiune și capsulă (care se va atribui constantei de compensare), va fi în prealabil calculată, cunoșând rezistența termică dintre joncțiune și capsulă  $R_{th J-C}$  și puterea dissipată de dispozitivul semiconductor.

- Prin controalele Command Button etichetate M+ și M- este afișată cea mai mare valoare pozitivă și cea mai mică valoare negativă, înregistrate în timpul măsurătorilor. Timpul de afișare al acestor valori este de aproximativ 3s, după care este reluată automat afișarea temperaturii măsurate.

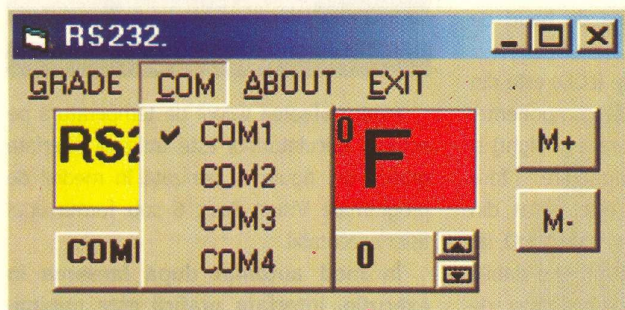
Oprirea aplicației poate fi făcută prin meniu "EXIT", unde utilizatorul este chestionat printr-o fereastră de dialog dacă dorește acest lucru (figura 7).

Toate componentele acestei aplicații pot fi procurate de la Magazinul Conex Electronic, iar cablajul a fost realizat de ElkConnect Int'l.

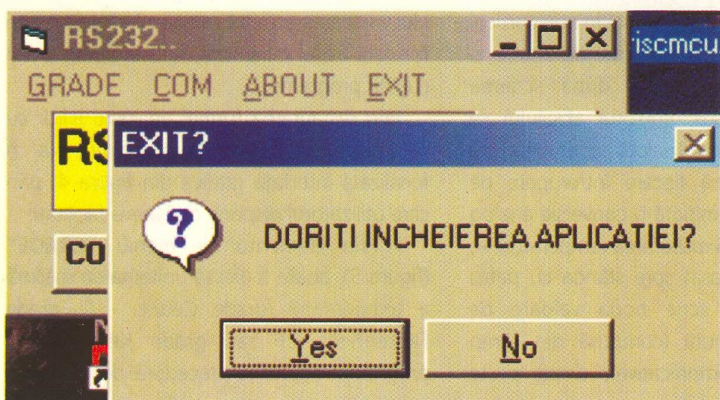
Programul aplicației poate fi obținut gratuit prin email: [productie@conexclub.ro](mailto:productie@conexclub.ro).



**Fig. 5**  
Desfășurarea  
elementului de  
meniu "GRADE"



**Fig. 6**  
Selectarea portului serial  
pentru comunicația  
termometru - calculator



**Fig. 7**  
Fereastra de  
dialog pentru  
oprirea  
aplicației



# COLECȚIE

**ConexClub**

Colecție 1999-2000\*

**190.000 lei**

Colecție 2001

**190.000 lei**

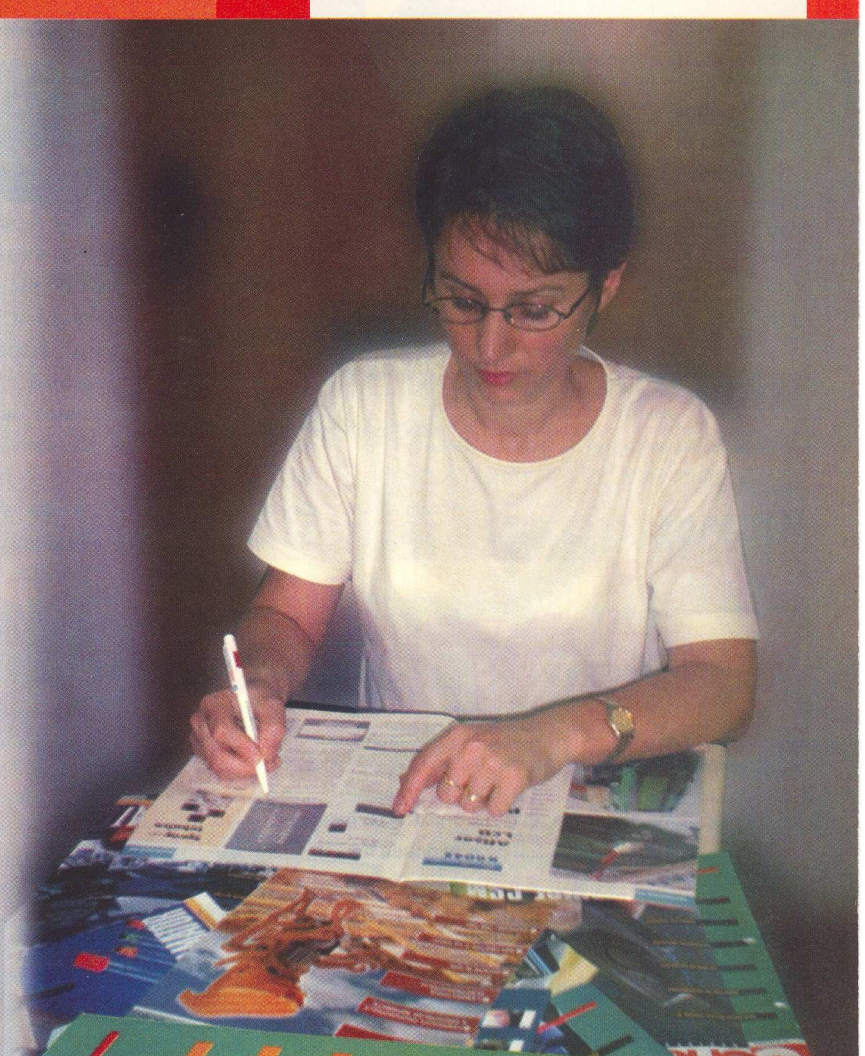
Colecție 2002

**190.000 lei**

Colecție 1999-2002\*

**490.000 lei**

\*Excepție numerele 7 și 8/2000



# 3 MODURI PENTRU A PRIMI REVISTA



**Atenție!** Începând cu luna ianuarie 2003 prețurile abonamentelor s-au modificat conform prezentului talon. NU vor mai fi luate în considerare taloane din numerele anterioare!!!

PENTRU OBȚINEREA REVISTEI

TRIMITEȚI TALONUL COMPLETAT

ȘI CONTRAVALOAREA ABONA-

MENTULUI (PREȚUL ÎN LEI) PE

## ADRESA

**Claudia Ghiță**

Revista **ConexClub**

Str. Maica Domnului 48,

sector 2, București,

Cod poștal 72223

**1) Abonament pe 12 luni**  
300 000 lei

**2) Abonament pe 6 luni**  
180 000 lei

**3) Angajament:**  
**plata lunar, ramburs**  
(prețul revistei plus taxe de expediere)

Revista Conex Club se expediază folosind serviciile Companiei Naționale Poșta Română. În cazul în care nu primiți revista sau primiți un exemplar deteriorat vă rugăm să luăți legătura cu redacția pentru remedierea neplăcutei situații.

# ConexClub

**TALON DE  
ABONAMENT**

Doresc să mă abonez la revista ConexClub începând cu nr. .... / anul ..... pe o perioadă de:

12 luni     6 luni

Am achitat mandatul poștal nr. ..... din data ..... suma de:  300 000 lei  
.....  180 000 lei

Nume ..... Prenume .....

Str. ..... nr. .... bl. .... sc. .... et. .... ap. ....

Localitatea ..... Județ / Sector .....

Cod poștal ..... Tel. : .....

Data ..... Semnătura .....

# ConexClub

**TALON DE  
ANGAJAMENT**

Doresc să mi se expedieze lunar, cu plata ramburs, revista ConexClub. Mă angajez să achit contravaloarea revistei plus taxele de expediere.

Doresc ca expedierea să se facă începând cu nr. .... / .....

Nume ..... Prenume .....

Str. ..... nr. .... bl. .... sc. .... et. .... ap. ....

Localitatea ..... Județ / Sector .....

Cod poștal ..... Tel. : .....

Data ..... Semnătura .....

# SOLUTII RADIO PROFESSIONALE

YAESU

*...leading the way* SM

FT-920

FT-847

FT-90R

FT-100D

VR-5000

VX-2000

VX-800

VX-400

VR-500

VX-7R

VX-5R

VX-1R

Gama completa de echipamente pentru radioamatori <

Retele radio private pe frecvențe proprii cu stații fixe / mobile / portabile <

Acces radio mobil în centrale telefonice de instituție <

Telefon: (021) 255.79.00, 01, 02

Fax: (021) 255.46.62

E-mail: office@agnor.ro,

Web: <http://www.agnor.ro>

București, Lucrețiu Patrascu nr. 14, bl. MY3



**AGNOR HIGH TECH**

**PROXXON**

**MICROMOT**

System

Z  
O  
X  
O  
R  
D

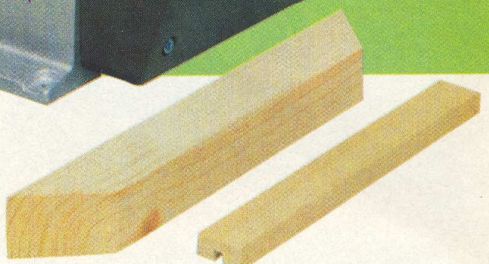
## Mașină de rindeluit cu reglaj de grosime **DH40**

Cod 27040

Preț 22.700.000 lei

### Date tehnice:

- Tensiune alimentare: 220-240V;
- Putere: 200W;
- Turatie: 6000 rot/min;
- Viteză avans: 4,8m/min;
- Lungime masă: 232mm;
- Dimensiuni: 280 x 230 x 235mm;
- Greutate: cca. 8kg;
- Set cutite de schimb: 82mm lungime (cod 27042,  
**preț 410.000 lei**)



## Mașină pentru modelat lemn **MT300**

Cod 27050

Preț 9.750.000 lei

### Date tehnice:

- Tensiune de alimentare: 220-240V;
  - Putere: 100W;
  - Turatie: 30.000 rot/min;
  - Dimensiuni masă: 300 x 140mm;
  - Greutate: 2,5kg.
- Operația de modelare se realizează cu freze de diverse tipuri.



→ Freză ø6,4mm  
Cod 28356

Preț 540.000 lei

→ Freză ø6,4mm  
Cod 28358

Preț 650.000 lei

→ Freză ø3mm  
Cod 28354

Preț 540.000 lei

→ Freză ø10mm  
Cod 28350

Preț 650.000 lei

→ Freză ø10mm  
Cod 28352

Preț 650.000 lei

# Încărcător de acumulatoare – circuitul MC33340 –

Ştefan Laurențiu, YO3GWR  
stefan\_l\_2003@yahoo.com

Mic, mic dar voinic...Cam asta se poate spune despre circuitul integrat

MC33340 sau ruda sa apropiată

MC33342. Circuitele, fabricate de

Motorola, în prezent

ON Semiconductor, oferă o soluție

comodă și ieftină pentru încărcarea

rapidă a unor acumulatoare NiCd sau

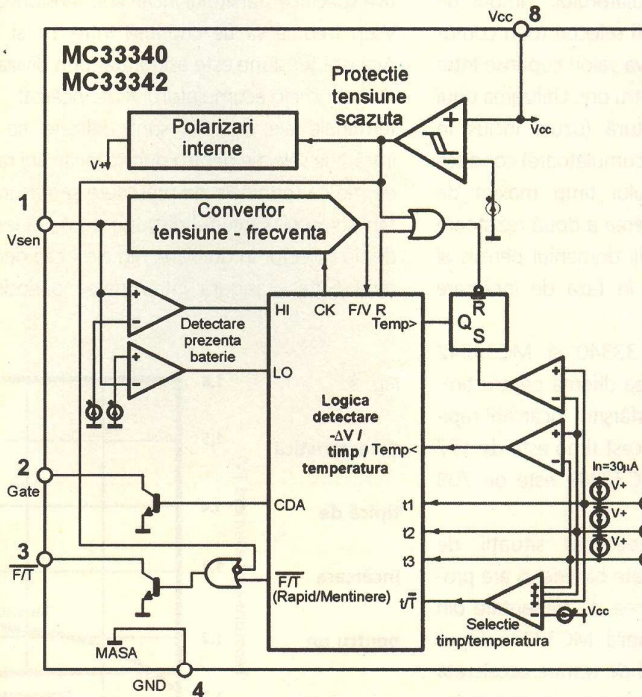
NiMH de capacitate mică și tensiuni

reduse.

**B**ateriile cu NiCd sau cu NiMH necesită circuite precise de stabilire a stării de încărcare pentru a maximiza capacitatea acumulatorului și durata sa de viață. Încărcarea rapidă trebuie realizată astfel încât să se prevină supraîncărcarea acumulatorului care duce la scăderea duratei de viață a bateriei. Deoarece majoritatea aplicațiilor care utilizează acumulatoare sunt destinate aparatelor portabile sau mobile care solicită încărcarea rapidă a acumulatoarelor, apare necesitatea utilizării (redundante) a cel puțin două

metode de detectie a terminării încărcării. De asemenea se impune oprirea încărcării rapide dacă tensiunea pe acumulator sau temperatura acestuia nu sunt în limitele admise.

Circuitul MC3334x (MC33340 sau MC3342) poate constitui piesa de bază la realizarea unui încărcător rapid automat. Decizia de a încheia ciclul de încărcare rapidă se ia prin măsurarea precisă a tensiunii bateriei (încărcarea fiind periodic întreruptă pentru o măsurare exactă) și detectarea pantei negative caracteristice atingerii capacității optime.



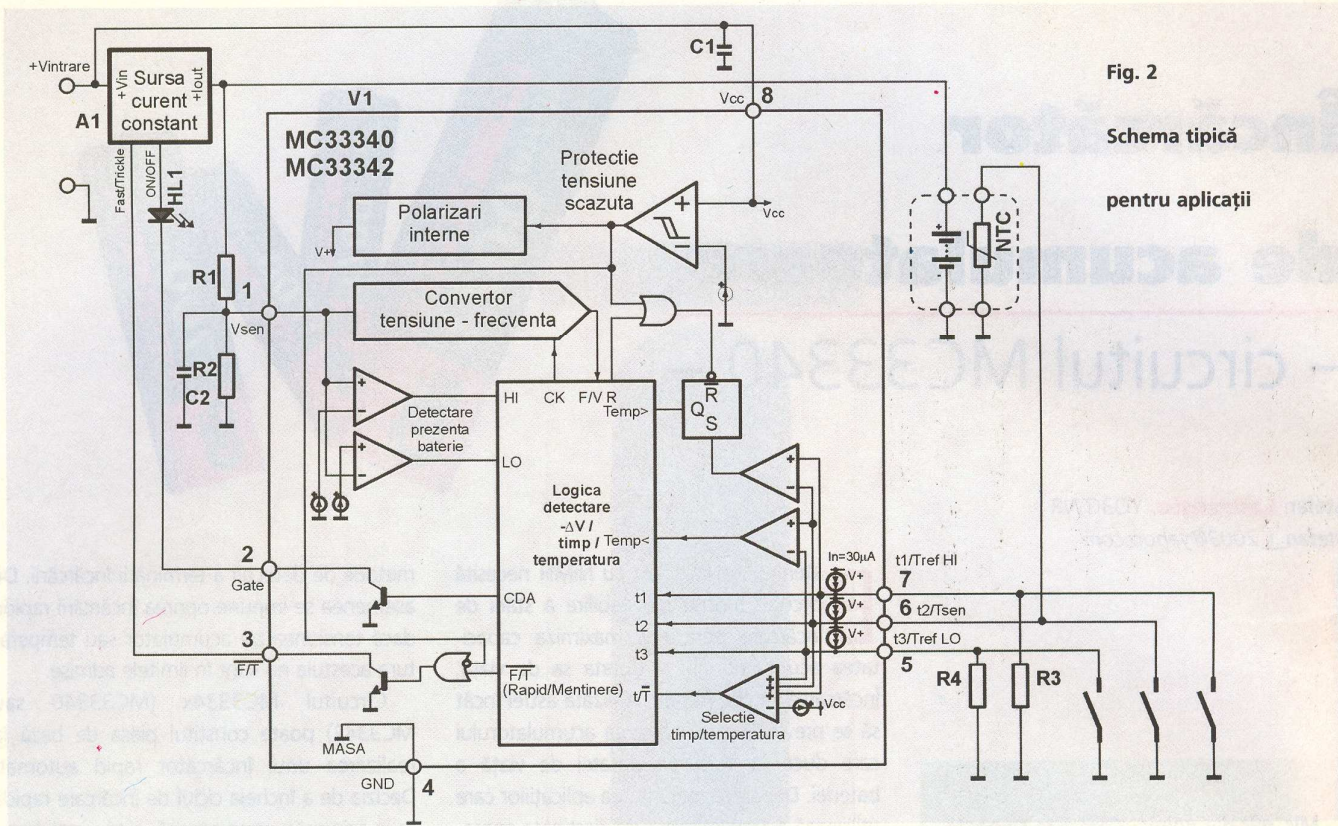


Fig. 2

Schema tipică  
pentru aplicații

Circuitul poate decela o pantă negativă în caracteristica de încărcare de cca. 4mV. Un alt criteriu de terminare a încărcării, de rezervă, este fie criteriul timp total de încărcare rapidă, fie temperatura acumulatorului. Timpul de încărcare rapidă poate fi selectat (prin comutatoare externe) la câteva valori cuprinse între (aproximativ) o oră și patru ore. Utilizarea unui traductor de temperatură (uzual inclus în ansamblul bateriei de acumulatoare) conduce la dezactivarea criteriului timp maxim de încărcare; prin introducerea a două rezistoare reglabile se poate stabili domeniul permis al temperaturilor bateriei în faza de încărcare rapidă.

Diferența între MC33340 și MC33342 constă numai în valoarea diferită pentru timpul de așteptare de la sfârșitul încărcării rapide. Pentru MC33340 acest timp este de 177 secunde, iar pentru MC33342 este de 708 secunde.

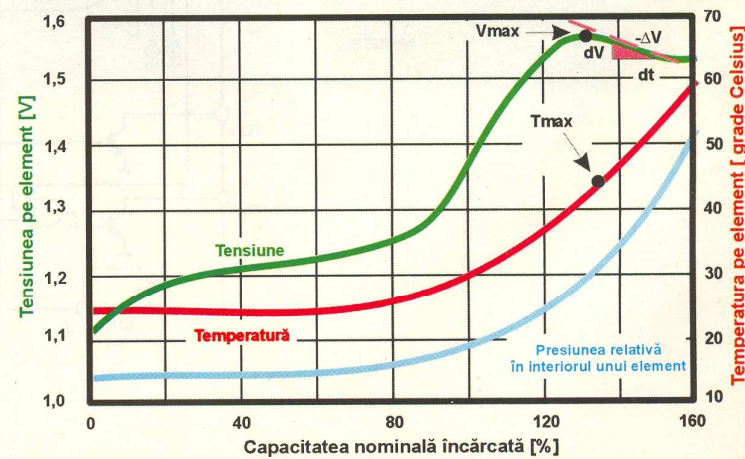
MC3334x poate detecta situații de sub/supratensiune aplicate bateriei și are protecție internă la tensiunea de alimentare din rețea sub limita acceptabilă. MC3334x dispune de un ingenios mod de testare accelerată a temporizărilor, mod care nu necesită tempi de așteptare de ordinul zecilor de minute sau ore.

Schema bloc a circuitului integrat este<sup>[1]</sup>

cea din figura 1. Tensiunea bateriei este monitorizată la terminalul Vsen, conectat intern la un convertor tensiune-frecvență și la circuitul care determină apariția pantei negative specifice sfârșitului încărcării. Tensiunea la Vsen trebuie să fie cuprinsă între 1V și 2V. Această tensiune este asigurată, prin divizare, de la bornele acumulatorului de încărcat. Trei terminale ale capsulei sunt utilizate fie ca intrări de selecție pentru durata încărcării rapide, fie ca terminale de prescriere și măsură a temperaturii. Circuitul dispune de două ieșiri, de tip colector în gol. Una din ele - cea denumită Gate - asigură întreruperea periodică,

pentru durată foarte scurtă a încărcării, pentru măsurarea precisă a tensiunii pe acumulator. Această metodă previne erorile cauzate de căderile de tensiune din circuit cauzate de curentul (mare) de încărcare sau alte zgomote parazite asociate. Cealaltă ieșire activează/dezactivează încărcarea rapidă; sursa de curent care încarcă acumulatorul este externă circuitului integrat și trebuie să aibă un terminal de control (de tip pornit/oprit). O schemă tipică de aplicație se poate vedea în figura 2. Circuitul începe încărcarea rapidă la aplicarea tensiunii de alimentare din rețea. Întreruperea încărcării rapide (și trecerea pe

Fig. 3  
Caracteristică  
tipică de  
încărcare  
pentru un  
acumulator  
NiCd



**Tabelul 1**

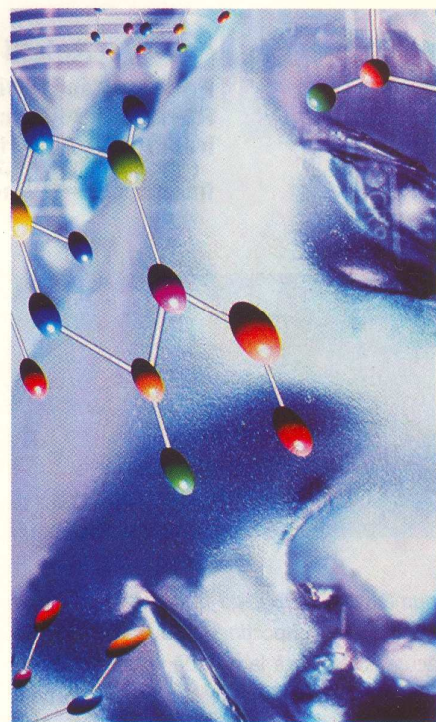
T înc [min]	S1	S2	S3
283	OFF	OFF	OFF
247	ON	OFF	OFF
212	OFF	ON	OFF
177	ON	ON	OFF
141	OFF	OFF	ON
106	ON	OFF	ON
71	OFF	ON	ON

Încărcare de menținere - *trickle charge*) poate surveni în urma apariției uneia din următoarele trei situații: tensiunea la terminalul V<sub>SEN</sub> este sub 1V (baterie cu elemente scurtcircuite) sau peste 2V (lipsește bateria), este detectată o pantă negativă a tensiunii pe baterie sau fie s-a depășit durata maximă permisă pentru încărcarea rapidă, fie temperatura bateriei este în afara limitelor permise. Revenirea la încărcarea rapidă se face la revenirea tensiunii pe baterie în domeniul de 1V...2V, după ce inițial fusese în afara acestui domeniu, la reinitializarea logicii de temporizare prin oprirea și re-pornirea alimentării circuitului, sau la revenirea temperaturii acumulatorului în domeniul permis, dar numai dacă anterior temperatura fusese prea mică pentru încărcarea rapidă.

O caracteristică tipică de încărcare<sup>[1]</sup> pentru un acumulator NiCd este cea din figura 3. Se poate observa creșterea temperaturii interne a acumulatorului și a presiunii din interiorul elementului odată cu terminarea încărcării. Este indicată, pe curba de tensiune pe element, panta negativă care apare după terminarea încărcării.

Circuitul care detectează panta negativă din caracteristica de încărcare dispune de un convertor tensiune - frecvență, un circuit de eșantionare și un numărător special. Intrarea V<sub>SEN</sub> asigură o impedanță mai mare de  $5\Omega$  și permite utilizarea unor rezistoare de valoare mare în divizorul de intrare, rezistoare care să constituie o sarcină neglijabilă pentru acumulator în cazul în care acesta rămâne conectat la încărcător în lipsa tensiunii de rețea.

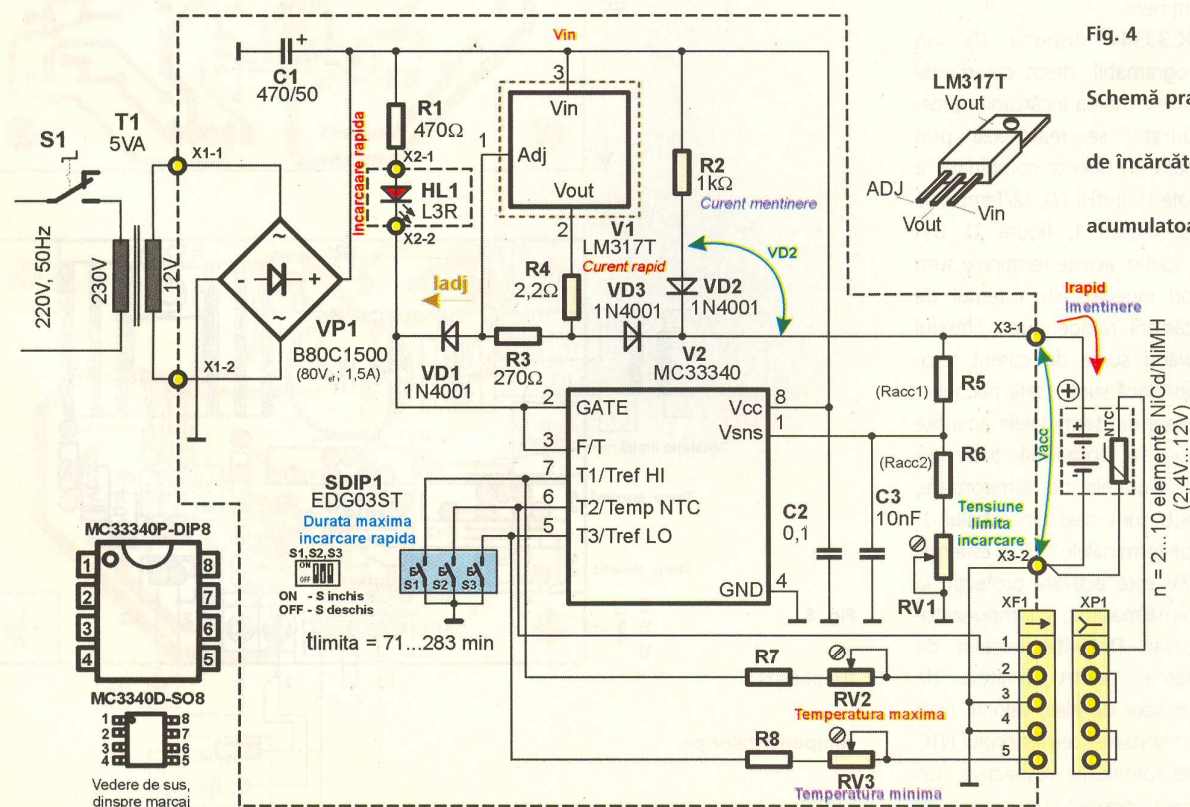
Pe intrarea V<sub>SEN</sub> este posibilă aplicarea unor tensiuni cuprinse între 0 și 2V, accidental între -0,6V și 10V. Pentru a obține precizia maximă de sesizare a terminării încărcării (4mV) divizorul rezistiv conectat la V<sub>SEN</sub> trebuie să asigure o tensiune apropiată de 2V când acumulatorul este complet încărcat. La stabilirea valorii divizorului mai trebuie luate în considerare variațiile tensiunii acumulatorului (de la un fabricant la altul) și variațiile cu



temperatura.

Circuitul de eșantionare permite măsurarea la fiecare 1,38s a tensiunii pe baterie, întrerupând pentru 33ms încărcarea rapidă.

ACTIONAT DE UN SEMNAL DE TACT,

**Fig. 4****Schemă practică****de încărcător pentru****acumulatori NiCd**

Vedere de sus,  
dinspre marcat

## Relații de calcul

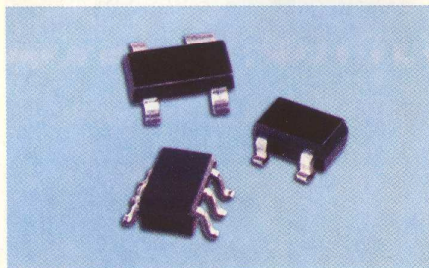
$$R_{acc2} = R_{acc1}[(V_{acc}/V_{sen}) - 1] \quad (1.1)$$

$$R_6 + RV1 = R5[(V_{acc}/V_{sen}) - 1] \quad (1.2)$$

$$I_{rapid} = [V_{refLM317} + (I_{adj} \times R3)]/R4 \quad (2)$$

(tipic  $V_{refLM317} = 1,25V$ ,  $I_{adj}=50\mu A$ )

$$I_{mentinere} = [(V_{in} - VD2 - V_{acc})/R5] \quad (3)$$



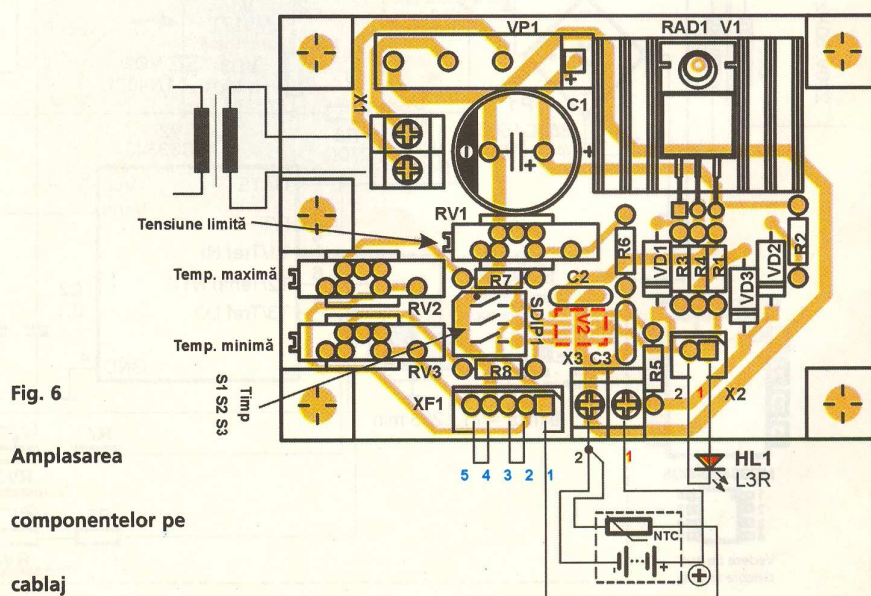
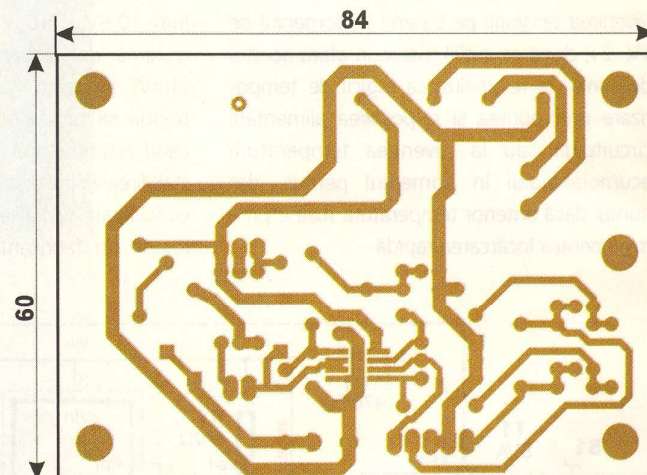
numărătorul stochează la fiecare **măsurare**, un număr proporțional cu tensiunea pe acumulator. Dacă la o nouă **măsurare** acest număr este mai mare decât precedentul, noul eșantion devine valoarea de vârf de referință pentru următoarea **măsurare**. Dacă la o nouă **măsurare** numărătorul conține un număr mai mic se înregistrează un eveniment numit "scădere de tensiune". Dacă acest lucru se întâmplă de două ori la rând încărcarea rapidă se consideră terminată și circuitul comută de pe încărcare rapidă pe încărcare de menținere.

Circuitul MC3334x dispune de un temporizator programabil, drept criteriu de siguranță pentru terminarea încărcării rapide. Programarea duratei se realizează prin conectarea la masă, în diferite combinații, a celor trei terminale t1/TrefHi (7), t2/TtempNTC (6), t3/TrefLo (5) (figura 1, figura 2). Din considerente de spațiu, aceste terminale sunt partajate în mod ingenios cu sistemul de terminare a încărcării rapide după criteriu temperatură. Având surse de curent (cca. 0,03mA - *pull up*) dacă sunt lăsate neconectate la masă, fiecare din terminalele amintite indică circuitului de comandă activarea temporizatorului. Duratele de temporizare, rotunjite la minut, sunt cele din tabelul 1. Dacă tensiunea pe terminalele 7, 6, 5 este mai mică de  $V_{cc}-0,7V$  este activată protecția la temperatură minimă/maximă, și temporizatorul este dezactivat. Datorită surselor de curent, rezistoarele pentru limitele de temperatură sunt ușor de ales, valorile fiind egale cu cele ale rezistenței termistorului NTC de măsură la temperaturile respective. Un comparator sesizează prezența unei situații de

temperatură minimă, caz în care încărcătorul trece pe încărcare de menținere, urmând a relua încărcarea rapidă odată cu revenirea temperaturii în limite acceptabile. Comparatorul are un histerezis de 44mV pentru a spori imunitatea la zgomote. Există posibilitatea ca, la temperaturi extrem de scăzute rezistența termistorului NTC să devină atât de mare încât tensiunea la terminalul 6 să crească peste  $V_{cc}-0,7$  și să se activeze (fals) temporizarea. Pentru a preveni această

situație, dacă se impun limite atât de mari de variație a temperaturii bateriei, să se plaseze un rezistor în paralel cu termistorul NTC, pentru a preveni creșterea rezistenței peste limită. Un al doilea comparator sesizează creșterea temperaturii acumulatorului peste limita superioară (figura 3), setând un bistabil intern care conduce la oprirea încărcării rapide. Datorită bistabilului încărcătorul nu poate reveni la încărcare rapidă, chiar dacă temperatura acumulatorului scade sub cea limită. Acest mod de funcționare previne supraîncărcarea acumulatorului prin activarea periodică a limitei de temperatură, urmată de răcire, din nou supraîncărcare etc. Bistabilul poate fi readus la starea care permite încărcarea rapidă doar după oprirea și repornirea alimentării sau prin scoaterea din circuit a acumulatorului și reintroducerea lui.

**Fig. 5**  
Cablajul pentru  
schema de încărcător  
din figura 4



**Tabelul 2**

Tip	Cost relativ
LM317T	1
MC33340D (SMD)	1,63

Dacă se dorește ca încărcătorul să nu utilizeze nici criteriul timp, nici criteriul temperatură (drept măsură de protecție la supraîncărcare) acest lucru se poate realiza dezactivând circuitele de comandă respective prin polarizarea intrării t3/TrefLO la o tensiune mai mare decât aceea a terminalului t2/TempNTC și conectând la masă terminalul t1/TrefHI.

Dacă nu se dorește utilizarea detectorului pantei negative (de exemplu se utilizează criteriul temperatură drept unică modalitate de terminare a încărcării rapide) se poate resetă periodic logica de detecție. Aceasta se realizează prin polarizarea intrării Vsen la o tensiune de cca. 1,5V din bateria de acumulatoare, printr-un divizor rezistiv conectat între plusul acumulatorului și masă. Terminalul de ieșire Gate este conectat împreună cu Vsen.

În practică, testarea temporizărilor circuitului ar necesita un timp prea lung (peste 280min). Pentru verificare circuitul este comutat într-un mod special de lucru. Aceasta se realizează prin aplicarea unei tensiuni mai mici de 1V la intrarea Vsen. Atunci ceasul intern al circuitului își crește frecvența, temporizările putând fi măsurate prin măsurarea întârzierii în propagare a unui semnal de la intrare Vsen la ieșirea F/T. Timpii cuprinși între 71 minute și 283 minute corespund acum unor durate cuprinse între 8,1 și 32,3 milisecunde.

Este posibil să se intre, fără intenție, în acest mod de test, atunci când tensiunea

echivalentă a bateriei la terminalul Vsen scade sub 1,0V și se realizează o anumită configurație a intrărilor t1, t2, t3. Aceasta nu reprezintă o problemă, deoarece circuitul consideră (după timpii de întârziere nesemnificativi, de ordinul milisecundelor) că bateria are un element scurtcircuitat și trece automat în modul de încărcare de menținere, cu un curent nepericulos.

**În figura 4 se arată o schemă practică de încărcător de acumulatoare NiCd**, pentru un curent de încărcare rapidă de cca. 0,5A. Se utilizează un circuit MC33340. Se folosește drept sursă de curent constant pentru încărcare rapidă un circuit stabilizator de tensiune de tip LM317T (V1). Față de o sursă de curent realizată cu tranzistoare bipolare **acest circuit are avantajul protecției termice încorporate și simplitatea comutării pornit/oprit** și dezavantajul necesitării unei tensiuni mai mari pe rezistorul de prescriere a curentului (R4). Relațiile de calcul pentru determinarea valorilor componentelor în funcție de necesitățile concrete sunt cele din casetă. Curentul de încărcare de menținere este asigurat din sursa de intrare prin R2 și VD2. Acesta este de cca. 4mA...10mA (în funcție de numărul de elemente de acumulator încărcate). Alimentarea se face de la un transformator de rețea, amplasat în exterior. De la comutatoarele din compoziția SDIP1 se prescrie durata maximă de încărcare rapidă, conform datelor din tabelul 1. Din potențiometrul semireglabil RV1 se reglează o tensiune apropiată de 2V pentru tensiunea maximă de încărcare permisă, pentru a beneficia de întreaga rezoluție a circuitului

MC33340.

Dacă se dorește inhibarea criteriului timp maxim de încărcare rapidă și validarea criteriului temperatură pe acumulator (de exemplu, unele baterii de acumulatoare de la scule portabile utilizează această metodă drept singura modalitate de terminare a încărcării) se introduce conectorul XF1/XP1 prin care se preia semnalul de la termistorul NTC din bateria de acumulatoare. Potențiometrele semireglabile RV2, RV3 se regleză pentru o valoare a rezistenței egală cu a termistorului utilizat la temperaturile limită: inferioară - încărcarea rapidă nu este permisă - este prea frig și superioară - încărcare rapidă terminată pe criteriu temperatură a acumulatorului.

Pe durata încărcării rapide dioda LED HL1 luminează cvasi-intermitent, deoarece la cca. 1,4s se stinge pentru un timp foarte scurt (se întrerupe încărcarea rapidă pentru eșantionarea corectă a tensiunii pe acumulator). După terminarea încărcării rapide LED-ul se stinge.

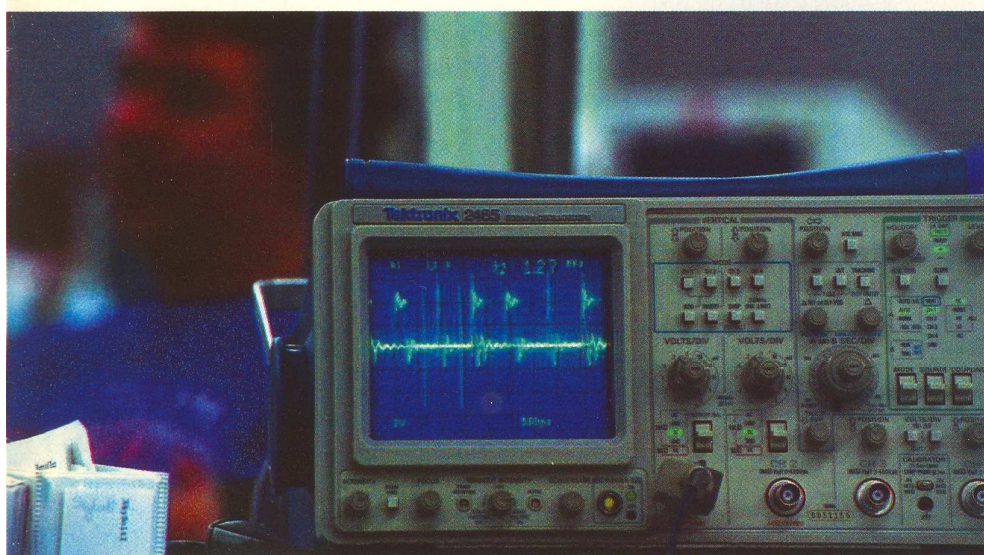
Cablajul încărcătorului este cel din figura 5, și este simplu strat. Dispunerea componentelor și conexiunile cu exteriorul trebuie făcute ca în figura 6. S-a prevăzut un spațiu de montare mai mare pentru puntea redresoare, pentru a putea monta diferite tipuri, eventual de putere mai mare. **Circuitul integrat MC33340, disponibil la noi doar în capsulă SMT, trebuie montat cu atenție, pe spatele cablajului, pe față cu lipituri.** Cu o vedere bună și un vârf de letcon de mică putere, ascuțit sau completat cu o bucată de sărmă de cupru înfășurată pe vârf, operațiunea nu este imposibilă. Dacă se dispune de o stație de lipit manual componente SMT, cu atât mai bine.

În cazul în care curentul de ieșire este mai mare, este posibil să apară necesitatea montării circuitului LM317 pe un radiator extern cablajului imprimat și amplasării în exterior a rezistorului R4. O idee bună este de a monta V1 și rezistorul R4 pe terminale de lipire, asigurând astfel ușor "transferul" lor în exteriorul cablajului.

În ceea ce privește costul, în tabelul 2 se poate vedea cam cât costă circuitul MC33340, raportat la un LM317 obișnuit. ♦

#### Bibliografie

- \*\*\*, MC33340, MC33342, Battery Fast Charge Controllers, Semiconductor Components Industry, ON Semiconductor, aprilie 2001, <http://onsemi.com>;



**Circuitele integrate audio de mică**

putere sunt utilizate azi la scară largă

în aparatelor electronice de larg

consum. Prezentăm un model, realizat

de National Semiconductor, destinat

special utilizării în etajele audio din

radioreceptoare.

**Descriere generală**

Circuitul integrat LM1896 este un amplificator audio stereo, de mare performanță, cu alimentare la tensiune mică (6V tipic), ce poate oferi 1W/canal pe o sarcină de  $4\Omega$  sau 2W pe o sarcină de  $8\Omega$  la funcționare în punte.

Realizat pe baza unei scheme interne patente (vezi figura 1, în care se prezintă schema internă echivalentă), LM1896 este ideal pentru utilizare în aplicații radio AM (cu modulație de amplitudine) pretențioase, schema internă fiind cu compensare la radiații electromagnetice AM. Prezintă distorsiuni reduse și bandă de zgomot îngustă.

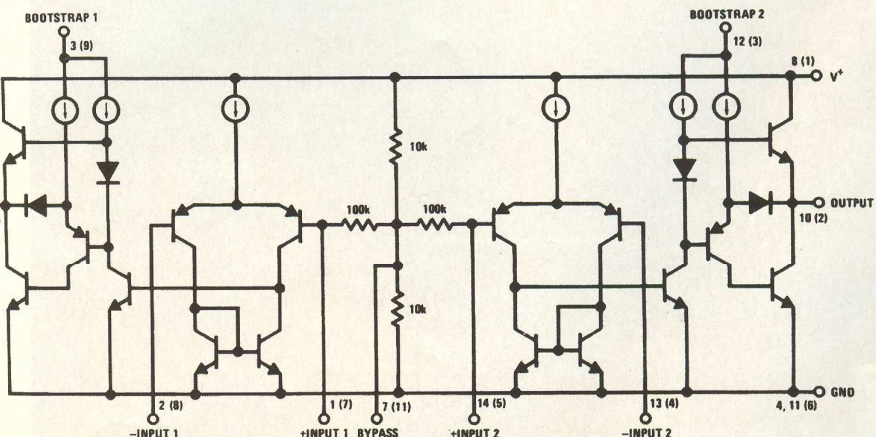
Circuitul este ideal pentru aparatura radio portabilă, alimentarea facându-se cu tensiune cuprinsă între 3 și 9V.

Pentru alimentare la tensiune mai mare de 9V a fost realizat LM2896, disponibil în capsulă SIP (in-line) cu 11 pini, pentru o mai bună disipație a căldurii.

În figurile 2 și 3 se prezintă desenele și semnificația pinilor pentru cele două variante de circuite integrate.

**Fig. 1**

**Schema internă echivalentă a circuitelor**



National Semiconductor

**LM1896 / LM2896****Aplicații**

Croif V. **Constantin**  
redactie@conexclub.ro

pentru a oferi sarcinii mai multă putere. Aceasta se conectază direct între ieșirile amplificatoarelor interne, conform figurii 6, pe care se vor face câteva comentarii. Amp 1 are câștigul în tensiune dat de relația:

$$1 + \frac{R_s}{R_2}$$

Ieșirea la Amp1 "pilotazează" (comandă) intrarea lui Amp 2 ce este configurață ca amplificator inversor cu câștig unitar. Datorită inversării de fază, în Amp 2 există un câștig de 6dB în tensiune față de  $V_i$ . Câștigul în tensiune în configurația puncte este:

$$\frac{V_o}{V_i} = 2 \left(1 + \frac{R_s}{R_2}\right)$$

Condensatorul  $C_B$  previne trecerea componentei continue de la ieșirea lui Amp 1 la intrarea lui Amp 2. Răspunsul la frecvență joasă este dat de:

$$f_L = \frac{1}{2\pi R_s C_B}$$

Trebuie acordată o mare atenție utilizării în configurația puncte, deoarece datorită inver-

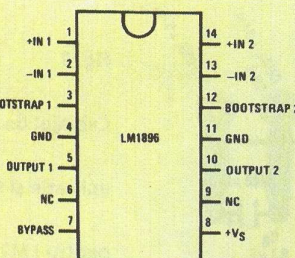


Fig. 2

## Capsula DIP

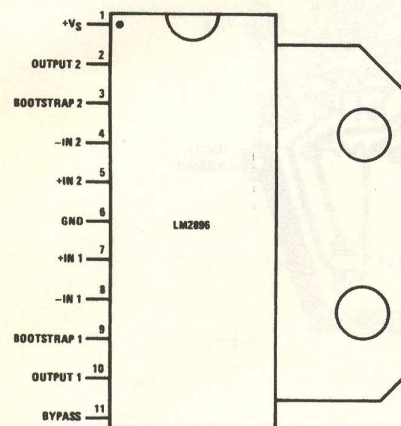


Fig. 3

## Capsula SIP

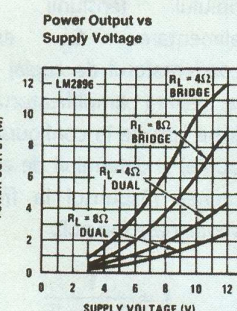


Fig. 4

Puterea de ieșire funcție de tensiunea de alimentare

sării de fază, o sarcină de  $8\Omega$  se comportă ca una de  $4\Omega$ , iar una de  $4\Omega$  ca una de  $2\Omega$ . Puterea disipată se înmulțește cu 2, de exemplu pentru  $V_s = 6V$  și  $R_L = 8\Omega$  în punte, puterea disipată este:

$$P_D = \frac{V_s^2}{20R_L} \times 2 = \frac{6^2}{20 \times 4} \times 2 = 0.9W$$

echivalentă cu cea disipată pe o sarcină stereo (două sarcini) de  $4\Omega$ .

Pentru ajustarea răspunsului în frecvență în configurația punte, se ajustează  $R_5$ ,  $C_5$  și

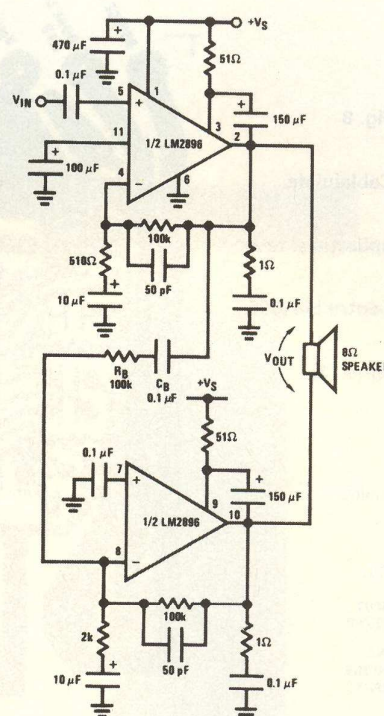


Fig. 5

## Amplificator în punte cu LM2896

$R_{10}$ ,  $C_{10}$ , iar banda este:

$$BW = \frac{0.707}{2\pi RC}$$

unde  $R$  și  $C$  sunt componentele din bucla de reacție.

Se vor prezenta în continuare aplicațiile stereo. Schema tipică este prezentată în figura 7; amplificator stereo cu câștig  $A_V = 200$  și bandă  $BW = 30kHz$ .

Se vor face câteva comentarii asupra componentelor externe. Câștigul în tensiune este dat de  $R_2$ ,  $R_5$  și respectiv  $R_{10}$  și  $R_{13}$ , astfel:  $A_{V1} = 1 + R_5/R_2$  și  $A_{V2} = 1 + R_{10}/R_{13}$ .

Rezistorul  $R_0$  lucrează împreună cu  $C_0$  pentru a asigura stabilitatea semnalului la ieșire, prevenind oscilațiile. Funcție de valoarea lui  $C_1$  (sau  $C_{14}$ ) avem răspunsul la frecvență joasă:

$$f_L = \frac{1}{2\pi R_{IN} \times C_1}$$

De altfel și  $C_2$  (respectiv  $C_{13}$ ), care asigură reacția determinată răspunsul la frecvență joasă:

$$f_H = \frac{1}{2\pi R_2 \times C_2}$$

În fine,  $C_3$  și  $C_{12}$  - condensatoarele de bootstrap determină, după aceeași formulă, răspunsul respectiv.

$C_5$  și  $C_{10}$  sunt condensatoare de compen-

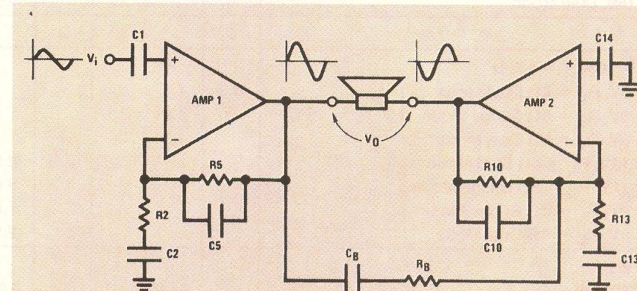
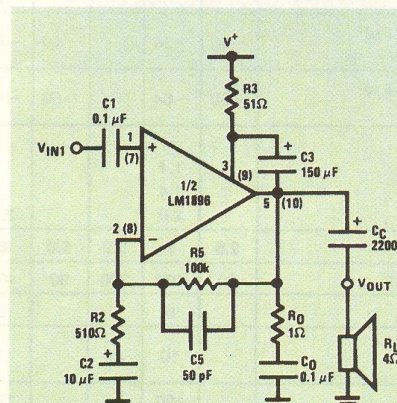
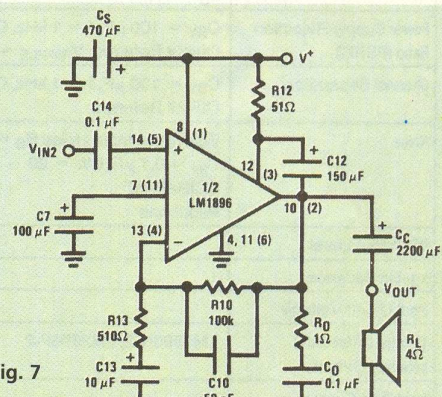


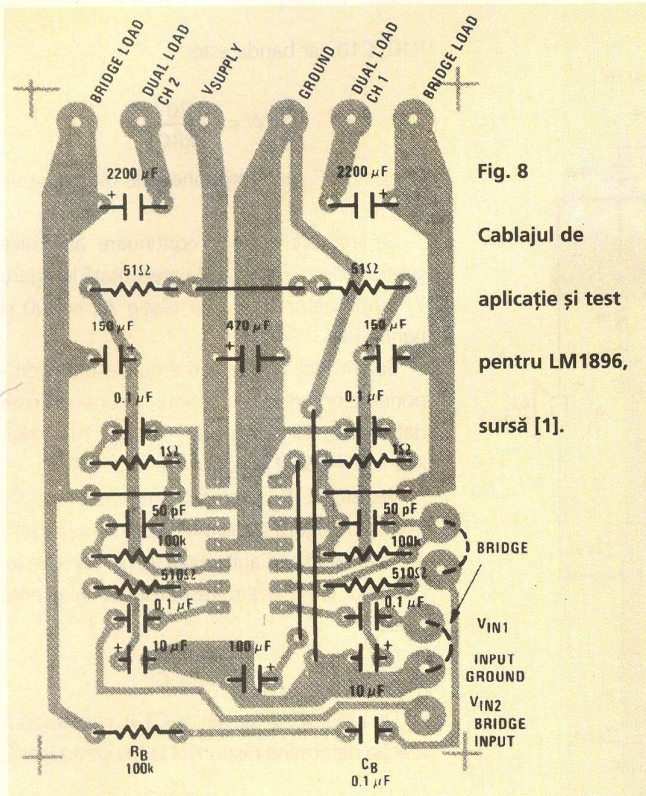
Fig. 6

## Funcționarea amplificatorului în punte

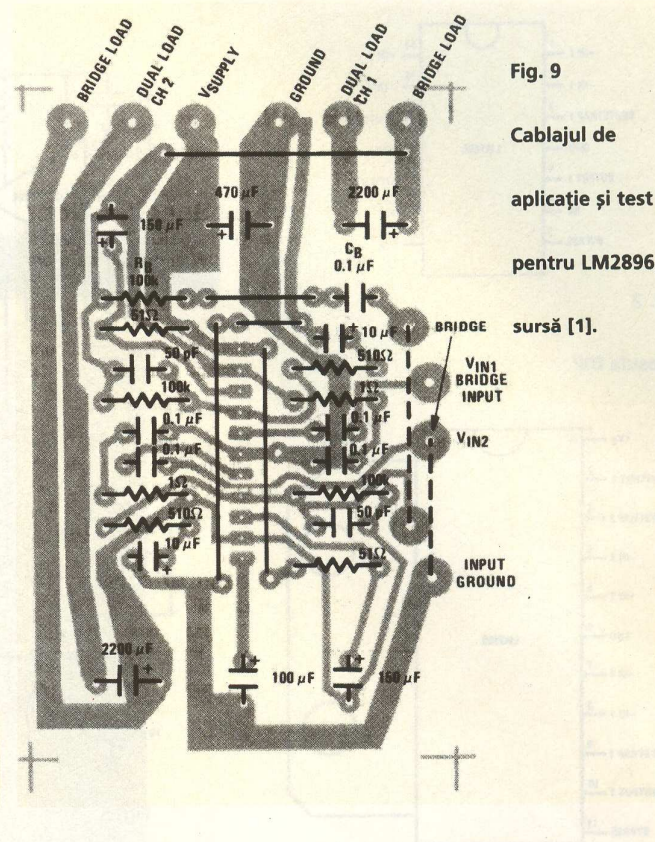


Aplicația stereo





**Fig. 8**  
**Cablajul de**  
**aplicație și test**  
**pentru LM1896,**  
**sursă [1].**



**Fig. 9**  
**Cablajul de**  
**aplicație și test**  
**pentru LM2896,**

**Tabelul 1. Caracteristicile electrice ale circuitelor**

Parameter	Conditions	LM1896			LM2896			Units
		Min	Typ	Max	Min	Typ	Max	
Supply Current	P <sub>O</sub> = 0W, Dual Mode		15	25		25	40	mA
Operating Supply Voltage		3		10	3		15	V
Output Power LM1896N-1 LM1896N-2	THD = 10%, f = 1 kHz V <sub>S</sub> = 6V, R <sub>L</sub> = 4Ω Dual Mode V <sub>S</sub> = 6V, R <sub>L</sub> = 8Ω Bridge Mode V <sub>S</sub> = 9V, R <sub>L</sub> = 8Ω Dual Mode	0.9	1.1 1.8 1.3	2.1				W/ch W W/ch W/ch
LM2896P-1 LM2896P-2	V <sub>S</sub> = 12V, R <sub>L</sub> = 8Ω Dual Mode V <sub>S</sub> = 12V, R <sub>L</sub> = 8Ω Bridge Mode V <sub>S</sub> = 9V, R <sub>L</sub> = 4Ω Bridge Mode V <sub>S</sub> = 9V, R <sub>L</sub> = 4Ω Dual Mode			2.0 7.2	2.5 9.0 7.8 2.5			W W W W/ch
Distortion	f = 1 kHz P <sub>O</sub> = 50 mW P <sub>O</sub> = 0.5W P <sub>O</sub> = 1W		0.09 0.11			0.09 0.11 0.14		%
Power Supply Rejection Ratio (PSRR)	C <sub>BY</sub> = 100 μF, f = 1 kHz, C <sub>IN</sub> = 0.1 μF Output Referred, V <sub>RIPPLE</sub> = 250 mV	-40	-54		-40	-54		dB
Channel Separation	C <sub>BY</sub> = 100 μF, f = 1 kHz, C <sub>IN</sub> = 0.1 μF Output Referred	-50	-64		-50	-64		dB
Noise	Equivalent Input Noise R <sub>S</sub> = 0, C <sub>IN</sub> = 0.1 μF, BW = 20 – 20 kHz CCIR/ARM Wideband		1.4 1.4 2.0			1.4 1.4 2.0		μV
DC Output Level		2.8	3	3.2	5.6	6	6.4	V
Input Impedance		50	100	350	50	100	350	kΩ
Input Offset Voltage			5			5		mV
Voltage Difference between Outputs	LM1896N-2, LM2896P-2		10	20		10	20	mV
Input Bias Current			120			120		nA

sare și determină banda amplificatorului. Condensatorul C7 asigură rejetia riplului tensiunii de alimentare.  $C_c$  este condensatorul de cuplaj de la ieșirea amplificatorului (care lipsește în configurația puncte) și determină de asemenea răspunsul la frecvențe joase (un pol):

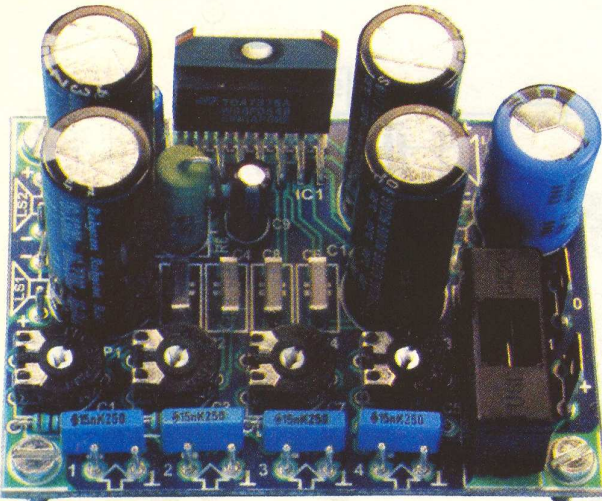
$$f_L = \frac{1}{2\pi C_C \times R_L}$$

$C_s$  asigură filtrajul suplimentar al tensiunii de alimentare.

În final, se prezintă cablajele de aplicație și test pentru cele două tipuri de circuite integrate (figurile 8 și 9).

## Bibliografie

- ## **1. National Application Specific Analog Products Data-book, 1995 Edition.**



# **TDA7375**

# Aplicații

TDA7375 este o "bijuterie" electronică

**destinată domeniului audio. Destinația**

sa este de amplificator de

**audiofrecvență de putere, în diverse**

configurații: punte, stereo sau quadrofonic.

**Se pretează în aplicațiile auto.**

La baza articolului au stat aplicațiile prezentate în Elektor 7-8/2003.

**C**ircuitul integrat TDA7375 este un amplificator audio de putere în clasă AB conceput și realizat de firma SGS-THOMSON într-o nouă tehnologie, disponibil în două tipuri de capsulă: MULTIWATT15V și MULTIWATT15H. **Circuitul conține patru amplificatoare de putere cu câștigul fixat intern.** Acestea pot funcționa independent sau în puncte.

Este destinat aplicațiilor auto, dar poate fi folosit, cu rezultate remarcabile, și pentru o utilizare "stationară".

Dintre caracteristicile importante se pot enumera:

- putere de ieșire:
    - $2 \times 25W/4\Omega$  @ 14,4V, 1KHz, 10%;
    - $4 \times 7W/4\Omega$  @ 14,4V, 1KHz, 10%;
  - număr de componente externe foarte mici (nu necesită condensatoare de bootstrap sau celule Boucherot);
  - intrare de stand-by compatibilă CMOS;
  - facilități de diagnosticare pentru intrare și ieșire, limitare, scurtcircuit pe ieșiri, supratemperatură;

**Tabelul 1.** Caracteristici electrice TDA 7375

Simbol	Parametru	Condiții de test	Min	Tipic	Max	UM
Vs	Tensiunea de alimentare		8		18	V
Id	Curent de mers în gol	fără sarcină			150	mA
Vos	Tensiunea de offset la ieșire				150	mV
Po	Puterea de ieșire	THD=10% ; Rl=4Ω punte ieșiri independente ieșiri independente Rl=2Ω	23 6,5	25 7 12		W W W
Rin	Impedanța de intrare	ieșiri independente punte	20 10	30 15		kΩ m
THD	Distorsiuni armonice totale	Rl=4Ω ieșiri independente, Po= 4W punte, Po=10W	0,02 0,03		0,3	% %
Gv	Câstig în tensiune	ieșiri independente punte	19 25	20 26	21 27	dB dB
Gv	Împerecherea de câstig				0,5	dB
SVR	Rejectia riplului de alimentare	intrarea în scurtcircuit, f=300Hz	50			dB
Asb	Atenuarea în stand-by	Po=1W	80	90		dB



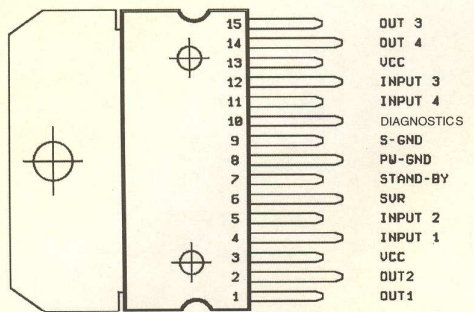


Fig. 1 Semnificația pinilor la TDA7375

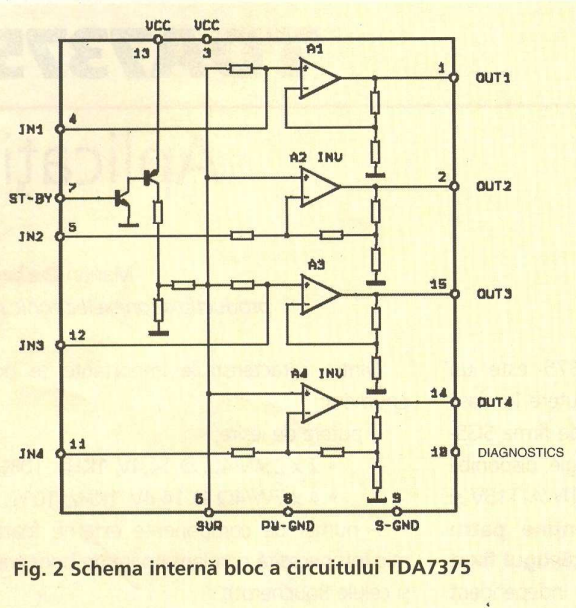


Fig. 2 Schema internă bloc a circuitului TDA7375

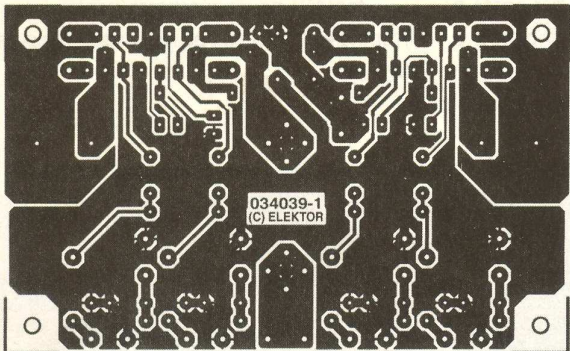


Fig. 4 Cablajul aplicației în punte

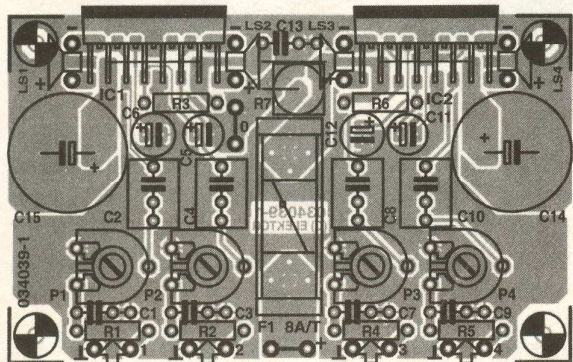


Fig. 5 Amplasarea componentelor din figura 4

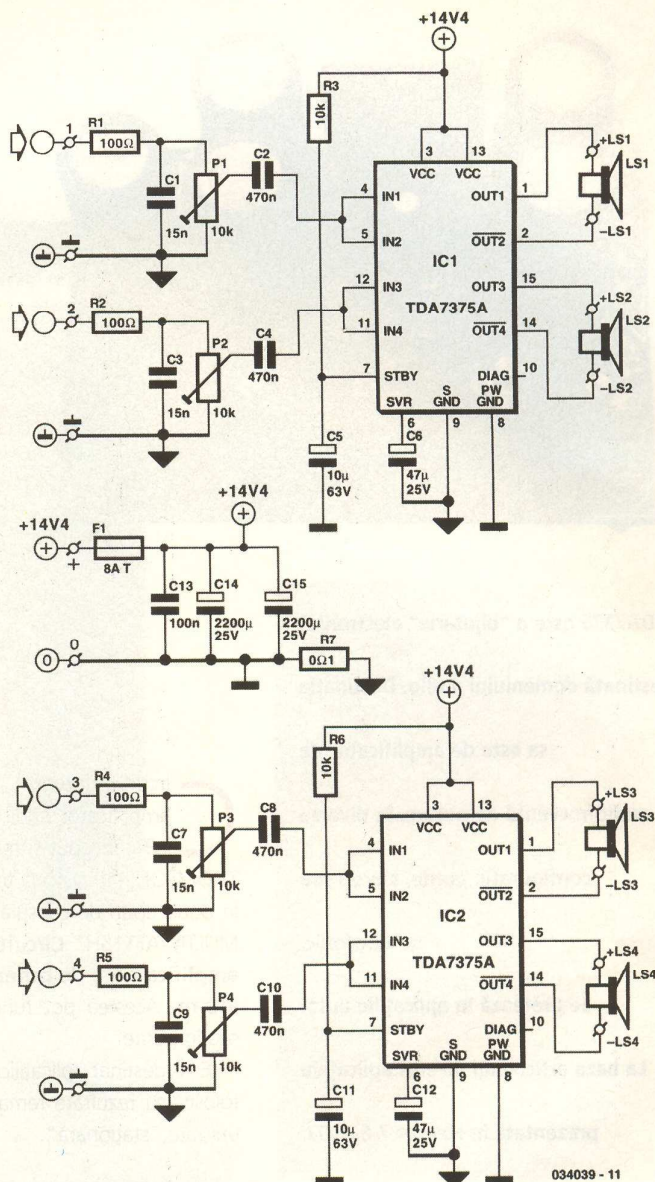
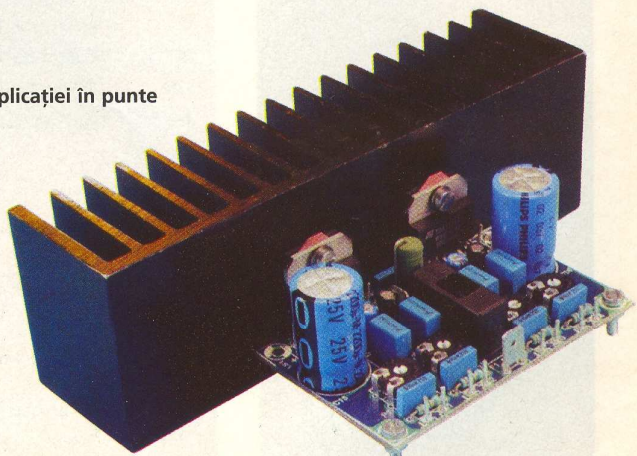


Fig. 3 Amplificator audio în punte, sursă Elektor



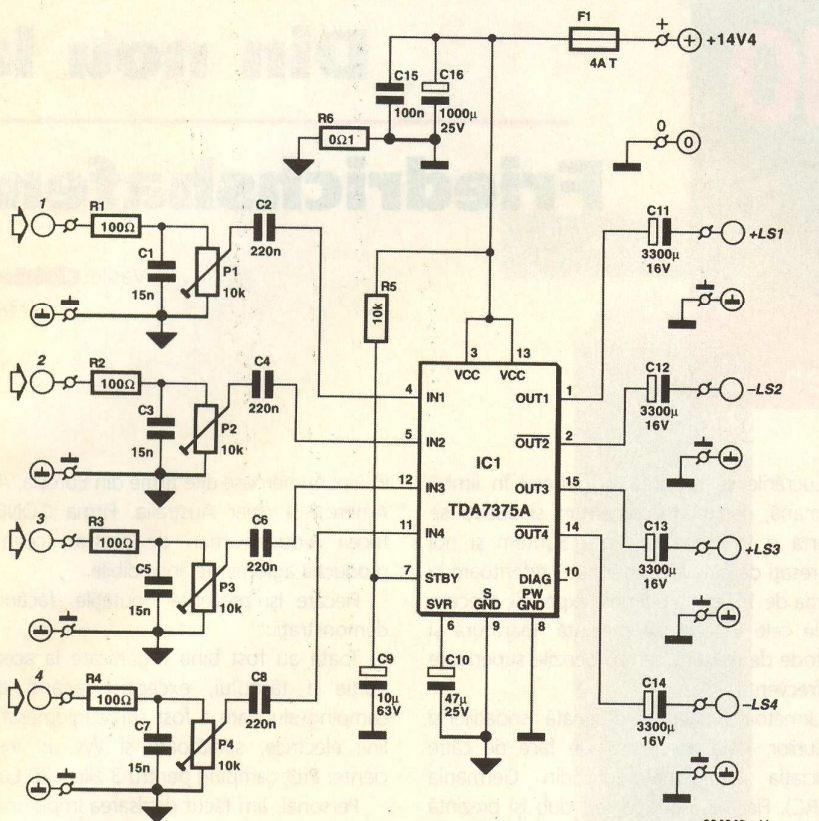


Fig. 6 Amplificator audio cu 4 canale, sursă Elektor

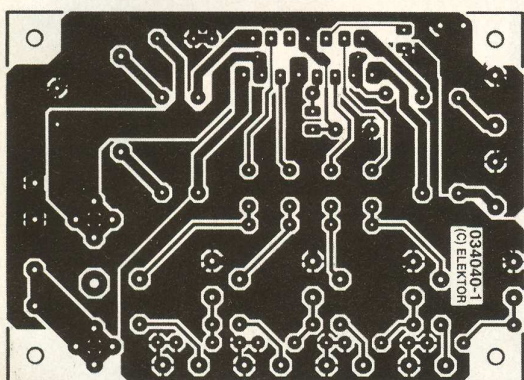


Fig. 7

**Cablajul aplicației  
cu 4 canale**

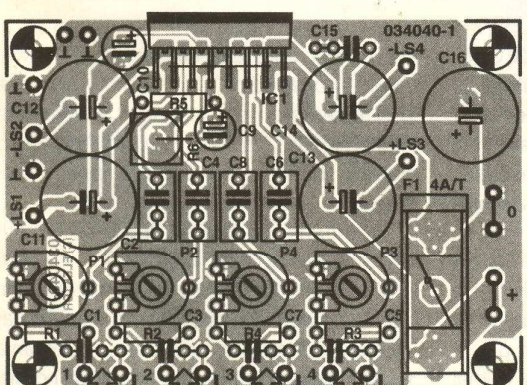


Fig. 8

**Amplasarea  
componentelor  
pentru cablajul  
din figura 7**

– protejat AC/DC la scurtcircuit pe ieșiri.

În tabelul 1 sunt prezentate caracteristicile electrice esențiale, iar în figura 1 este prezentată schema bloc a circuitului integrat.

Semnificația pinilor este oferită în figura 2.

Datorită celor patru amplificatoare de putere independente (mai puțin funcția de stand-by) circuitul integrat permite mai multe posibilități de configurație a aplicațiilor pe care le prezentăm.

În configurația din figura 6 se va ține seama că intrările de pe pinii 5 și 11 sunt inversate ca fază și în consecință sarcinile (difuzoarele) se vor conecta corespunzător.

Din numărul **7/8 pe 2003** al revistei germane de specialitate **ELEKTOR** vă prezentăm două aplicații concrete ale circuitului integrat (în puncte și independent) la care se remarcă separarea masei de putere de cea de semnal mic printr-un rezistor de  $0,1\Omega$ . Schemele electrice precum și desenele circuitelor imprimante sunt redate în figurile 3 și 6, respectiv 4, 5 și 7, 8.

Pentru mai multe informații accesați site-ul [www.st.com](http://www.st.com) și [www.elektor.de](http://www.elektor.de).

## ELECTRONIK-Z S.R.L.

- SERVICE GSM
- SISTEME DE SECURITATE  
SI INTERFONIE

Sos. Pantelimon nr.38  
Tel./Fax: 253.25.43  
e-mail: electrozet@k.ro

# HAM RADIO

**Die Nr. 1 in Europa!**  
 Internationale Amateurfunk-Ausstellung  
 mit 54. Bodenseetreffen des DARC  
**27.-29.6.2003**  
**Neue Messe Friedrichshafen**

D e peste 50 de ani în sudul Germaniei la Friedrichshafen, oraș situat pe malul lacului Bodensee (Konstanz), radioamatorii germani organizează o întâlnire anuală.

Începute după război, în acest oraș ce cunoscuse bombardamente și distrugeri datorită faptului că aici era dezvoltată o puternică industrie aeronautică, aceste întâlniri au devenit tot mai cunoscute și mai apreciate de radioamatorii din întreaga lume.

Astăzi, Târgul de la Friedrichshafen ocupă de departe locul I în Europa, atât prin numărul de vizitatori (peste 20 000 anual), cât și prin spațiul expozițional, numărul de firme, de asociații, sau varietatea temelor și referelor susținute, dar mai ales prin dimensiunile "flomarkt-ului", adică mai pe românește, a "talciocului". Începând cu anul acesta, târgul se desfășoară într-un loc nou special amenajat, cu pavilioane și hale moderne, la cca 6 kilometri de oraș, lângă aeroport.

Hale mari spațioase cu aerisire modernă, săli de conferință, centru de presă, rețele de calculatoare, birouri de informații, instalații de sonorizare, agenții de pază, baruri, locuri de parcare și de odihnă, fântâni arteziene, într-un cuvânt toate amenajările posibile necesare unui târg internațional civilizat. Prețul unui bilet de intrare pentru cele 3 zile - 13 Euro.

Hala în care s-a amenajat talciocul de exemplu, avea 10 000mp, fără nici un stâlp de susținere. Este ceva incredibil să vezi o suprafață egală cu două terenuri de fotbal plină de mese cu aparatură, componente, conectori, antene, documentații, etc. Tot ceea ce trece prin minte, bineînțeles din domeniul radiocomunicațiilor, se poate găsi. Totul are preț, iar prețurile, cel puțin pentru noi, nu sunt prea mici.

Alături, în alte hale, sunt amenajate săli pentru conferințe și seminarii. Temele sunt dintre cele mai diverse și se referă atât la noutăți tehnice (sateliți, moduri digitale de comunicație, televiziune pentru amatori, tehnica microundelor, etc) cât și la probleme de trafic radio (expediții, QSL-uri, IOTA, etc).

Lucrările se prezintă în general în limba germană, dar multe comentarii și discuții se poartă și în limba engleză. Suntem și noi interesați de câteva conferințe - referitoare la banda de 160m, la ultimele expediții, precum și de cele în care se prezintă aparatură și metode de măsură pentru benzile superioare de frecvență.

Următoarea hală este destinată asociațiilor și cluburilor. Plata acestei săli se face de către Asociația Radioamatorilor din Germania (DARC). Fiecare asociație sau club își prezintă activitatea, revistele și diplomele proprii. Cozi interminabile la ARRL pentru verificarea QSL-urilor necesare pentru diploma DXCC. La fel pentru obținerea de confirmări de la cei care au fost în ultimele mari expediții DX.

Atmosferă prietenească, prilej bun pentru realizarea unor noi colaborări. și noi, cei aproape 20 de români, am căutat să arătăm activitatea radioamatorilor din România, am dus hărți cu repetoarele noastre, invitații, clasamente, diplome și cupe pentru competițiile internaționale organizate de noi, postere cu informații turistice.

Pe lângă revista federației (Radiocomunicații și Radioamatorism) am prezentat și revista CONEX Club. Această publicație, datorită conținutului și condițiilor grafice deosebite s-a bucurat și în acest an de un succes deosebit. Mulți au cerut lămuriri, mai ales când am arătat că redacția, trimite gratuit numeroase exemplare la școlile și cluburile de copii din România.

Mulți vorbitori de limba română - dar nu numai, ne-au rugat să transmitem felicitări și viață lungă acestei publicații care în curând va intra în al 5-lea an de apariție neîntreruptă.

În sfârșit, o altă hală a fost destinată numai firmelor comerciale. Pe lângă cele clasice (YAESU, ICOM, KENWOOD, etc), se puteau

**Din nou la**

## Friedrichshafen!

Vasile **Clebanță**  
 YO3APG

întâlni numeroase alte firme din Europa, Asia, America și chiar Australia. Firma CONRAD făcea reduceri mari de prețuri, ceea ce producea aglomerații incredibile.

Fiecare își prezenta noutățile, făcând și demonstrații.

Toate au fost bine organizate la această ediție a târgului, exceptie făcând doar camping-ul care a fost supraaglomerat, cu linii electrice, spălătoare și WC-uri insuficiente. Preț camping pentru 3 zile - 20 Euro.

Personal, am făcut deplasarea împreună cu YO3AXJ - Lucian Anastasiu, care este un



conducător auto experimentat și un remarcabil constructor și cunoșător al componentelor și aparaturii electronice. Mulțumiri lui YO5BIM - Puiu, YO7VC - Gil și tuturor radioamatorilor YO care ne-au sprijinit.

A fost un prilej excelent de a reîntâlni vechi prieteni, de a face cunoștințe noi. Este impresionant numărul de radioamatori străini care au plecat din țara noastră sau care au avut în timp relații de colaborare cu România. Cu toții am discutat despre activitatea noastră și i-am tratat bineînțeles cu câte un păharel de ... palincă. ♦

# DIFUZOARE

## De Mică Putere



**2W/8Ω**  
Cod 1667  
**Pret 40.000 lei**  
Diametru: 102mm



**1W/8Ω**  
Cod 85  
**Pret 30.000 lei**  
Diametru: 57mm



**1W/8Ω**  
Cod 84  
**Pret 35.000 lei**  
Diametru: 77mm



**0,5W/8Ω**  
Cod 74  
**Pret 30.000 lei**  
Diametru: 50mm



**2W/8Ω**  
Cod 73  
**Pret 35.000 lei**  
Diametru: 66mm



**0,1W/8Ω**  
Cod 8279  
**Pret 120.000 lei**  
Diametru: 20mm

# Sursă dublă de tensiune 0...30V & 5V/3A

## PS23023



**velleman®**



**M**odelul PS23023 este o sursă de alimentare de putere, de înaltă fiabilitate, stabilizată, cu două ieșiri reglabile și una fixă.

Cele două ieșiri reglabile pot fi utilizate atât ca surse de tensiune constantă, cât și ca generatoare de curent constant, ele fiind foarte stabile. Tensiunea se poate regla de la 0V (Atenție! Multe din sursele stabilizate nu pleacă din 0V!) la 30V, atunci când se operează în modul "tensiune stabilizată".

Interesant este că cele două pot fi conectate în paralele sau în serie, ele fiind configurate ca "master" și "slave".

Ieșirea de tensiune fixă oferă +5V stabilizat, cu riplu mic și protecție la suprasarcină.

### Specificații tehnice

- Tensiune de alimentare: 220V a.c./50Hz-2Hz;

- Două ieșiri de tensiune reglabile:

- tensiune ieșire: 30V/3A;
- riplu:  $\leq 0,5\text{mV}_{\text{rms}} \leq 1\text{mV}_{\text{rms}}$  pentru  $I_{\text{OUT}} > 3\text{A}$ , respectiv  $< 3\text{mA}_{\text{rms}}$ ;
- protecție prin limitare de curent;

- afișare tensiune și curent, afișor LCD (LED) 3 digit;

- O ieșire de tensiune fixă:

- tensiune ieșire: 5V-3%;

- curent ieșire: 3A;

- riplu:  $0,5\text{mV}_{\text{rms}}$ ;

- protecție prin limitare curent și la scurtcircuit.

- dimensiuni: 360 x 265 x 165mm;

- timp de operare continuu: 8h.

### Descriere panou frontal

- afișorul LCD de tensiune și curent al ieșirii master;

- afișorul LCD de tensiune și curent al ieșirii slave;

- buton ajustare tensiune unitatea slave;

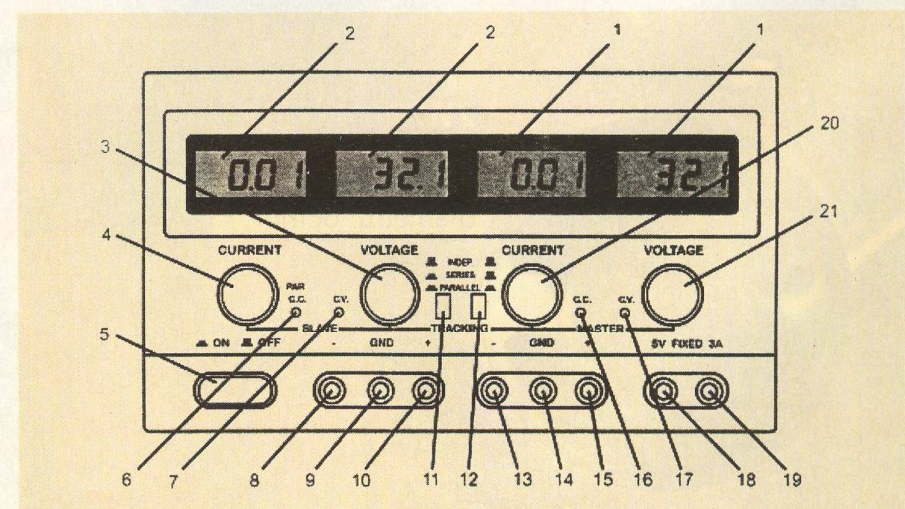
- buton ajustare curent unitatea slave;

- comutator alimentare;

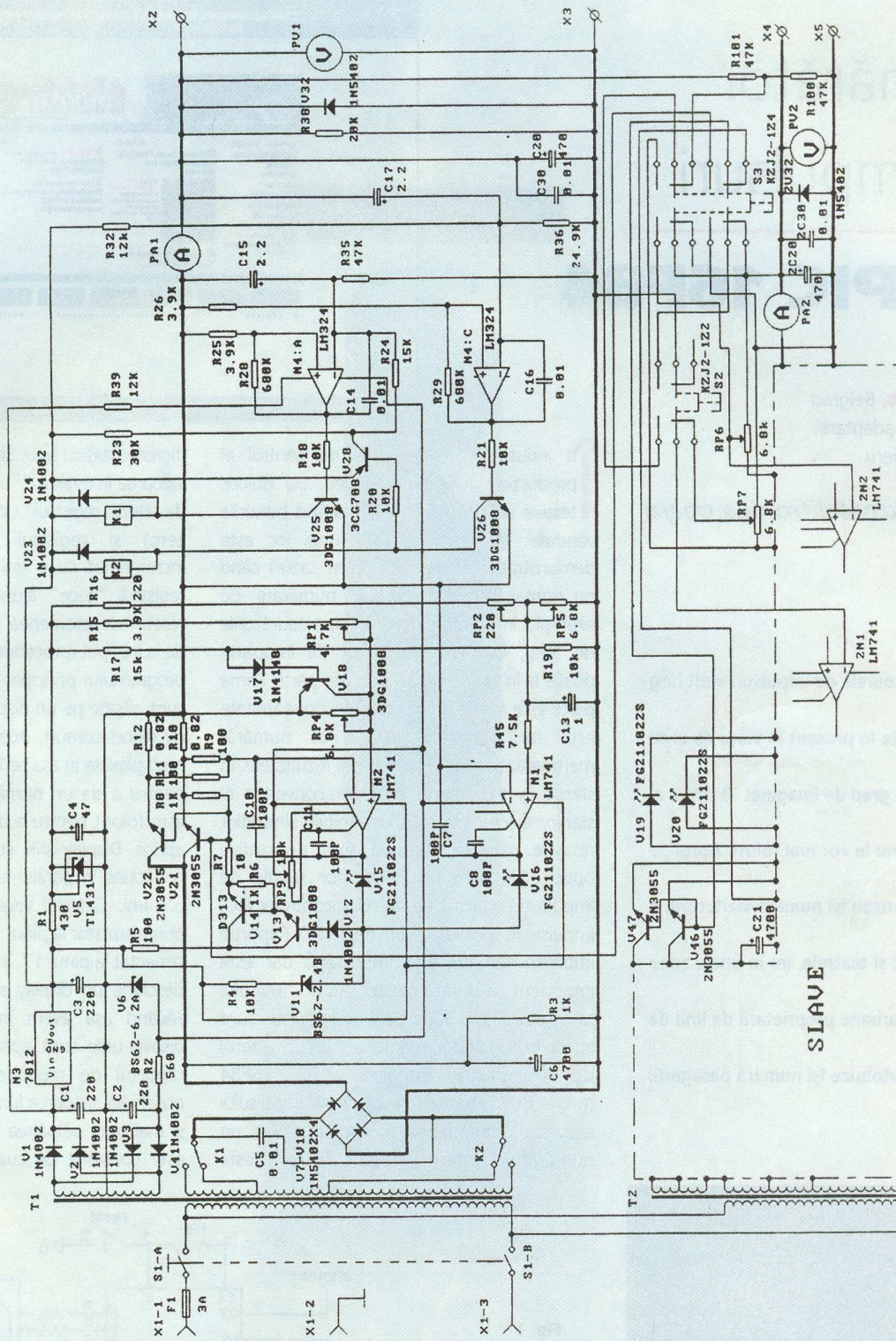
- indicator mod de conectare (paralel) sau utilizare (curent constant);

- indicator mod de lucru tensiune constantă;

- 9 și 10. borne tensiune (dublă) unitatea master;



PS23023 este un instrument de mare performanță cu un design compact și elegant. Se recomandă pentru activități de cercetare, aplicații industriale sau în laboratoare.



- 11 și 12. selectare mod operare;
- 13, 14 și 15. borne tensiune (dublă) unitatea master;
16. indicator mod operare curent constant pentru unitatea master;
17. indicator mod operare tensiune

- constantă pentru unitatea master;
- 18 și 19. borne ieșire sursa fixă de 5V;
20. buton ajustare curent, unitatea master;
21. buton ajustare tensiune, unitatea master.

Schema electrică de principiu a acestei

surse este prezentată alăturat, ea fiind simetrică relativ, pentru unităile master și, respectiv slave. ♦

*Sursa poate fi achiziționată de la Conex Electronic la prețul de 10.550.000 lei.*

# Numărător de impulsuri cu PIC 16F84

Zoran **Ristic**, Belgrad  
Traducere și adaptare:  
Cristian Secrieru

[www.mikroelektronika.co.yu](http://www.mikroelektronika.co.yu)

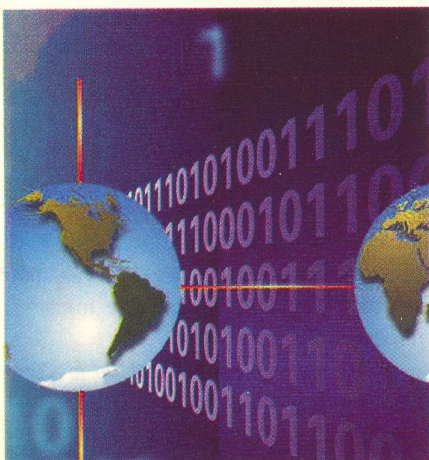
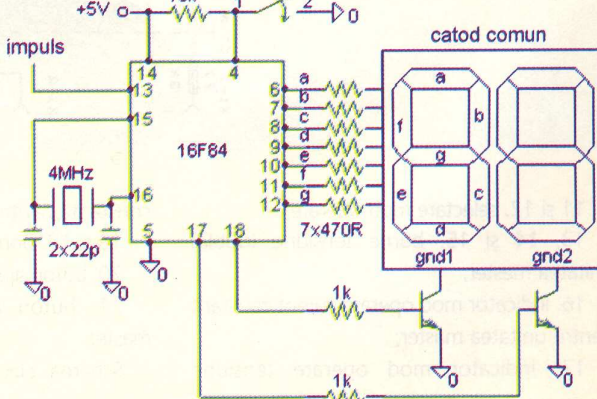
Numărătoarele de impulsuri sunt larg răspândite în prezent în viața de zi cu zi și este greu de imaginat că într-o zi oamenii nu le vor mai folosi. Aproape orice muzeu își numără vizitatorii, o fac și teatrele, iar în unele zone urbane proprietarii de linii de autobuze își numără pasagerii.

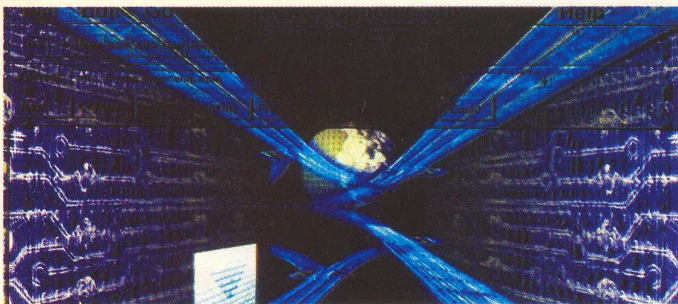
**I**n industrie fiecare punct de control al producției include numărarea. De obicei, testele de piață se fac numărând bunurile vândute. În sport, calitatea unui joc este demonstrată de audiență. Sunt cazuri când nu numai valorile fizice sunt numărate, de exemplu impulsurile de telefon, măsurătorile de timp, etc. Un numărător de impulsuri poate fi în mare împărțit în trei părți. Prima parte este sursa de impulsuri. A doua unitate este un dispozitiv electric ce numără, memorează stările și pregătește rezultatele. În sfârșit, a treia parte este un convertor al stărilor electrice în stări disponibile simțurilor noastre. Adesea, acestea sunt dispozitive optice. Să luăm un numărător simplu de impulsuri controlat de un microcontroler PIC. Impulsurile sunt logice TTL (0V, +5V). Raportul impuls/pauză nu este important, dar este important ca durata pauzei sau a impulsului să nu scăde sub 50µs. Serii de impulsuri sunt aduse la numărător, memorie și la convertorul de 7 segmente integrat în PIC 16F84 (Microchip). Frontul cresător al impulsului activează întreruperea în timpul căreia un numărător intern notat "unu" este

incrementat cu unu. Simultan, se verifică dacă valoarea în registrul "unu" a ajuns la 10. Dacă da, atunci registrul "unu" este resetat (adus la zero) și registrul notat "zece" este incrementat cu o unitate. Dacă valoarea în registrul "zece" ajunge la 10 acesta este resetat de asemenea și numărarea pornește de la început (procedura următoare). În timpul programului principal valorile de unu și zece sunt afișate pe un display de șapte segmente cu catod comun. Aceste două numere sunt multiplexate în aşa fel încât PORTB este folosit pentru a da un număr pe display și PORTA este folosit pentru a decide care display este aprins. Display-urile cu șapte segmente sunt conectate în paralel cu excepția catozilor lor comuni. Catodul zece (gnd1) este conectat prin tranzistor la pinul 18 și catodul gnd2 este conectat la pinul 17. În intervale scurte, PIC-ul deschide un display și îl închide pe celălalt. Făcând aşa avem impresia că amândouă display-urile sunt aprinse simultan. Scăzând raportul de multiplexare este posibil să observăm scăderea luminozității pe display-uri și mai apoi pălpăierea lor. Oscilatorul PIC-ului este controlat de cuarț și are frecvența de



Fig. 1  
Schema electrică a numărătorului





4MHz. Pentru același scop am putea folosi un oscilator RC, dar trebuie să nu scădem prea mult ceasul. Tranzistoarele sunt necesare pentru că fiecare ieșire a PIC-ului poate oferi până la 25mA conform Microchip. Dacă știm că un LED poate consuma până la 50mA și considerând cel mai defavorabil caz când toate LED-urile sunt aprinse, obținem un curent maxim de 350mA. Acest curent ar putea distruga porturile PIC-ului. De aceea, se utilizează tranzistoare care consumă un curent mic din μcontroler, dar permit un curent mare la display, de exemplu 2N2222. Pentru a reseta un numărător este de ajuns să conectăm pinul 4 la masă. Astfel, programul începe de la adresa 0 (org 0). Aceasta ne permite să resetăm contorul chiar dacă am folosi patru display-uri LED când nu sunt pini liberi. Pentru a opri numărătorul trebuie doar "tăiată" calea impulsurilor la μC. Folosind un pin separat pentru a opri numărarea este o pierdere de timp și de resurse. În afară de numerele 0...9 este posibil a afișa unele litere: A, C, E, F, H, J, L, N, P și U.

### Listing program

```
PROCESSOR 16F84
INCLUDE "P16F84.INC"
acc equ 0
same equ 1
one equ 0x0Ch
ten equ 0x0Dh
w_keep equ 0x0Eh
org 0
goto init
org 4
goto rutina
init:
bsf status,rp0
movlw 10000000b
tris portb ; set portb(6:0) as outputs
;and portb(7) as input (interrupt)
clrf porta ; porta as output
bcf status,rp0
bcf option_reg,7
movlw 0
movwf one
```

```
movlw 0
movwf ten ; start counting from 00
clrf portb
clrf porta
bcf intcon,rbif
bsf intcon,gie
bsf intcon,rbie
mplx:
bsf porta,0 ; enable ones display
movf one,acc
call table
movwf portb ; show number
bcf porta,0
bsf porta,1 ; enable tens display
movf ten,acc
call table
movwf portb ; show number
bcf porta,1
goto mplx

next:
clrf one
incf ten,same
movlw 246
addwf ten,acc
btfc status,c
clrf ten
retur
```

```
;-----
table:
addwf pcl,same
;format= gfedcba
retlw 00111111b ;0
retlw 00000110b ;1
retlw 01011011b ;2
retlw 01001111b ;3
retlw 01100110b ;4
retlw 01101101b ;5
retlw 0111101b ;6
retlw 00000111b ;7
retlw 01111111b ;8
retlw 01101111b ;9
```

```
;-----
rutina:
bcf intcon,rbie
movwf w_keep
```

```
btfss portb,7 ; rising edge only
goto exit
```

```
incf one,same
```

```
bcf status,c
movlw 246 ; one >= 10?
addwf one,acc
btfc status,c
call next ; if yes
```

```
exit:
bcf intcon,rbif
bsf intcon,gie
bsf intcon,rbie
movf w_keep,acc
```

```
return
```

```
end ◆
```

**ELK CONNECT INT'L**

Tel./ Fax: 021-242 64 66; 0722 46 28 17

Soluții pentru automatizări și telecomunicații

→ Proiectare și execuție

-Circuite electronice

-Aplicații cu microcontrolere

-Cablaje imprimate

Web: [www.elkconnect.ro](http://www.elkconnect.ro); [office@elkconnect.ro](mailto:office@elkconnect.ro)

# Noutăți la Velleman

**www.velleman.be**

**L**a începutul lunii iulie 2003 firma Velleman a lansat un programator placă de experimente pentru microcontrolere seria PIC de la Microchip. Suportă toate componentele PIC cu 8, 14, 18 sau 28 de pini.

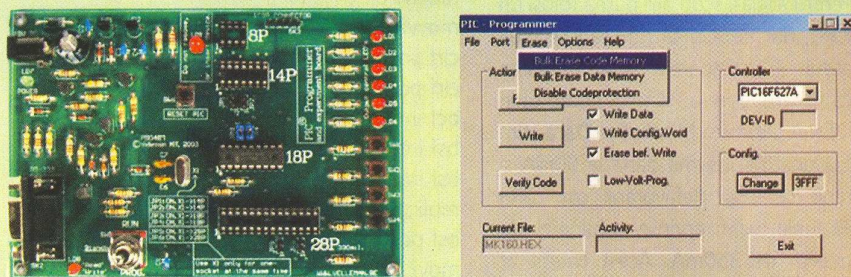
Interfața conține butoane de test și LED-uri indicate pentru scopuri educaționale. Este însoțită de soft ce poate compila codul sursă al programelor.

Conecțarea la PC se face prin cablu serial (neinclus).

Distribuitor Velleman în România: Conex Electronic.

## Programator și placă de dezvoltare µC PIC

**K8048**



- **timp și vreme** (termometre - hidrometre - barometre electronice, statii meteo de apartament, monitoare pentru calitatea aerului, ceasuri cu proiecție laser, ceasuri de perete/călătorie, ceasuri comandate prin radio);
- **sport și viață cotidiană** (minicomputere portabile pentru sportivi, biciști și activități în aer liber, aparate de vibromasaj, cronometre multifuncționale, pedometre, module GPS);
- **serviciu și activități profesionale** (PDA, organizatoare tip Palm, înregistratoare digitale de voce, camere și aparate foto digitale, aparate de emisie recepție, translatoare de limbi străine);
- **sănătate** (aparate pentru măsurarea presiunii arteriale, pulsului, monitoare cardiaice).

## PRODUSE ELECTRONICE PERFORMANTE ȘI INOVATOARE ÎN DOMENIILE:



prin **Magnum C C C**

tel: 07-2121.2038, fax: 021-331.39.72, e-mail: mccc@k.ro



Nr. 7-8 iulie - august 2003

**Editor:** S.C. Conex Electronic S.R.L., J40/8557/1991; **Director:** Constantin Mihalache;

**Responsabil vânzări:** Gilda Stefan (e-mail: secretariat@conexelectronic.ro)

**Abonamente:** Claudia Ghiță (e-mail: difuzare@conexclub.ro)

**COLECTIVUL DE REDACTIE:**

**Responsabil de număr:** Croif Valentin Constantin (e-mail: redactie@conexclub.ro);

**Consultant științific:** Norocel-Dragoș Codreanu;

**Colectiv tehnic:** Marian Dobre (e-mail: productie@conexelectronic.ro),

George Pintilie, Silviu Guță (e-mail: tehnic@conexelectronic.ro);

**Tehnoredactare și prezentare grafică:** Claudia Sandu (e-mail: claudia@conexelectronic.ro);

**Adresa redacției:** 72223, Str. Maica Domnului nr. 48, sector 2, București, Romania; Tel.: 021-242.22.06; 242.77.66; Fax: 021-242.09.79

**ISSN:** 1454-7708

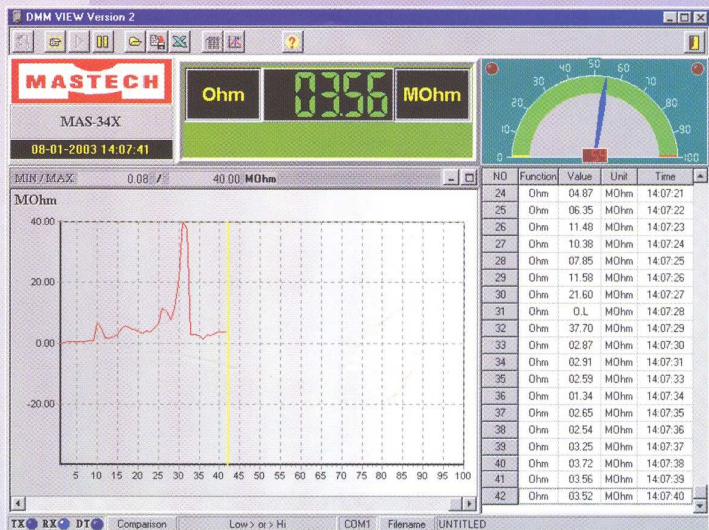
**Tipar:** S.C. IMPRIMERIILE MEDIA PRO S.A., Tel.: 021-490.82.41, Fax: 021-490.82.43,  
e-mail: [vanzari@imp.ro](mailto:vanzari@imp.ro)

# MULTIMETRU DIGITAL

# DVM345DI

## CU INTERFAȚA RS232

cod 12998  
preț 3.670.000 lei



- Operare automată sau manuală;
- Afisare alfanumerică pe display LCD 3 3/4 digită și bargraf cu 38 de segmente;
- Afisare polaritate, depășire gamă, unitate de măsură, baterie descărcată;
- Măsoară:
  - Tensiune continuă max. 1000V, rezoluție minimă 1mV;
  - Tensiune alternativă max. 750V, rezoluție minimă 1mV;
  - Rezistențe electrice max. 40MΩ, rezoluție minimă 0,1Ω;
  - Curent AC/DC max. 10A, rezoluție minimă 1µA;
  - Capacități electrice max. 400nF, rezoluție minimă 1pF;
  - Temperatură în gama 0...75°C, termocuplu K inclus, rezoluție 1°C;
  - Funcții test diode și continuitate;
  - Test tranzistoare,  $h_{FE} = 1\ldots 1000$ .
- Alimentare: baterie 9V tip 6F22;
- Accesorii: cordoane de test, baterie, termocuplu K, husă, interfață RS232 și soft.

# PRIZE TELECOMANDATE

 velleman



velleman

Set prize telecomandate



Cod 10468

Preț 1.230.000 lei



velle



velleman

Priză optională

Cod 78

Preț 330.000 lei



velleman



conex  
electronic

Str. Maica Domnului nr.48, sector 2,

București

Tel.: 021/242.22.06, 021/242.77.66

Fax: 021/242.09.79